

## ANÁLISE DE MÉTODOS DE HIDROGRAFA UNITÁRIA

ANTONIO SERGIO FERREIRA MENDONÇA

TESE SUBMETIDA AO CORPO DOCENTE DA COORDENAÇÃO DOS PROGRAMAS DE PÓS-GRADUAÇÃO DE ENGENHARIA DA UNIVERSIDADE FEDERAL DO RIO DE JANEIRO COMO PARTE DOS REQUISITOS NECESSÁRIOS PARA A OBTENÇÃO DO GRAU DE MESTRE EM CIÊNCIA (M.Sc.).

Aprovada por:

Dirceu Machado  
Dirceu Machado Olive  
Presidente

Pedro L. A. Guerrero  
Pedro L. A. Guerrero Salazar

Diocles Rondon  
Diocles Jesus Rondon

RIO DE JANEIRO  
RIO DE JANEIRO - BRASIL  
DEZEMBRO DE 1977

MENDONÇA, ANTONIO SÉRGIO FERREIRA

Análise de Métodos de Hidrógrafa Unitária

Rio de Janeiro 1977

viii, 185 p. 29,7 cm (COPPE - UFRJ, M.Sc.,  
Engenharia Civil, 1977)

Tese - Univ. Fed. Rio de Janeiro - Fac. Engenharia

I. Hidrógrafa Unitária I.COPPE/UFRJ II. Título (série)

A  
Clóvis, meu pai  
Lourdes, minha mãe  
Vera, minha noiva  
Antonio, meu tio

AGRADECIMENTOS

À COOPE, nas pessoas de seu Diretor Prof. Sérgio Neves Monteiro; do Prof. Luiz Lobo B. Carneiro, Coordenador do Programa de Engenharia Civil; do Professor Rui Carlos Vieira da Silva, chefe do Setor de Recursos Hídricos e Saneamento; e em particular do Prof. Dirceu Machado Olive, orientador da presente tese.

À CAPES e à Universidade Federal do Espírito Santo pelo apoio financeiro.

Aos professores Diocles Jesus Rondon e Pedro Guerreiro Salazar, membros da banca examinadora, pela revisão do trabalho.

À SERLA, na pessoa do Eng. Luiz Felipe Pupe de Menezes, Chefe da Divisão de Hidrologia pelo fornecimento dos dados hidrometeorológicos necessários.

A todas as pessoas que direta ou indiretamente contribuiram para a realização deste trabalho.

## R E S U M O

É apresentada análise detalhada dos principais métodos de cálculo do hidrograma unitário, quais sejam, as metodologias de Sherman, Curva-S, Snyder, Commons, Soil Conservation Service, Clark, Nash, Dooge, O'Donnell e Inversão através de matrizes.

Para todos os métodos foram desenvolvidos programas em linguagem Fortran. A máquina utilizada foi um Burroughs-6700, do Núcleo de Computação Eletrônica da U.F.R.J.

Aplicações foram feitas para postos de medição localizados na bacia do rio Acari, no Estado do Rio de Janeiro.

Além disto, foram feitas comparações entre os diversos métodos baseadas nos resultados das aplicações acima citadas, bem como na literatura analisada.

## ABSTRACT

This work presents a detailed analysis of the main methods of calculus for the unit hydrograph, which are: the methodologies of Sherman, S-Curve, Snyder, Commo Soil Conservation Service, Clark, Nash, O'Donnell and Inversion via Matrices.

There were developed computational programs for all methods, in Fortran Language. The machine used was a Burroughs 6700 pertaining to the Nucleo de Computação Eletrônica da UFRJ.

Applications were made with data obtained from stations situated in the hydrographic basin of Rio Acari in Rio de Janeiro, Brazil.

Furthermore, comparisons were made among the methods based upon the results obtained from the applications mentioned above, as well as in the analysed literature.

## Í N D I C E

Folha de Rosto -----	i
Ficha Catalográfica -----	ii
Dedicatória -----	iii
Agradecimentos -----	iv
Resumo -----	v
Abstract -----	vi
Índice -----	vii

CAPÍTULO I - INTRODUÇÃO	1
I.1 - A Bacia Hidrográfica como um Sistema Aberto -----	1
I.2 - Métodos de Identificação do Sistema "Bacia Hidrográfica" -----	1
I.3 - Conceitos e Evolução da Teoria da Hidrógrafa Unitária -----	2
I.3.1 - Conceitos -----	2
I.3.2 - Principais Pesquisas no Campo da Hidrógrafa Unitária	4
I.4 - Objetivos do Trabalho -----	7
I.5 - Classificação dos Métodos Analisados -----	8
I.6 - Precipitação Efetiva e Escoamento Superficial -----	9
I.7 - Observações Sobre o Texto -----	10

CAPÍTULO II - ANÁLISE DAS METODOLOGIAS	12
II.1 - Formulação Matemática da Operação do Sistema "Bacia Hidrográfica" --	12
II.2 - Método de Sherman -----	14
II.3 - Curva-S -----	16
II.4 - Método de Snyder -----	19
II.5 - Método de Commons -----	24
II.6 - Método do Soil Conservation Service	26
II.7 - Método de Clark -----	29

II.8 - Método de Nash -----	33
II.9 - Método de Dooge -----	39
II.10 - Método de O'Donnell -----	44
II.11 - Método de Inversão Através de Matrizes -----	48
CAPÍTULO III - APLICAÇÕES E COMPARAÇÕES DOS MÉTODOS 51	
III.1 - Elaboração de Programas Computacionais -----	51
III.2 - Exemplos de Aplicação -----	52
III.3 - Aplicações -----	55
III.4 - Análise de Resultados -----	57
CAPÍTULO IV - CONCLUSÕES E RECOMENDAÇÕES 60	
BIBLIOGRAFIA -----	63
APÊNDICE -----	69
APÊNDICE A - PROGRAMAS E MANUAL DE USO ---	70
PROGRAMAS -----	71
MANUAL DE USO -----	107
APÊNDICE B - RESULTADOS -----	117
B.1 - Rio Piraquara -----	118
B.2 - Rio das Pedras -----	152

## CAPÍTULO I INTRODUÇÃO

### I.1) - A bacia hidrográfica como um sistema aberto

A bacia hidrográfica pode ser considerada como um sub-sistema do ciclo hidrológico, onde a entrada é representada pela precipitação pluviométrica no interior da sua área de contribuição e a saída pelo escoamento na seção extrema.

É de grande importância o estudo do funcionamento deste sistema, e consequentemente a interrelação entre seus componentes podendo-se nesse estudo lançar mão das técnicas de análise e de síntese.

As técnicas de análise de sistemas podem ser divididas em:

- a) Previsão - a partir da entrada e da operação obter a saída.
- b) Identificação - a partir da entrada e da saída obter a operação.
- c) Detecção - a partir da operação e da saída obter a entrada.

A síntese idealiza um sistema composto que converta entrada conhecida em saída, também conhecida, com um certo grau de precisão, numa operação de simulação.

Pelo fato da entrada e da saída do sistema "bacia hidrográfica" serem diretamente mensuráveis na natureza, os problemas de identificação adquirem grande importância.

### I.2) - Métodos de identificação do sistema "bacia hidrográfica"

A compreensão da relação entre precipitação e escoamento, no espaço e no tempo, tem sido um dos principais problemas em hidrologia.

A transformação da precipitação em escoamento numa

bacia ocorre de forma muito complexa sendo realizada por meio de vários processos interrelacionados, envolvendo diversas áreas científicas.

Esta porção do ciclo hidrológico tem recebido especial atenção de pesquisadores de várias partes do mundo, podendo ser divididas as abordagens nesta área em dois grupos:

- a) Pesquisas que lidam com a relação entre os totais de precipitação e escoamento, estimando a distribuição no tempo das perdas ocorridas na chuva total (infiltração, evapotranspiração, etc.).
- b) Pesquisas que procuram calcular a distribuição do escoamento superficial, dados o volume e a distribuição da chuva efetiva, sendo esta geralmente obtida por processo empírico.

No último grupo situa-se fundamentalmente a teoria da hidrógrafa unitária, desenvolvida originalmente por Sherman (1932). Esta teoria, com a contribuição de muitos outros pesquisadores forneceu um conjunto de métodos que constituem a maioria das tentativas de identificação do sistema "bacia hidrográfica".

### I.3) - Conceitos e evolução da teoria da hidrógrafa unitária

#### - I.3.1) - Conceitos

O escoamento superficial é função das características físicas da bacia e da chuva que o provocou. Como as características da bacia hidrográfica pouco variam, este escoamento depende fundamentalmente da precipitação pluviométrica.

Sherman (1932) foi o primeiro hidrólogo a considerar a existência de uma única hidrógrafa de escoamento superficial para chuvas de mesma duração e volume caídas sobre a mesma bacia.

Os seguintes princípios formam a base da teoria da hidrógrafa unitária de Sherman após contribuição de Bernard (1935) e aperfeiçoamento pelo próprio Sherman (1949):

- a) As variações de intensidade de chuva afetam as vazões e seus máximos, não sendo correto o uso de altura média de precipitação.
- b) O hidrograma unitário reflete características físicas da bacia hidrográfica, assim como infilação, retenção superficial, etc.
- c) Princípio da Linearidade.  
Duas chuvas com mesma duração têm hidrogramas com ordenadas proporcionais aos volumes escoados superficialmente.
- d) O tempo de duração do escoamento superficial é constante para chuvas de mesma duração.
- e) A distribuição das percentagens das descargas totais da bacia, representadas pelos escoamentos superficiais numa certa unidade de tempo é constante para a mesma bacia.
- f) Princípio da Superposição.

A hidrógrafa completa do escoamento superficial devida a uma chuva é composta da soma de uma série de hidrógrafas, cada uma representando o escoamento superficial devido à taxa de precipitação efetiva por unidade de tempo.

Estes princípios deram origem à hidrógrafa unitária que representa a taxa de escoamento superficial, em relação ao tempo, devida a um excesso de chuva unitário de duração especificada distribuído uniformemente sobre a bacia considerada.

Uma série de modificações foi feita na metodologia da hidrógrafa unitária, mas estas serviram para fortalecer o método, ao invés de alterar suas hipóteses básicas.

O conceito do hidrograma unitário tornou-se largamente aceito como uma das mais notáveis contribuições para a ciência da hidrologia. Pelo fato da hidrógrafa unitária ser uma valiosa ferramenta, e haver necessidade de utilizá-la em bacias sem registros de medições, muitas pesquisas têm se encarregado de estabelecer hidrógrafas unitárias sintéticas a partir das ca

racterísticas físicas da área de drenagem. As características mais comumente usadas no desenvolvimento dessas relações são: área, inclinação, forma, topografia, densidade de rios e capacidade do canal.

Entre os métodos sintéticos temos alguns que nos fornecem hidrógrafas adimensionais a partir das quais são obtidas as hidrógrafas unitárias. Nelas a descarga é expressa pela relação com a descarga máxima e o tempo pela relação com o tempo entre o início de precipitação efetiva e o pique.

Baseado na teoria da hidrógrafa unitária surgiu um novo conceito: o relativo à hidrógrafa unitária instantânea. Esta representa o escoamento superficial que surge quando um excesso de chuva unitário é aplicado instantaneamente sobre toda a bacia. Em outras palavras, é um hidrograma unitário de duração infinitesimal. Nos últimos anos diversos trabalhos foram publicados abordando a técnica da hidrógrafa unitária instantânea, permitindo a previsão de que nesta área se concentrarão os esforços da maioria dos pesquisadores na tentativa de aperfeiçoamento do método da hidrógrafa unitária.

### I.3.2) - Principais pesquisas no campo da hidrógrafa unitária.

Os mais importantes estudos têm a seguinte sequência histórica:

Sherman (1932) elaborou o seu método de cálculo do hidrograma unitário, que chamou a atenção de inúmeros pesquisadores. Estes procuraram aperfeiçoá-lo e adaptá-lo aos problemas que tinham em vista resolver.

Bernard (1935) fez pela primeira vez correlação entre parâmetros da bacia e parâmetros da hidrógrafa unitária, que pode ser considerada a primeira metodologia de obtenção da hidrógrafa unitária sintética. Além disso, introduziu o conceito de gráfico de distribuição que é uma hidrógrafa unitária dimensionada diferentemente, sendo suas ordenadas representadas pelas percentagens do escoamento superficial total ocorridas em cada

período.

McCarthy (1938) propôs um método de síntese de hidrógrafa unitária correlacionando pique, intervalo entre início de chuva efetiva e pique, e tempo total da hidrógrafa unitária com a área, a inclinação do gráfico área-altura e o número de rios principais da bacia estudada.

Snyder (1938) apresentou seu método de síntese no qual correlacionou características da bacia com a vazão máxima, intervalo de tempo entre o centro de massa da chuva efetiva e o pique, e o tempo total da hidrógrafa unitária. Este é o método mais conhecido e utilizado para síntese, tendo recebido contribuições posteriores de, entre outros, Linsley (1943); Linsley, Kohler e Paulhus (1958); e U.S. Army Corps (1948).

Collins (1939) apresentou um método de cálculo de hidrógrafa unitária a partir de chuvas complexas através de processo de tentativa e erro.

Morgan e Hullinghorst (1939), obtiveram a Curva-S, que representa uma hidrógrafa unitária de duração infinita, de utilidade na derivação de hidrógrafas unitárias de durações diferentes.

Commons (1942) desenvolveu sua hidrógrafa unitária adimensional, usando cheias ocorridas no Texas, que posteriormente foi aplicada por outros pesquisadores em diferentes áreas.

Linsley (1943) observou que o intervalo entre o centro de massa da precipitação efetiva e o pique da hidrógrafa unitária não é constante, dependendo do tempo de duração. Esta observação foi aceita por Snyder (1943).

Williams (1945) desenvolveu um processo de síntese da hidrógrafa unitária parecido com o de Snyder.

Clark (1945) derivou sua hidrógrafa unitária instantânea pelo caminhamento da curva tempo-área da bacia através de um reservatório linear. Este foi o primeiro artigo a considerar chuva instantânea, e deste modo a primeira teoria de hidrógrafa unitária instantânea.

O U. S. Army (1948) mostrou uma análise que deu origem

gem a fórmulas de cálculo da largura da hidrógrafa unitária a 50% e 75% da descarga máxima, servindo para facilitar a obtenção da forma das hidrógrafas unitárias sintéticas.

Mitchell (1948) em estudo sobre bacias situadas em Illinois (E.U.A.) apresentou seu método de cálculo de hidrograma unitário sintético.

Taylor e Schwartz (1952) relacionaram a descarga pi que é o intervalo de tempo entre o centro de massa da precipitação efetiva e o pique com várias características físicas da bacia estabelecendo um método de obtenção de hidrógrafa unitárias sintéticas.

Mockus (1957) publicou método de cálculo de hidrógrafa unitária sintética triangular, que é uma simplificação da forma curvilínea real. Este método recebe o nome de U.S. Conservation Service, pelo fato de ter sido editado por este órgão.

Nash (1957) desenvolveu uma equação para a hidrógrafa unitária instantânea a partir da suposição de que qualquer bacia poderia ser substituída por um conjunto de reservatórios lineares dispostos em série.

Dooge (1959), obteve sua hidrógrafa unitária instantânea usando canais lineares para representarem translação e reservatórios lineares para representação do armazenamento da bacia.

Nash (1959) sugeriu a determinação dos parâmetros da hidrógrafa unitária a partir do método dos momentos.

O'Donnell (1960) apresentou seu método de derivação de hidrógrafas unitárias de período finito e instantânea, com o uso da análise harmônica.

Snyder (1961) utilizou um método de inversão através de matrizes para cálculo de hidrógrafa unitária de período finito.

Singh (1964) publicou método para cálculo de hidrógrafa unitária instantânea não-linear. A teoria não linear levou em conta a variabilidade da hidrógrafa unitária instantânea de-

rivada de chuvas diferentes de diversas áreas de drenagem, chegando a uma equação final com 3 parâmetros e 1 parâmetro funcional.

March e Eagleson (1965) apresentaram um modelo geral da bacia de drenagem, usando sistema de elementos lineares, do qual os modelos de Singh e Nash são casos particulares.

Eagleson, Mejia e March (1966), procuraram determinar uma aproximação linear, física e estável para a verdadeira resposta para um sistema de escoamento. Esta foi obtida através de uma aproximação mínimos quadrados usando equações de Wiener e Hopf para o sistema linear ótimo.

Newton e Vinyard (1967) apresentaram método computacional para cálculo de hidrógrafas unitárias usando técnica de programação linear.

Diskin (1969) obteve metodologia de cálculo de hidrógrafa unitária instantânea pelo uso de derivadas na integral de convolução, baseando-se na consideração da hidrógrafa unitária instantânea como um polígono formado por uma série de linhas retas.

Além das pesquisas citadas, várias outras foram feitas neste campo da Hidrologia. São citadas apenas aquelas consideradas de maior valor histórico e/ou prático, mostrando a evolução da metodologia.

#### I.4) - Objetivos do trabalho

No seu dia a dia o hidrólogo encontra diversos problemas cujas soluções necessitam da previsão de descargas líquidas de bacias que apresentam pouca ou nenhuma quantidade de dados disponíveis.

Nestas ocasiões a técnica da hidrógrafa unitária tem sido o mais poderoso recurso da hidrologia aplicada. Poreste motivo muitos pesquisadores concentraram estudos nesta área e muitos são os trabalhos publicados.

Este trabalho tem por finalidade facilitar a escolha e aplicação do método mais adequado, através de análise detalhada das metodologias mais importantes e da elaboração de programas computacionais de fácil utilização de cada uma delas.

### I.5) - Classificação dos métodos analisados

Neste trabalho são analisados os métodos de Sherman, Curva-S, Snyder, Soil Conservation Service, Commons, Clark, Nash, Dooge, Inversão através de Matrizes e O'Donnell.

Suas finalidades e motivações das quais originaram estão resumidas abaixo.

O método de Sherman foi o primeiro a tratar do estudo de hidrógrafas unitárias e foi motivado pela observação, feita por Sherman, da semelhança de forma de hidrógrafas para chuvas uniformes de mesma duração precipitadas sobre uma bacia. A finalidade do método é o cálculo de hidrógrafa unitária de período finito a partir de dados de descarga, supondo intensidade constante de precipitação.

A técnica da Curva-S foi desenvolvida por Morgan e Hullinghorst a fim de evitar a necessidade do cálculo de hidrógrafa unitária de certa duração de dados de descargas provenientes de chuvas com tempo de precipitação efetiva igual à duração da hidrógrafa unitária. A Curva-S serve para, a partir de hidrógrafa unitária com uma certa duração, a derivação de outras com durações diferentes.

Os métodos de Snyder e do Soil Conservation Service foram desenvolvidos pelos seus autores por motivo da necessidade de estabelecimento de hidrógrafas unitárias para bacias com registros insuficientes, procurando correlacionar parâmetros das hidrógrafas unitárias com características da bacia estudada, sendo, portanto, métodos de síntese. Enquanto isto, o método de Commons partiu da consideração de uma forma semelhante de hidrógrafas de escoamento superficial para diferentes bacias e se baseia em hidrograma adimensional.

As metodologias de Clark, Nash e Dooge surgiram com finalidade de cálculo de hidrógrafas unitárias instantâneas utilizando os conceitos que seus autores faziam a respeito da resposta de bacias hidrográficas à precipitação, formando assim modelos conceituais. Finalmente, os métodos de Inversão através de Matrizes e de O'Donnell foram desenvolvidos para obtenção direta de hidrógrafas unitárias de período finito pela análise linear do sistema "bacia hidrográfica."

#### I.6) - Precipitação efetiva e escoamento superficial

É de grande importância no estudo de hidrógrafas unitárias o conceito de precipitação efetiva. Esta, é a parte da precipitação total sobre a bacia que irá se transformar em escoamento superficial, sendo portanto a causadora da onda de cheia.

A separação da precipitação efetiva é feita de forma empírica após ser separado o escoamento superficial, considerado o fato de apresentar mesmo volume que este.

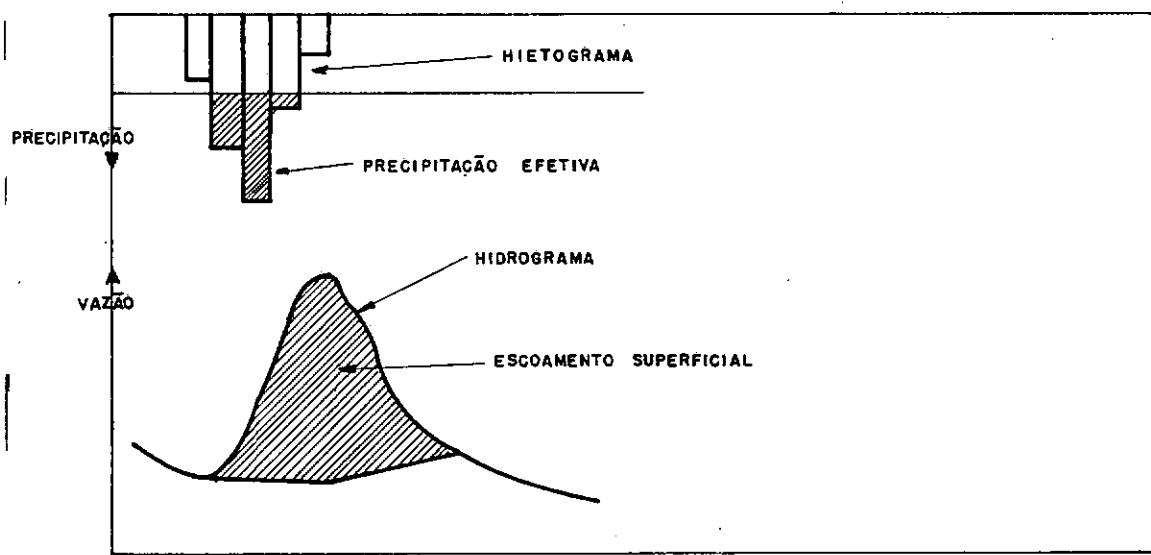
A separação do escoamento superficial é realizada pelo traçado de uma linha contínua entre os pontos de início e fim do escoamento superficial no hidrograma. Não existe, até a presente data a possibilidade da separação exata, nem de comparação entre as diversas linhas que podem ser usadas. Neste trabalho foi adotada a metodologia, usada por Linsley e Koheler (1951) e pelo U. S. Army (1959), que considera a linha de separação formada por uma reta horizontal do início do escoamento até o instante de pique e por uma reta inclinada daí até o final do escoamento superficial (vide fig. I-1).

Feita a separação, a planimetra-se da área do hidrograma correspondente ao escoamento superficial, obtendo seu volume.

De posse do volume de precipitação, igual ao de escoamento superficial, parte-se para a separação, no hietograma, da precipitação efetiva. Também aqui, usa-se o processo empírico de separação por uma linha. Esta linha tem como condição dividir

o hietograma de tal forma que o volume correspondente à parte situada sob ela seja igual ao volume de precipitação efetiva. Neste trabalho foi adotado o processo usado por Nash (1966), que considera a linha de separação horizontal (vide Fig. I-1).

FIG. I-1 - SEPARAÇÃO DO ESCOAMENTO SUPERFICIAL E DA CHUVA EFETIVA



#### I.7) - Observações sobre o texto

Para facilitar a leitura e o entendimento do presente trabalho, são mostradas algumas observações.

Tais são:

a) Para evitar uma repetição monótona de certos termos, procurou-se utilizar outros com mesmo significado, isto é, homônimos.

Assim, neste trabalho, têm o mesmo significado: hidrógrafa, hidrograma, fluviograma; descarga base, descarga básica, descarga subterrânea; precipitação, chuva; bacia hidrográfica, área de drenagem; tempo base, tempo total, tempo de escoamen-

to superficial; etc.

No Capítulo II, na análise dos métodos de Snyder, Soil Conservation Service, Commons e Clark são apresentadas, além de expressões com variáveis no sistema métrico, as equivalentes no sistema inglês.

Os programas foram feitos para estes métodos, de tal forma que servem para dados de entrada, em qualquer dos sistemas, dependendo de um parâmetro de entrada (KONT). Isto foi feito para testes dos programas com dados existentes no sistema inglês, na bibliografia consultada.

CAPÍTULO II  
ANÁLISE DAS METODOLOGIAS

II.1) - Formulação matemática da operação do sistema "bacia hidrográfica"

O conceito de hidrógrafa unitária como uma hipótese simplificada da transformação de precipitação em escoamento consiste na consideração da bacia hidrográfica como um sistema linear invariante do tempo.

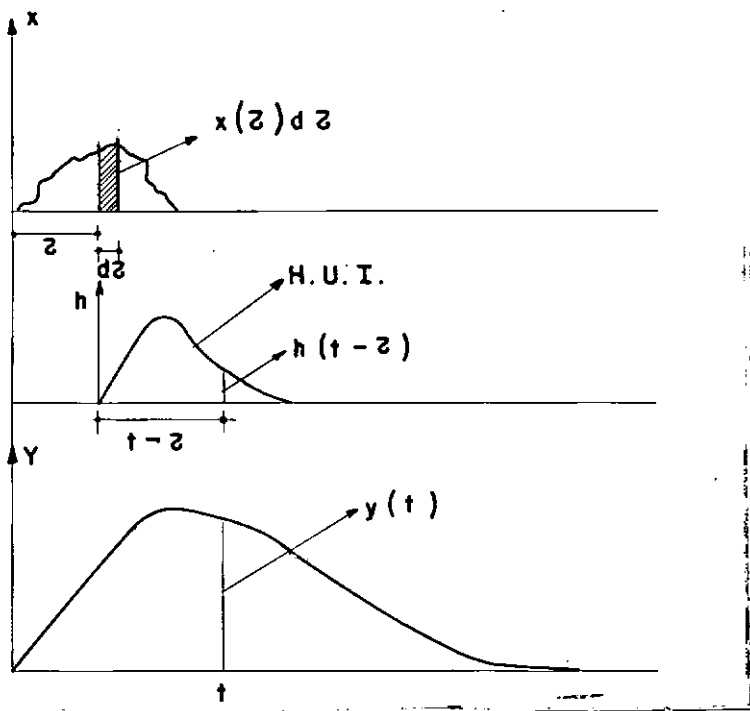
Assim, satisfaz ao princípio da superposição. Sendo  $x(t)$  e  $y(t)$  a entrada e saída de um sistema linear, o princípio de superposição pode ser expresso por uma das integrais de convolução abaixo:

$$\begin{aligned}
 y(t) &= \int_0^t x(\zeta) \cdot h(t-\zeta) d\zeta \\
 &= \int_0^t h(\zeta) \cdot x(t-\zeta) d\zeta \quad (\text{II-1}) \\
 &= h(t)*x(t) ,
 \end{aligned}$$

onde  $h(t)$  é uma função do tempo e representa a saída observada no sistema, permanecendo linear, quando recebe no tempo zero uma entrada de grande intensidade e duração tendendo a zero, tal que o produto da intensidade pela duração permanece unitário.

Na Figura II.1 tem-se um esquema que representa gráficamente a operação de convolução contínua. O gráfico superior representa a entrada, o inferior a saída enquanto o central representa a resposta do sistema linear considerado.

FIG.II. I - OPERAÇÃO DE CONVOLUÇÃO CONTÍNUA



A hidrógrafa unitária instantânea  $u(0,t)$ , representa no sistema "bacia hidrográfica", a função  $h(t)$  e a integral de convolução terá a seguinte representação:

$$q(t) = \int_0^t i(\zeta) \cdot u(0, t-\zeta) d\zeta \quad (\text{II-2})$$

onde:

$$\begin{aligned} q(t) &= \text{escoamento superficial} \\ i(\zeta) &= \text{precipitação efetiva} \end{aligned}$$

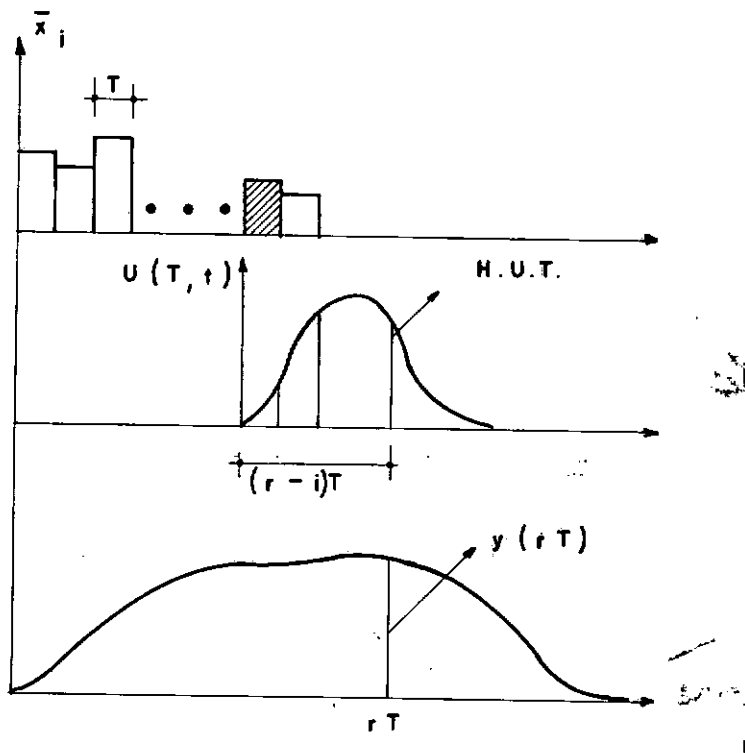
A hidrógrafa unitária de período finito  $T$ ,  $u(T,t)$  é definida como uma função do tempo que representa o escoamento superficial devido a um volume unitário de chuva efetiva ocorrida na bacia durante um período  $T$ .

Sendo  $\bar{x}_i$  a precipitação efetiva (intensidade) no intervalo de tempo  $i \cdot T < t < (i+1) \cdot T$ , a equação de convolução se transforma em

$$y(r \cdot T) = T \cdot \sum_{i=0}^r \bar{x}_i \cdot u \left[ T, (r-i) \cdot T \right] \quad (\text{II-3})$$

Na Figura II.2 tem-se representação gráfica semelhante à da figura anterior para o caso de convolução discreta.

FIG.II.2-OPERAÇÃO DE CONVOLUÇÃO DISCRETA



## II.2) - Método de Sherman

Os princípios básicos deste método já foram citados anteriormente neste trabalho (Cap. I). No estabelecimento da sua teoria, Sherman (1932) baseou-se, em parte, em um relatório do "Boston Committee on Floods" (1929). Nesta publicação, as conclusões principais foram:

- Tempo de escoamento superficial constante.
- Ordenadas de escoamento superficial proporcionais ao volume escoado

Sherman utilizou diretamente a primeira conclusão do relatório e generalizou a última. Sua principal contribuição foi o uso de uma duração definida para a chuva efetiva geradora do escoamento superficial. Sherman sugeriu também que o cálculo da hidrógrafa unitária deveria se basear em cheias cujas precipitações fossem mais uniformes possíveis, sobre toda a bacia, com grande intensidade e curta duração.

O método, com o passar dos anos, foi estudado e aplicado por hidrólogos que introduziram modificações no cálculo. Atualmente o procedimento mais aceito, e que é utilizado neste

trabalho, apresenta, simplificadamente os seguintes passos:

- a) Seleção do período de cheia a ser analisado - Através de procura nos registros de cheia isolada (sem influência de cheia anterior), mais uniforme em tempo e espaço, com grande intensidade e pequena duração. No caso de não existencia de chuva simples, desmembramento de hidrograma complexo, afim de obter hidrograma simples que permitam o uso do método.
- b) Subtração da descarga subterrânea do hidrograma total. Esta separação, em geral é feita usando um método empírico, surgindo erros que são desprezados por ser o volume de escoamento superficial da cheia, na maioria das vezes, muito superior ao volume de descarga subterrânea.
- c) Determinação da duração do hidrograma unitário( $T$ ). Esta é representada pela duração da chuva efetiva causadora da cheia analisada, obtida através do arbítrio de uma curva de perdas da chuva total e da consideração de igualdade dos volumes de precipitação efetiva e escoamento superficial.
- d) Cálculo do volume unitário - produto da altura de precipitação considerada unitária, pela área de drenagem.
- e) Cálculo de coeficiente de multiplicação - Divisão do volume unitário pelo volume de chuva efetiva.
- f) Cálculo do hidrograma unitário - produto do coeficiente multiplicativo pelas ordenadas de escoamento superficial.

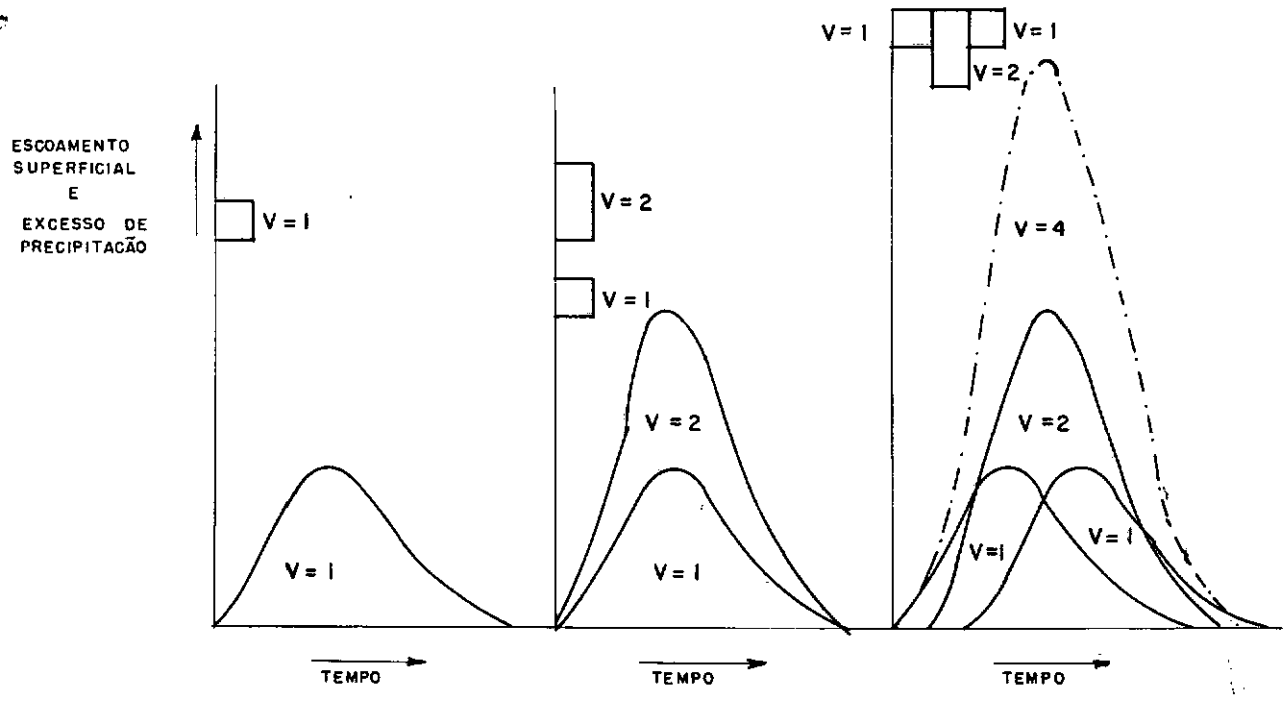
Resumindo, o método de Sherman, permite, de uma maneira simples, a partir de dados de escoamento e precipitação, o cálculo de hidrógrafa unitária de período finito.

Além dos artigos que deram origem à metodologia, muitas publicações contém sua análise e descrição. Entre elas, Lins

ley, Kohler e Paulhus (1949); Sherman (1949); Barnes (1952); U. S. Army (1963) e Chow (1964).

A Figura II.3 serve para facilitar o entendimento dos princípios básicos da teoria relativa a hidrógrafa unitária.

**FIG.II.3-ILUSTRAÇÃO DOS PRINCÍPIOS BÁSICOS**



II.3) - Curvas-S

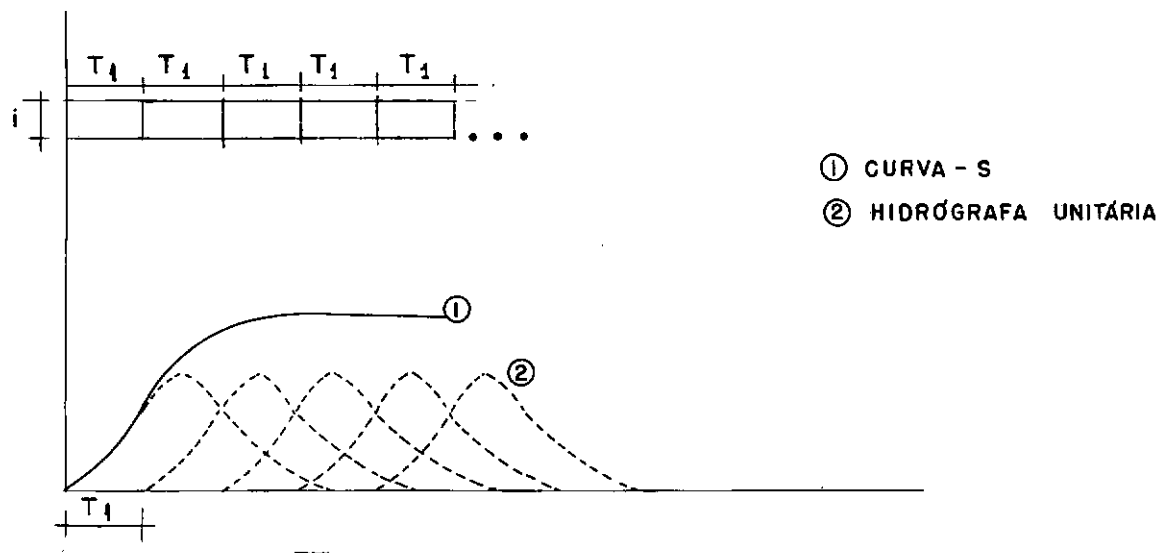
Morgan e Hullinghorst (1939) apresentaram a primeira definição da Curva-S ou Hidrógrafa-S. Esta, é uma das formas em que a hidrógrafa unitária pode ser colocada, em termos do tempo e da descarga, independendo da duração da precipitação. Esta independência, deu origem à sua principal aplicação, que é a derivação de hidrógrafas unitárias de durações diferentes.

A Hidrógrafa-S pode ser definida como a curva de descarga causada por excesso de chuva com intensidade constante e duração infinita. Esta curva adquire a forma de um S, daí a sua denominação.

O cálculo das ordenadas da Curva-S, a partir de uma hidrógrafa unitária, é feito pela soma das ordenadas de uma série de curvas iguais à hidrografia unitária considerada, defasadas de um tempo igual à duração da chuva efetiva. Este procedi-

mento pode ser melhor entendido pela visualização da Fig. II.4

FIG. II.4 - CÁLCULO DA CURVA - S



Teóricamente, a Curva-S seria sempre crescente, até atingir uma taxa de descarga igual à taxa constante de precipitação; em um instante igual à diferença entre o tempo total da hidrógrafa unitária e a duração da chuva efetiva, isto é, até o tempo de concentração da bacia em análise.

Na prática, a Curva-S obtida a partir de dados observados apresenta alguma irregularidade e ondulação, principalmente na parte final do gráfico. Isto pode ser causado por um ou mais destes fatores:

- Tempo de duração adotado maior que o real.
- Chuva efetiva não uniforme.
- Variação espacial da distribuição da chuva sobre a área da bacia.

Quando ocorrerem ondulações exageradas, o primeiro procedimento a ser tomado é a redução do tempo de duração, para verificar se houve erro na sua escolha. No caso de haver flutuações moderadas basta-se lançar mão de uma técnica de suavização da curva.

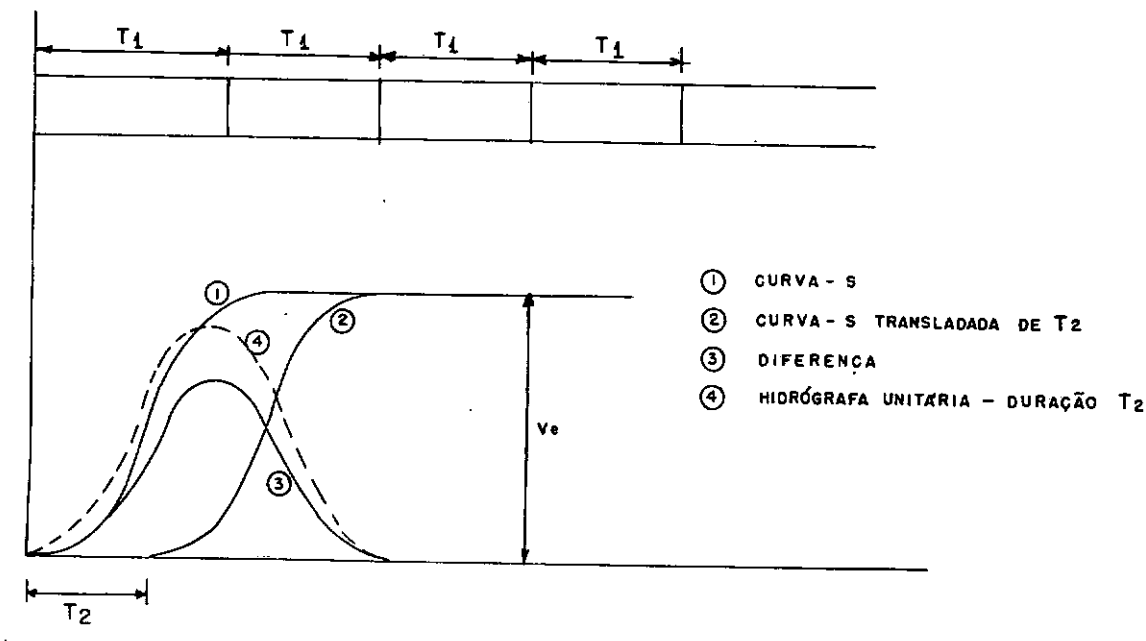
A altura do patamar de equilíbrio da Curva-S pode ser obtida a partir da área de drenagem e do tempo de duração da precipitação efetiva. Sendo a área ( $A$ ) fornecida em  $\text{km}^2$  e a duração ( $T_1$ ) em horas, a descarga de equilíbrio será dada ( $V_e$ ),

em  $\text{m}^3/\text{s}$ , por:

$$V_e = \frac{2,78 \cdot A}{T_1} \quad (\text{II-4})$$

A derivação de hidrógrafia unitária a partir da Curva-S é obtida pela subtração de duas Curvas-S defasadas de um intervalo de tempo igual à duração da hidrógrafia unitária que queremos obter. Na prática, a derivação faz com que apareçam ondulações e até ordenadas negativas na parte final da hidrógrafia unitária, que no caso de serem pequenas, podem ser também eliminadas por técnica de suavização. Após isso ajusta-se, por multiplicação de um coeficiente ( $T_1/T_2$ ), as coordenadas da diferença das Curvas-S, suavizada; ao volume unitário. Os passos para derivação de hidrógrafia unitária com duração diferente podem ser vistos na Fig. II.5.

**FIG. II.5 - DERIVAÇÃO ATRAVÉS DA CURVA-S**



Podemos dar a seguinte formulação matemática às teorias da Hidrógrafia-S e da derivação de hidrógrafas unitárias:

$$S(t) = \sum_{i=0}^n u(T, t - iT) \text{ para } n T < t < (n+1) \cdot T \quad (\text{II-5})$$

$$u(T, t) = \frac{S(t) - S(t-T)}{T} \quad (\text{II-6})$$

Levando esta expressão ao limite,

$$u(0, t) = \frac{d}{dt} (S(t)), \quad (\text{II-7})$$

que é a equação da hidrógrafa unitária instantânea em função da Curva-S. A Inversa desta é:

$$S(t) = \int_0^t u(0, t) dt \quad (\text{II-8})$$

As equações acima mostram que existe possibilidade do cálculo de hidrógrafas unitárias de qualquer duração a partir da Curva-S, e vice-versa.

A descoberta da possibilidade de utilização da Curva-S na derivação de hidrógrafas unitárias foi um dos maiores avanços na teoria da hidrógrafa unitária pois com seu uso, não é necessária a procura nos registros de tempestades cujas durações sejam iguais às das hidrógrafas unitárias desejadas.

É interessante observar que, para dados discretos a duração mínima para a qual pode-se derivar hidrógrafa unitária é igual ao intervalo de tempo entre observações de descargas, a não ser que se utilize interpolação dos dados.

#### II.4) - Método de Snyder

Diversas relações empíricas foram desenvolvidas entre características físicas das áreas de drenagem e parâmetros da hidrógrafa unitária, mas nenhuma conseguiu tanta aceitação quanto as obtidas por Snyder (1938). Vários outros pesquisadores utilizaram estas relações diretamente ou com adaptações aos seus trabalhos.

Utilizando bacias situadas na região montanhosa dos Apalaches (E.U.A.) ele obteve as seguintes equações:

$$t_p = C_t \cdot (L \cdot L_{ca})^{0.3} \quad (\text{II-9})$$

$$q_p = \frac{640 C_p}{t_p} \quad (\text{II-10})$$

$$t_{pR} = t_p + \frac{t_R - t_p}{4} \quad (\text{II-13})$$

$$t_r = \frac{t_p}{5.5} \quad (\text{II-11})$$

$$q_{pR} = \frac{640 C_p}{t_{pR}} \quad (\text{II-14})$$

$$Q_p = q_p \cdot A \quad (\text{II-12})$$

$$q_{pR} = \frac{q_p \cdot t_p}{t_{pR}} \quad (\text{II-15})$$

$$q_{pR} = q_{pR} \cdot A \quad (\text{II-16})$$

$$T_B = 3 + 3 \cdot \frac{t_{pR}}{24} \quad (\text{II-17})$$

$C_t$  e  $C_p$  = coeficientes de Snyder

$t_p$  = intervalo de tempo entre o ponto médio da chuva efetiva,  $t_r$ , e a descarga máxima, em horas.

$L$  = comprimento do curso principal, em milhas.

$L_{ca}$  = distância do ponto extremo da bacia à projeção do centróide sobre o curso principal, em milhas.

$t_r$  = duração da chuva efetiva em horas,  $t_r = \frac{t_p}{5.5}$ .

$t_R$  = duração da chuva efetiva considerada real, em horas, diferente da duração padrão  $t_r$ .

$t_{pR}$  = intervalo de tempo entre o ponto médio da chuva efetiva  $t_R$ , e a descarga máxima, em horas.

$T_B$  = tempo total da hidrógrafa unitária, em dias.

$Q_p$  = descarga máxima da hidrógrafa unitária em  $\text{ft}^3/\text{s}$ .

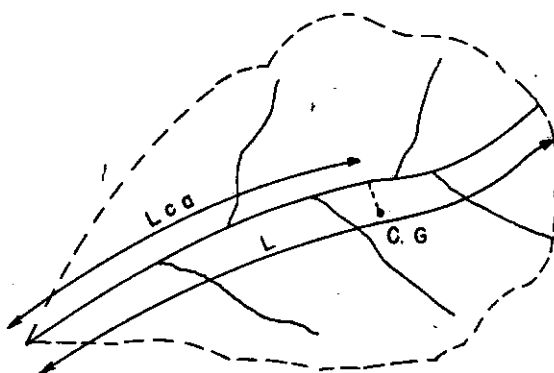
$q_p$  = descarga específica máxima da hidrógrafa unitária de duração  $t_r$  em  $\text{ft}^3/\text{s}/\text{sq.mi.}$

$q_{pR}$  = descarga específica máxima da hidrógrafa unitária de duração  $t_R$  em  $\text{ft}^3/\text{s}/\text{sq.mi.}$

$A$  = área da bacia em  $\text{sq.mi.}$

A Figura II.6 representa esquematicamente as características físicas da bacia hidrográfica utilizadas por Snyder na correlação com parâmetros da hidrógrafa unitária.

## FIG. II. 6 - CARACTERÍSTICAS FÍSICAS - SNYDER



Inicialmente, em seu trabalho de 1938, Snyder considerou  $t_p$  constante, obtendo as expressões II-9 a II-12, mas após crítica feita por Linsley (1943) a teoria foi modificada surgindo a expressão II-3, e consequentemente as equações II-14 a II-16.

As equações, II-9 a II-12, seriam usadas para a duração padrão  $t_p$ . No caso geral, duração diferente de  $t_p$  deve-se lançar mão das equações II-13 a II-16.

Todas as equações do método de Snyder são empíricas, por esta razão devem ser utilizadas com bom senso, principalmente a II-17, que fornece o tempo total da hidrógrafa unitária, pois considera um valor mínimo de 3 dias, o que é por demais elevado para bacias pequenas. Ao invés de utilizar esta equação deve-se adotar um outro método. Um deles pode ser o cálculo a partir do tempo de concentração, usando a equação abaixo:

$$T_B = t_C + t_R \quad (\text{II-18})$$

onde

$T_B$  = tempo total da hidrógrafa unitária

$t_C$  = tempo de concentração da bacia hidrográfica

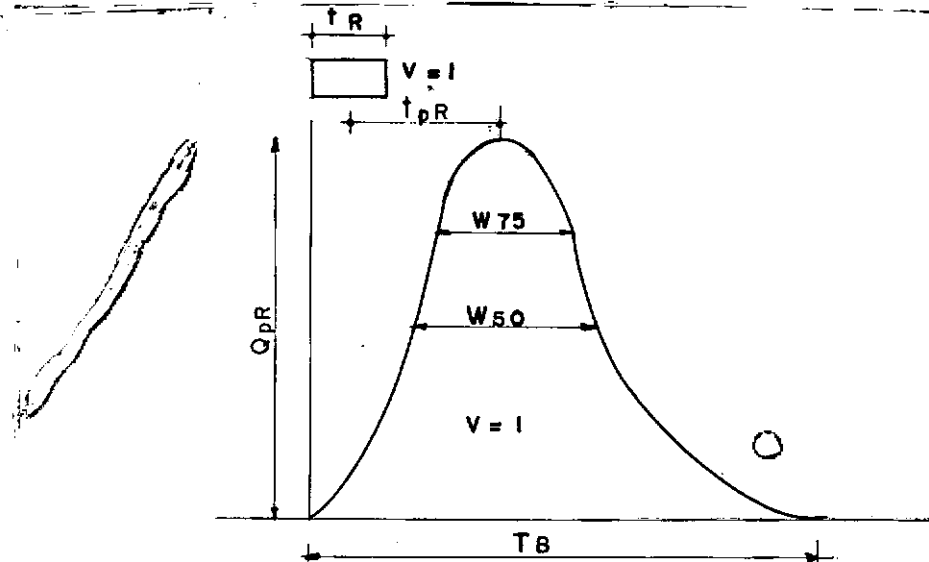
$t_R$  = duração da chuva

As expressões; II-9, II-10, II-14 e II-15; obtidas por Snyder, no caso de dados com unidades diferentes daquelas por ele usadas, necessitam de alterações em seus coeficientes. Neste trabalho, ao invés de alterar as expressões optou-se pela transformação de unidades dos dados para o sistema inglês, usando assim as equações de Snyder diretamente.

Na aplicação da metodologia, por vários pesquisadores, foi verificado que os coeficientes  $C_t$  e  $C_p$  variam largamente de uma região para outra. Utilizando 1 polegada como altura unitária de chuva efetiva, Linsley (1943) obteve para bacias situadas na Califórnia valores de  $C_t$  entre 0,7 e 1,0 e de  $C_p$  entre 0,35 e 0,5 enquanto nos Apalaches Snyder obteve  $C_t$  entre 1,8 e 2,2 e  $C_p$  entre 0,55 e 0,7.

As variáveis utilizadas por Snyder e pelo U. S. Army (1948) são representadas esquematicamente na Figura II.7.

**FIG.II.7 - REPRESENTAÇÃO DAS VARIÁVEIS SNYDER**



A sequência para determinação dos coeficientes de Snyder considerada mais recomendável, a partir de uma hidrógrafa unitária, é a seguinte:

- Localização do centro de gravidade da área de drenagem - pode ser feita através da utilização de método prático com uso de cartão homogêneo com mesmo formato da bacia.
- Projeção do centro de gravidade sobre o curso principal.
- Cálculo de  $L$ , tamanho total do curso principal e  $L_{ca}$ , distância, sobre o curso principal, da projeção do centróide à saída da bacia.
- Cálculo do intervalo entre o ponto médio da chuva efetiva e a descarga máxima ( $t_{pR}$ ) a partir da duração da chuva efetiva ( $t_R$ ) e do tempo até o pi-

que ( $t_p$ )

$$t_{pR} = t_p - \frac{t_R}{2} \quad (\text{II-19})$$

- e) Cálculo de  $t_p$  a partir de  $t_{pR}$  e  $t_R$  usando a equação II-20 obtida por combinação de II-11 e II-13.

$$t_p = \frac{22}{21} \cdot \left( t_{pR} - \frac{t_R}{4} \right) \quad (\text{II-20})$$

- f) Cálculo de  $C_t$  através de solução da equação II-9.

- g)  $Q_{pR}$  igual à descarga máxima da hidrógrafa unitária.

- h) Cálculo de  $q_{pR}$  através de solução da equação II-16.

- i) Obtenção de  $C_p$  através de solução da equação II-14.

A derivação de novas hidrógrafas unitárias, a partir de coeficientes anteriormente calculados, para a mesma bacia ou bacias consideradas semelhantes é feita com um procedimento inverso, seguindo a ordem das equações apresentadas anteriormente. Com isto, são localizados 3 pontos da hidrógrafa unitária derivada. Para obter-se os outros pontos deve ser ajustada uma curva de volume unitário aos pontos já calculados.

O U. S. Army (1948) publicou relações também empíricas, que facilitam este ajustamento. Estas fornecem as larguras da hidrógrafa unitária a 50 e 75% da descarga máxima, em função desta descarga, que estão representadas na Figura II.7. São elas:

$$W_{50} = \frac{770}{(q_{pR})^{1.08}} \quad (\text{II-21})$$

$$W_{75} = \frac{440}{(q_{pR})^{1.08}} \quad (\text{II-22})$$

Os valores situados nos numeradores podem ser alterados desde que se conheça uma hidrógrafa unitária para a bacia em análise. Isto é feito substituindo as larguras e o pique nas fórmulas obtendo-se assim novos numeradores.

As relações empíricas apresentadas por Snyder têm

sido provadas de grande valia no estudo do escoamento superficial de bacias onde registros não estão disponíveis, assim como na modificação e complementação de registros disponíveis, para servirem a propósitos específicos.

## II.5) - Método de Commons

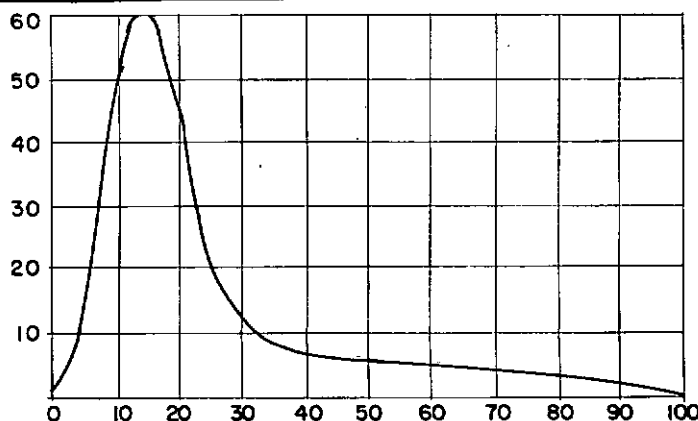
A partir de cheias observadas no Texas (E.U.A.), Commons (1942) obteve um hidrograma básico adimensional que deu origem a uma metodologia de cálculo de hidrógrafas unitárias.

Este método faz parte de uma linha de pesquisas cuja tendência é ignorar as variações das características de uma bacia para outra assumindo uma só forma para as curvas de escoamentos superficial de todas as áreas de drenagem.

Devido ao fato de termos uma única forma para a hidrógrafa unitária da bacia analisada necessitamos determinar apenas um parâmetro, para fixar as escalas, para abcissas e ordenadas. Isto é feito geralmente através, inicialmente, da obtenção do intervalo de tempo até a descarga máxima ou do valor desse, e deve-se utilizar, sempre que possível, o intervalo do tempo até o pique, por sua mais fácil obtenção e pela sua menor variação de uma cheia para outra.

O hidrograma básico de Commons apresenta uma área de 1196,5 unidades quadradas, sendo sua base dividida em 100 unidades e sua altura em 60 com o máximo ocorrendo a 14 unidades do ponto inicial, conforme representação na Figura II.8.

FIG.II.8-HIDROGRAMA BÁSICO DE COMMONS



O cálculo da hidrógrafa unitária a partir do hidrograma básico de Commons utilizando o tempo até o pique, de uma cheia real, pode ser feito com a sequência abaixo, adotada neste trabalho:

- a) Cálculo do tempo unitário ( $T_u$ ), a partir do intervalo de tempo até o pique ( $t_A$ )

$$T_u = \frac{t_A}{14} \quad (\text{II-23})$$

- b) Cálculo do volume total escoado superficialmente - este volume unitário é obtido pelo produto da área considerada pela altura unitária.

Para área em  $\text{km}^2$  e altura 1 cm

$$V = 10^4 \cdot A \quad (\text{II-24})$$

Para área em sq.mi. e altura 1 polegada

$$V = 2.323.200 \cdot A \quad (\text{II-25})$$

- c) Obtenção da descarga unitária

$$Q_u = \frac{V}{1196,5 \cdot T_u \cdot 3600} \text{ m}^3/\text{s ou ft}^3/\text{s} \quad (\text{II-26})$$

- d) Cálculo da descarga máxima da hidrógrafa unitária

$$Q_p = 60 \cdot Q_u \quad (\text{II-27})$$

- e) Cálculo do tempo total da hidrógrafa unitária

$$T_B = 100 \cdot T_u \quad (\text{II-28})$$

- f) Cálculo das ordenadas dos pontos da hidrógrafa unitária restantes - multiplicando ordenadas do hidrograma básico pela descarga unitária ( $Q_u$ ) e das abcissas pelo tempo unitário ( $T_u$ )

Esta metodologia apresenta como pontos positivos, o fácil uso e a simplicidade da formulação, mas sua utilização deve ser feita diretamente apenas para bacias em que se tenha certeza do comportamento semelhante ao daquelas para as quais Commons desenvolveu, pois sabe-se que a forma da hidrógrafa unitária varia, de bacia para bacia; e numa mesma área de drenagem, com a duração da pre-

cipitação.

Entre as publicações que analisam os métodos de Commons se destaca a de Johnstone e Cross (1949).

## II.6) - Método do Soil Conservation Service

Para bacias onde não é necessária uma forma geométrica precisa, da hidrógrafa unitária o Soil Conservation Service, do Departamento de Agricultura (E.U.A.) (1957), desenvolveu a metodologia do hidrograma unitário triangular. Este hidrograma é uma simplificação do curvilíneo real, apresentando mesma área e mesmo intervalo de tempo até o pique.

Os parâmetros da hidrógrafa unitária triangular estão assim interrelacionados:

$$Q_{pR} = \frac{2 \cdot V}{t_A + t_D} = \frac{2 \cdot V}{T_B} \quad (\text{II-29})$$

$$t_D = H \cdot t_A \quad (\text{II-30})$$

$$Q_{pR} = \frac{2 \cdot V}{(1+H) \cdot t_A} \quad (\text{II-31})$$

$$t_{pR} = 0,6 \cdot t_c \quad (\text{II-32})$$

$$\alpha = \frac{t_A - 0,5 \cdot t_R}{t_c} \quad (\text{II-33})$$

$$H = \frac{T_B}{t_A + 0,5 \cdot t_R} - 1 \quad (\text{II-34})$$

onde:

$Q_{pR}$  = descarga máxima

$V$  = volume total escoado superficialmente (unitário)

$t_A$  = tempo até o pique

$t_D$  = tempo de recessão

$t_R$  = duração da chuva efetiva

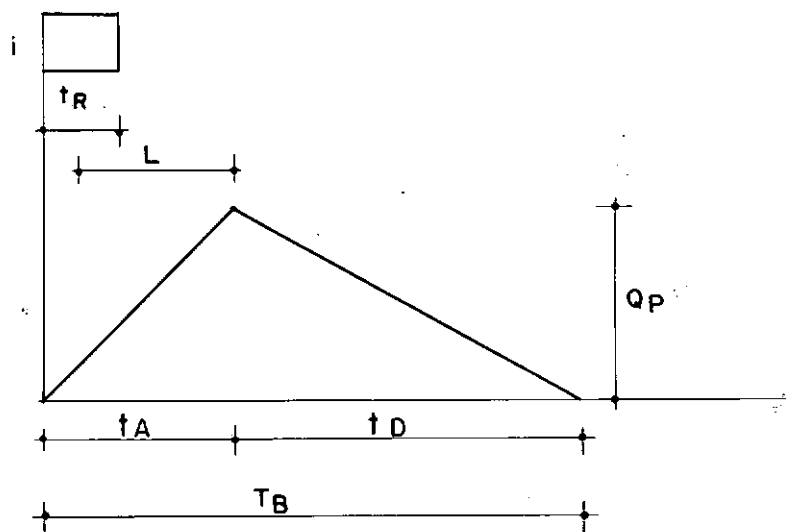
$t_c$  = tempo de concentração da bacia

$T_B$  = tempo total da hidrógrafa unitária

$t_{pR}$  = tempo entre o ponto médio da precipitação efetiva e o pique da hidrógrafa unitária

$\alpha, H$  = coeficientes da hidrógrafa unitária triangular

FIG.II.9 - HIDRÓGRAFA UNITÁRIA TRIANGULAR



O Soil Conservation Service através de estudos de diversas áreas de drenagem adotou um valor médio para o tempo total dado por

$$T_B = 2,67 \cdot t_A \quad (\text{II-35})$$

considerando  $H = 1,67$

A partir de uma hidrógrafa unitária conhecida, o cálculo dos parâmetros da hidrógrafa triangular para cálculo de outras da mesma bacia ou de bacias semelhantes deve ser feito na seguinte ordem:

- Tempo base ( $T_B$ ) igual ao da hidrógrafa unitária real.
- Cálculo do volume unitário - produto da área da bacia pela altura unitária de precipitação efetiva.

Para área em  $\text{km}^2$  e altura unitária em cm

$$V = 10^4 \cdot A \quad (\text{II-36})$$

Para área em sq.mi e altura unitária empregadas

$$V = 2.323.200 \cdot A \quad (\text{II-37})$$

c) Cálculo da descarga pique

$$Q_p = \frac{2 \cdot V}{3600 \cdot T_B} \text{ m}^3/\text{s} \text{ ou ft}^3/\text{s} \quad (\text{II-38})$$

- d) Tempo até o pique ( $t_A$ ) igual ao da hidrógrafa unitária real.
- e) Tempo de chuva efetiva ( $t_R$ ) igual ao da hidrógrafa unitária real.
- f) Cálculo do tempo de concentração ( $t_C$ ), que pode ser feito pela equação que o relaciona com o tempo total e o tempo de precipitação efetiva, ou qualquer outra metodologia, sendo recomendável o método dos momentos de Nash, (1957), caso existam dados suficientes. Este método será analisado posteriormente, neste trabalho.
- g) Cálculo do parâmetro  $\alpha$  através da equação II-33.
- h) Cálculo do parâmetro  $H$  através da equação II-34.

No caso da inexistência de hidrógrafa unitária real anteriormente obtida a definição da hidrógrafa unitária triangular pode ser feita da seguinte maneira:

- a) Cálculo do tempo de concentração da bacia por fórmula empírica.
- b) Cálculo do intervalo de tempo entre o ponto médio da chuva efetiva e o pique ( $t_{pR}$ ), usando a equação II-32.
- c) Cálculo do tempo até o pique, somando a metade da duração da chuva efetiva ( $t_R$ ) ao valor de  $t_{pR}$ .
- d) Obtenção do tempo total a partir de  $t_A$ , usando a equação II-35.
- e) Cálculo da vazão máxima ( $Q_{pR}$ ), a partir do volume unitário ( $V$ ) e do tempo total ( $T_B$ ) usando a equação II-30, definindo assim a hidrógrafa unitária

ria triangular.

- f) Cálculo do parâmetro  $\alpha$  através da equação II-33.
- g) Cálculo do parâmetro  $H$  através da equação II-34.

Se fôr necessário, ao invés de calcular os parâmetros, obter a partir de parâmetros as ordenadas da hidrógrafa unitária triangular, adota-se um procedimento inverso, para localização da descarga máxima e do ponto final da hidrógrafa unitària, utilizando-se as mesmas relações.

As equações empíricas foram estabelecidas pelo Soil Conservation Service para dados de bacias de pequeno e médio porte situadas nos E.U.A.

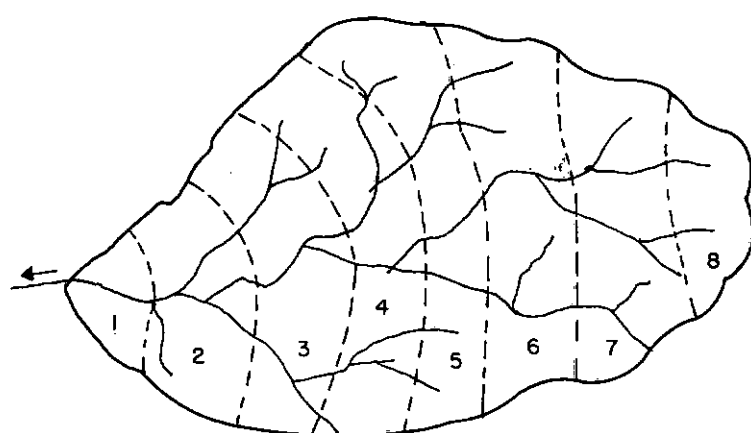
#### II.7) - Método de Clark

A primeira metodologia para cálculo de hidrógrafa unitária instantânea foi proposta por Clark (1945), utilizando a técnica de propagação de cheias.

Este método translada escoamentos superficiais de sub-bacias, de acordo com os tempos de trânsito, até a saída e, após, faz a propagação desses escoamentos através de um reservatório linear com a finalidade de considerar os efeitos de armazenamento das bacias e dos canais.

Isto é feito através do caminhamento do diagrama concentração-tempo-área através do reservatório considerado. Para cálculo desse diagrama, divide-se a área de drenagem em sub-áreas através de linhas chamadas isócronas. Como o nome indica, estas linhas são formadas por pontos que apresentam mesmo tempo de trânsito até a saída da bacia. A Figura II.10 exemplifica a divisão de bacia por isócronas.

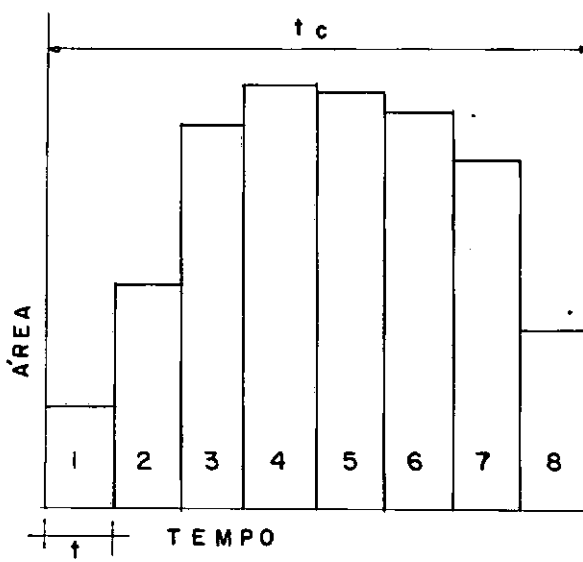
**FIG.II.10 - BACIA DIVIDIDA POR ISÓCRONAS**



A escolha do número de isócronas deve ser feita levando em conta a área e a forma da bacia, e o tempo total da curva concentração-tempo-área será igual ao tempo de concentração da bacia, enquanto as ordenadas serão iguais às áreas situadas entre isócronas adjacentes.

O diagrama tempo-área será considerado o gráfico da entrada para o caminhamento através do reservatório linear. O diagrama correspondente à bacia representada na Figura II.10 é mostrado na Figura II.11.

**FIG.II.11- DIAGRAMA CONCENTRAÇÃO - TEMPO - ÁREA**



Da teoria da propagação de cheias temos que:

$$\frac{I_1 + I_2}{2} \cdot t - \frac{Q_1 + Q_2}{2} \cdot t = S_2 - S_1, \quad (\text{II-39})$$

onde  $I$  representa entrada,  $Q$  a descarga e  $S$  o armazenamento, sendo que os índices 1 e 2 representam o início e o fim do intervalo de tempo  $t$ , respectivamente.

Além disso, pelo fato da linearidade,

$$S_1 = K Q_1 \quad (\text{II-40})$$

$$S_2 = K Q_2, \quad (\text{II-41})$$

onde  $K$  é a constante de armazenamento. As equações acima podem ser agrupadas numa única:

$$Q_2 = m_1 I_2 + m_2 I_1 + m_3 Q_1, \quad (\text{II-42})$$

onde

$$m_1 = \frac{0,5 t}{K+0,5 t} \quad m_2 = \frac{0,5 t}{K+0,5 t} \quad e \quad m_3 = \frac{K-0,5 t}{K+0,5 t} \quad (\text{II-43})$$

$$Q_2 = m' I + m_3 Q_1 \quad (\text{II-44})$$

sendo

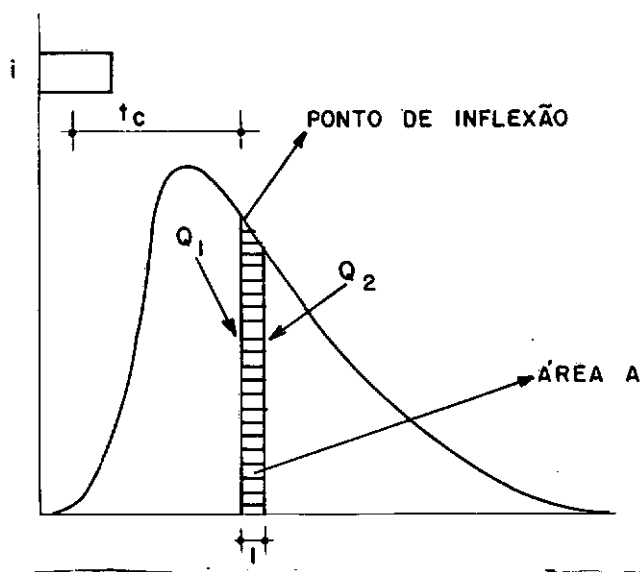
$$m' = \frac{t}{K+0,5 t} \quad (\text{II-45})$$

Este método, para sua utilização necessita pelo menos de uma observação de escoamento superficial para a bacia em análise e  $t$  é o intervalo de tempo de trânsito entre isócronas adjacentes.

O cálculo dos parâmetros  $K$  e  $t_c$  pode ser feito por várias metodologias, entre elas a do método de momentos de Nash, que será analisado posteriormente.

Um procedimento simples, porém mais impreciso que os disponíveis na presente data foi obtido por O'Kelly (1955), que considerou o escoamento superficial dividido em duas partes. A primeira quando a água está entrando no reservatório linear e a última quando está saindo, estando separadas pelo ponto de inflexão que ocorre na recessão do escoamento.

FIG.II 12 - PARÂMETROS DA HIDRÓGRAFA UNITÁRIA DE CLARK



Assim, considerou o tempo de concentração  $t_c$  o intervalo entre o centro de massa da precipitação efetiva e o ponto de inflexão e deduziu a expressão da constante de armazenamento K em função da área A representada no gráfico de escoamento superficial da figura II.12.

$$K = \frac{A}{Q_1 - Q_2} \quad (\text{II-46})$$

O tempo de duração de precipitação que fornece o escoamento superficial utilizado na derivação dos coeficientes deve ser razoavelmente pequeno, no máximo 3 horas.

O cálculo da hidrógrafa unitária instantânea para uma determinada bacia apresenta os seguintes passos:

- Cálculo do tempo de concentração ( $t_c$ ) e da constante de armazenamento, através do método de Clark - O'Kelly, fórmula empírica, relação com tempo de precipitação e tempo total, método de Nash, ou qualquer outra metodologia.
- Divisão da bacia usando isócronas - no mínimo 5.
- Estabelecimento do diagrama concentração-área-tempo pela planimetria das áreas entre isócronas.
- Cálculo de  $m'$  e  $m_3$ , com utilização de  $t$  e  $K$  obtidos.

dos anteriormente, usando equações II-43 e II-45.

- e) Cálculo de  $m' \times I$  em unidades de descarga líquida.

Como tem-se o diagrama de concentração-área-tempo em unidades de área x altura, para obter valores com unidades de descarga tem-se que lançar mão de coeficientes multiplicativos.

No caso de área em  $\text{km}^2$ , altura de chuva em cm e tempo em horas,

$$m' \times I = \frac{m' \cdot 2,78 \cdot I}{t} \text{ m}^3/\text{s} \quad (\text{II-47})$$

Se a área em sq.mi, a altura em polegadas e o tempo em horas:

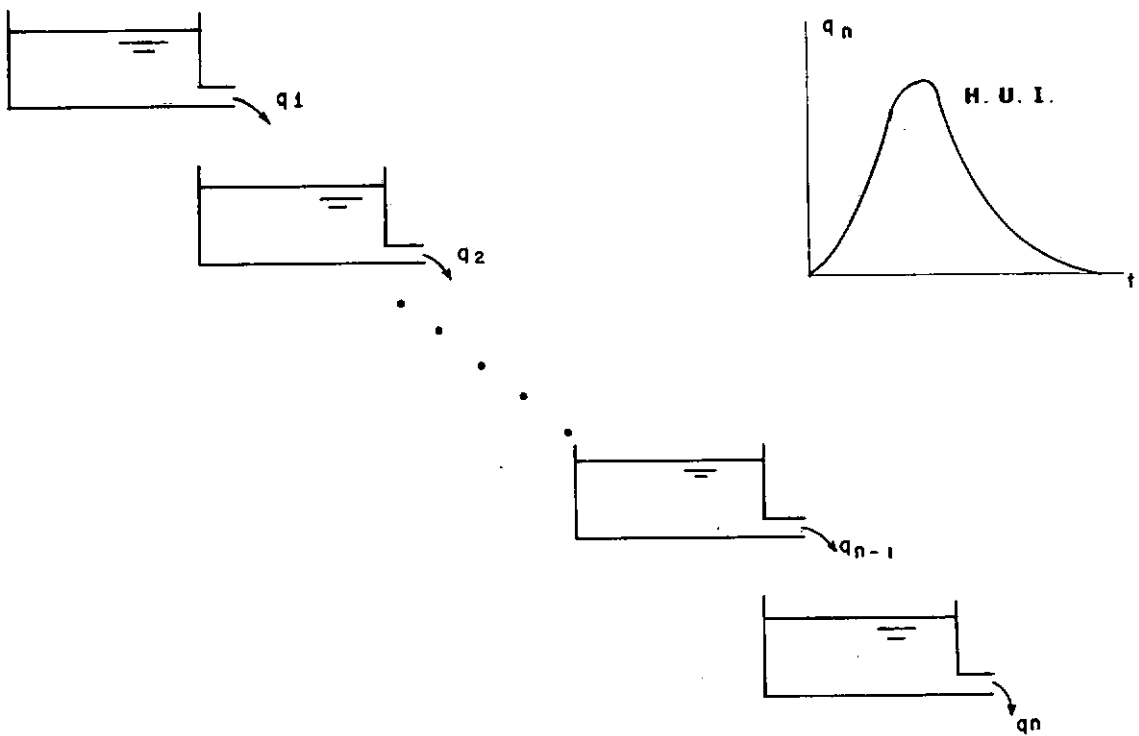
$$m' \times I = \frac{m' \times 645 \times I}{t} \text{ cfs} \quad (\text{II-48})$$

- f) Cálculo das ordenadas da hidrógrafa unitária de Clark através da equação II-44.

## II.8) - Método de Nash

Em seu modelo conceitual, Nash (1957) considerou a bacia formada por um conjunto de reservatórios lineares iguais dispostos em série. A representação esquemática do modelo de Nash é feita na Figura II.13.

FIG.II.13-MODELO CONCEITUAL DE NASH



Um reservatório linear tem para relação entre volume armazenado e saída:

$$S = Kq \quad (\text{II-49})$$

onde  $S$  é o volume armazenado,  $K$  a constante de armazenamento e  $q$  o volume de saída.

A variação do armazenamento de um reservatório linear, no tempo, sendo  $I$  a entrada será:

$$\frac{dS}{dt} = I - q \quad (\text{II-50})$$

Resolvendo a equação diferencial acima considerando no instante  $t_0$  uma saída  $q_0$  resulta:

$$q = q_0 e^{- (t-t_0)/K} \quad (\text{II-51})$$

Fazendo  $t-t_0 = \zeta$

$$q = q_0 e^{-\zeta/K} \quad (\text{II-52})$$

Ocorrendo uma entrada instantânea tal que haja umar

mazenamento  $S_0$  no instante  $t_0 = 0$ ,  $q_0 = \frac{S_0}{K}$ , logo

$$q = \frac{S_0}{K} e^{-t/K} \quad (\text{II-53})$$

No caso, o volume de armazenamento é unitário, por se tratar de hidrógrafa unitária instantânea, daí:

$$q_1 = \frac{1}{K} e^{-t/K} \quad (\text{II-54})$$

Esta saída representa a hidrógrafa unitária instantânea no caso em que se considere a bacia hidrográfica representada por um único reservatório linear:

$$u(0,t) = \frac{1}{K} e^{-t/K} \quad (\text{II-55})$$

No caso de dois reservatórios a saída do primeiro, representada pela equação acima servirá de entrada para o segundo e usando a equação de convolução obtém-se:

$$q(t) = \int_0^t \frac{1}{K} e^{-\zeta/K} \cdot \frac{1}{K} e^{-(t-\zeta)/K} \quad (\text{II-56})$$

a qual integrada fornece:

$$q_2 = \frac{t}{K^2} e^{-t/K} \quad (\text{II-57})$$

Procedendo do mesmo modo para os demais reservatórios obter-se-ia a lei de formação que permite calcular a saída  $q_n$  do último reservatório, a qual representa a hidrógrafa unitária instantânea da bacia.

$$u(0,t) = \frac{1}{K \cdot (n-1)!} \left(\frac{t}{K}\right)^{n-1} e^{-t/K} \quad (\text{II-58})$$

Nash sugeriu a generalização da expressão para valores de  $n$  não inteiros, substituindo  $(n-1)!$ , que se aplica apenas a valores de  $n$  inteiros, pela Função Gama de  $n$ , que é geral. Desta forma, a expressão se transforma em:

$$u(0,t) = \frac{1}{K \cdot \Gamma(n)} \left(\frac{t}{K}\right)^{n-1} e^{-t/K} \quad (\text{II-59})$$

Uma abordagem estatística pode ser feita considerando a hidrógrafa unitária instantânea como uma distribuição de frequências dos tempos de trânsito de partículas de água.

Sendo assim, o tempo médio ou esperado será fornecido por:

$$E(t) = \int_0^\infty u(0,t) \cdot t dt = \int_0^\infty t \left(\frac{t}{K}\right)^{n-1} \cdot \frac{1}{(n-1)!} e^{-\frac{t}{K}} \frac{dt}{K} \quad (\text{II-60})$$

Colocando o integrando sob a forma de uma distribuição gama de probabilidade teremos:

$$E(t) = n.K \int_0^\infty \left(\frac{t}{K}\right)^n \frac{1}{n!} e^{-\frac{t}{K}} \frac{dt}{K} \quad (\text{II-61})$$

Logo, o integrando tem área unitária e  $E(t) = n.K$

Este valor médio é a distância em tempo entre a precipitação instantânea e o centróide da área da hidrógrafa unitária.

A variância do tempo de trânsito, é fornecida por:

$$\text{VAR}(t) = E(t^2) - [E(t)]^2 \quad (\text{II-62})$$

$$E(t^2) = \int_0^\infty u(0,t) t^2 dt = \int_0^\infty \left(\frac{t}{K}\right)^{n-1} \frac{1}{(n-1)!} e^{-\frac{t}{K}} \frac{dt}{K} \cdot t^2 \frac{dt}{K} \quad (\text{II-63})$$

, donde

$$E(t^2) = n(n+1) K^2 \int_0^\infty \left(\frac{t}{K}\right)^{n+1} \frac{1}{(n+1)!} e^{-\frac{t}{K}} \frac{dt}{K} \quad (\text{II-64})$$

Como o integrando é uma distribuição gama de probabilidades, a integral tem valor unitário e

$$E(t^2) = n(n+1) \cdot K^2 \quad (\text{II-65})$$

Sendo  $E(t) = n.K$ , obtido anteriormente, o valor  $[E(t)]^2$  é dado por:

$$[E(t)]^2 = n^2 \cdot K^2. \quad (\text{II-66})$$

Substituindo as expressões calculadas na equação que fornece a variância:

$$\text{VAR}(t) = n(n+1) K^2 - n^2 \cdot K^2 \quad (\text{II-67})$$

$$\text{VAR}(t) = n \cdot K^2 \quad (\text{II-68})$$

Nash (1960) provou que, teóricamente o valor  $E(t) = n \cdot K$  para hidrógrafa unitária instantânea é válida para outra qualquer duração.

No pique da hidrógrafa unitária, a sua derivada em relação ao tempo é nula. Logo, derivando a expressão em relação ao tempo e igualando a zero obter-se-á uma equação que forneça o tempo para o pique a partir dos parâmetros de Nash. Esta é:

$$t_A = (n-1) \cdot K \quad (\text{II-69})$$

Além de estabelecer o modelo, Nash (1959) correlacionou seus parâmetros  $n$  e  $K$  com os momentos de área da precipitação efetiva e escoamento superficial em relação à origem dos tempos e aos centros de gravidade. Em seu trabalho, mostrou que para qualquer sistema linear e invariante no tempo os momentos de 1<sup>a</sup> ordem da resposta a qualquer entrada, e saída resultante, estão relacionados por:

$$H'_1 = Y'_1 - X'_1 \quad (\text{II-70})$$

onde

$H'_1$  = momento de 1<sup>a</sup> ordem da resposta em relação à origem

$Y'_1$  = momento de 1<sup>a</sup> ordem da saída em relação à origem

$X'_1$  = momento de 1<sup>a</sup> ordem da entrada em relação à origem

e da mesma maneira, os momentos de 2<sup>a</sup> ordem, em relação aos centróides.

$$H_2 = Y_2 - X_2 \quad (\text{II-71})$$

onde

$H_2$  = momento de 2<sup>a</sup> ordem da resposta em relação ao centróide

$Y_2$  = momento de 2<sup>a</sup> ordem da entrada em relação ao centróide

$X_2$  = momento de 2<sup>a</sup> ordem da saída em relação ao centróide

Para a hidrógrafa unitária instantânea:

$$H'_1 = n K \quad (\text{II-72})$$

$$H_2 = n K^2 \quad (\text{II-73})$$

que são as expressões de  $E(t)$  e  $\text{VAR}(t)$  das expressões acima resulta:

$$n K = Y'_1 - X'_1 \quad (\text{II-74})$$

$$n K^2 = Y_2 - X_2 \quad (\text{II-75})$$

Dividindo a segunda equação pela primeira:

$$K = \frac{Y_2 - X_2}{Y'_1 - X'_1} \quad (\text{II-76})$$

Substituindo na primeira:

$$n = \frac{(Y'_1 - X'_1)}{Y_2 - X_2} \quad (\text{II-77})$$

Através das equações finais, pode ser feita a derivação dos parâmetros da hidrógrafa de Nash a partir de momentos da precipitação efetiva e do escoamento superficial, que correspondem à entrada e saída do sistema analisado.

O procedimento de cálculo de hidrógrafas unitárias instantâneas pelo método de Nash para bacias de interesse que a presenta, na maioria das vezes, melhores resultados e que é usado neste trabalho apresenta a ordem sequencial abaixo:

- a) A partir de cheia simples escolhida, cálculo de momentos da precipitação efetiva e do escoamento superficial.
- b) Cálculo dos parâmetros  $n$  e  $K$ .
- c) Substituição dos parâmetros na equação do modelo conceitual de Nash para obtenção das ordenadas da hidrógrafa unitária instantânea da área de drenagem sob consideração.

Nash sugeriu a derivação de hidrógrafas unitárias de período finito a partir da hidrógrafa unitária instantânea através de tabelas da Função Gama Incompleta, que é o mais recomendado para cálculo manual.

Os parâmetros  $n$  e  $K$  podem ser relacionados, também, com os momentos de 1<sup>a</sup> e 2<sup>a</sup> ordem em relação à origem da chuva efetiva e do escoamento superficial por:

$$Y'_1 - X'_1 = n \cdot K \quad (\text{II-78})$$

$$Y'_2 - X'_2 = n \cdot (n+1) K^2 + 2 n \cdot K \cdot X'_1, \quad (\text{II-79})$$

onde:

$X'_1$  = momento de primeira ordem da chuva efetiva, em relação à origem

$X'_2$  = momento de segunda ordem da chuva efetiva, em relação à origem

$Y'_1$  = momento de primeira ordem do escoamento superficial, em relação à origem

$Y'_2$  = momento de segunda ordem do escoamento superficial, em relação à origem

Estas expressões podem fornecer os valores de  $n$  e  $K$ , a partir dos momentos em relação à origem dos tempos. O sistema de equações acima foi o empregado neste trabalho.

Além dos artigos já referidos muitos outros procuraram descrever e analisar a metodologia de Nash. Entre as publicações que estudam o método pode-se citar Chow (1964), Nash(1966) e TNO (1966), Nash (1967) e Dooge (1973).

## II.9) - Método de Dooge

Um modelo conceitual foi desenvolvido por Dooge(1959), considerando a bacia de drenagem constituída por reservatórios e canais lineares dispostos em série, sendo os reservatórios considerados responsáveis pelos efeitos de armazenamento, e os canais pelos efeitos de translação.

Sendo todos os elementos lineares, o sistema total também resulta linear e a ordem em que se dispõem os canais e reservatórios não altera a resposta do sistema. Assim, pode-se

supor os efeitos de armazenamento e translação separados e representados por dois grupos de componentes em série, um deles formado pelos canais e outro pelos reservatórios.

Para cada reservatório, sendo  $S$  o armazenamento,  $Q$  a saída e  $K$  a constante de armazenamento tem-se:

$$S(t) = K \cdot Q(t) \quad (\text{II-80})$$

a variação do armazenamento para uma entrada  $I$  será dada por:

$$I(t) - Q(t) = \frac{d}{dt} S(t) \quad (\text{II-81})$$

ou

$$I(t) - Q(t) = K \frac{d}{dt} Q(t) \quad (\text{II-82})$$

na forma operacional, e sendo  $D$  o operador diferencial,

$$(1 + KD) Q(t) = I(t) \quad (\text{II-83})$$

a qual para uma entrada instantânea de um volume  $V_0$  tem para solução:

$$Q(t) = \frac{V_0}{K} e^{-t/K} \quad (\text{II-84})$$

Para um só canal linear, não havendo distorção, seu efeito é apenas de uma pura translação no tempo.

Logo, na combinação de um reservatório com constante de armazenamento  $K$  com um canal linear com tempo de translação  $a$ , a saída do conjunto tem por equação:

$$Q(t) = \frac{V_0}{K} e^{-(t-a)/K} \quad (\text{II-85})$$

Quando se tem uma série de reservatórios, a saída de um representa a entrada no próximo e tem por equação operacional

$$(1+K_1 D) (1+K_2 D) \dots (1+K_n D) Q_n(t) = I(t) \quad (\text{II-86})$$

De outra forma,

$$Q_n(t) = \frac{1}{(1+K_1 D) (1+K_2 D) \dots (1+K_n D)} I(t) \quad (\text{II-87})$$

que pode ser escrita como;

$$Q_n(t) = \frac{1}{\prod_{i=1}^n (1 + K_i D)} I(t), \quad (\text{II-88})$$

cuja solução é:

$$Q_n(t) = C_1 e^{-t/K_1} + C_2 e^{-t/K_2} + \dots + C_n e^{-t/K_n} \quad (\text{II-89})$$

Partindo do fato de que toda entrada se transforma em saída, isto é, para qualquer reservatório

$$\int_0^\infty Q dt = V_o \quad (\text{II-90})$$

Dooge chegou a um sistema de equações da seguinte forma:

$$C_1 K_1 + C_2 K_2 + \dots + C_n K_n = V_o$$

$$C_1 + C_2 + \dots + C_n = 0$$

$$\frac{C_1}{K_1} + \frac{C_2}{K_2} + \dots + \frac{C_n}{K_n} = 0 \quad (\text{II-91})$$

⋮

$$\frac{C_1}{K_1^{n-2}} + \frac{C_2}{K_2^{n-2}} + \dots + \frac{C_n}{K_n^{n-2}} = 0$$

Resolvendo o sistema e substituindo na expressão de  $Q_n(t)$  obteve a equação abaixo:

$$\frac{Q_n(t)}{V} = \frac{K_1^{n-2} e^{-t/K_1}}{\text{II } (K_1 - K_i)} + \frac{K_2^{n-2} e^{-t/K_2}}{\text{II } (K_2 - K_1)} + \dots + \frac{K_n^{n-2} e^{-t/K_n}}{\text{II } (K_n - K_i)} \quad (\text{II-92})$$

Esta equação, foi considerada pelo próprio Dooge como uma ferramenta de difícil utilização, citando trabalho de Lanczos (1957) onde é provado que a separação de exponenciais por análise numérica não é satisfatória.

No caso de reservatórios iguais obtém-se uma grande simplificação pois:

$$Q_n(t) = \frac{1}{(1 + K D)^n} I(t), \quad (\text{II-93})$$

que tem por solução:

$$Q_n(t) = (C_1 + C_2 t + C_3 t^2 + \dots + C_n t^{n-1}) e^{-t/K} \quad (\text{II-94})$$

Entrando com as condições limites, Dooge obteve:

$$C_1 = C_2 = \dots = C_{n-1} = 0 \quad (\text{II-95})$$

e

$$C_n = \frac{V_o}{K^n(n-1)!} \quad (\text{II-96})$$

que quando substituídos na expressão de  $Q_n(t)$  resulta:

$$Q_n(t) = \frac{V_o}{K} \frac{(t/K)^{n-1} e^{-t/K}}{(n-1)!} \quad (\text{II-97})$$

Para a aplicação da teoria do sistema linear analisado à bacia hidrográfica pode-se dividir o escoamento total nas contribuições de sub-áreas  $\Delta A$  sendo cada uma delas dada por:

$$\Delta Q(t) = \frac{1}{II_1^n (1 + K_i D)} \{I(t-\zeta)\} \cdot \Delta A \quad (\text{II-98})$$

onde  $\zeta$  é o tempo total de translação entre o elemento e o ponto extremo da bacia.

Quando se trata da hidrógrafa unitária instantânea,

$$\Delta u(0, t) = \frac{1}{II_1^n (1 + K_i D)} \cdot V_o \delta(t-\zeta) \frac{\Delta A}{A} \quad (\text{II-99})$$

pois a entrada instantânea pode ser representada pela Função Delta de Dirac para toda a bacia.

$$u(0, t) = \sum \Delta u(0, t) \quad (\text{II-100})$$

$$u(0, t) = \sum_{A(0)}^{\frac{A(t)}{A(0)}} \frac{1}{II_1^n (1 + K_i D)} \cdot V_o \cdot \delta(t-\zeta) \cdot i \cdot \frac{\Delta A}{A} \quad (\text{II-101})$$

onde  $i$  é a relação entre a intensidade de chuva efetiva da sub-área e  $A$  da área total.

Na forma de integral ou superfície

$$u(0, t) = \frac{V_o}{A} \int_0^{A(t)} \frac{\delta(t-\zeta)}{II_1^n (1 + K_i D)} \cdot i \cdot dA \quad (\text{II-102})$$

que é a expressão geral da hidrógrafa unitária instantânea do Dooge.

Dooge, devido à complexidade de solução da integral de superfície, fez várias simplificações, sendo a primeira delas a transformação em integral simples pelo uso do conceito de isócronas:

$$u(0,t) = \frac{V_0}{A} \int_0^{t < T} \frac{\delta(t-\zeta)}{I I_1^n (1+K_i D)} i \frac{dA}{d\zeta} d\zeta , \quad (\text{II-103})$$

que foi mudada para:

$$u(0,t) = \frac{V_0}{T} \int_0^{t < T} \frac{\delta(t-\zeta)}{I I_1^n (1+K_i D)} \omega(\frac{t}{T}) d\zeta \quad (\text{II-104})$$

onde  $T$  representa o tempo de concentração da bacia e  $\frac{dA}{d\zeta}$  os comprimentos de isócronas ou ordenadas da curva tempo-área. Além disto, considerou a solução prática ideal aquela em que se utilizasse reservatórios iguais, cuja equação da hidrógrafa unitária resulta:

$$u(0,t) = \frac{V_0}{T} \int_0^t \frac{\delta(t-\zeta)}{(1+K D)^n} \cdot \omega(\frac{t}{T}) d\zeta , \quad (\text{II-105})$$

obtendo-se

$$u(0,t) = \frac{V_0}{T} \int_0^{t/K} \frac{m^{n-1} e^{-m}}{(n-1)!} \cdot \omega(\frac{t}{T}) dm , \quad (\text{II-106})$$

sendo

$$m = \frac{t-\zeta}{K} ,$$

que é a equação recomendada por Dooge no cálculo prático da hidrógrafa unitária instantânea.

Deve ser lembrado que  $n$  é função do tempo de translação  $\zeta$ , sendo o número de reservatórios com o tempo de escoamento do ponto onde está situado e a saída da bacia menores que  $\zeta$ . Além disto  $\frac{m^{n-1} e^{-m}}{(n-1)!}$  representa a Função de Distribuição de Probabilidade de Poisson  $P(m,n-1)$  que pode ser encontrada em tabelas.

Com utilização de computador, as etapas para cálculo da hidrógrafa unitária instantânea de Dooge mais recomendáveis são:

- a) Seleção do período de cheia da bacia considerada.
- b) Divisão da bacia em sub-áreas através de isócronas.
- c) Cálculo das ordenadas do diagrama tempo-área através da planimetria das áreas entre isócronas.
- d) Cálculo dos parâmetros n e K, podendo ser usados o método de Nash, método de O'Kelly, determinação a partir de tempo de concentração obtido por fórmula empírica, ou qualquer outra metodologia.
- e) Cálculo de cada uma das ordenadas do hidrograma unitário instantâneo pelo uso da expressão final mostrada.

No seu trabalho, Dooge, procurou mostrar que vários modelos conceituais, como o de Nas e Clark poderiam ser considerados casos particulares do seu modelo geral, crescendo aí sua importância.

#### II.10) - Método de O'Donnell

Uma das técnicas utilizadas na análise de sistemas lineares é aquela que utiliza o conceito de funções ortogonais. Sendo considerado linear o sistema que transforma precipitação efetiva em escoamento superficial, esta técnica pode também ser aplicada no cálculo de hidrógrafas unitárias.

Sendo  $g(t)$  uma função, pode ser representada pela soma de uma série infinita, na forma abaixo:

$$g(t) = \sum_{i=0}^{\infty} c_i f_i(t) \quad (\text{II-107})$$

Duas funções  $f_i(t)$  e  $f_j(t)$  são ortogonais quando

$$\int_a^b f_i(t) f_j(t) dt = 0 \text{ para } i \neq j \quad (\text{II-108})$$

e

$$\int_a^b f_i(t) \cdot f_j(t) dt = K \text{ para } i \neq j \quad (\text{II-109})$$

A razão pela qual costuma-se lançar mão de funções ortogonais na análise linear é a facilidade de cálculo dos coeficientes  $c_i$ , pois multiplicando-se os dois membros da equação de  $g(t)$  por função  $f_j(t)$  ortogonal a  $f_i(t)$  tem-se:

$$g(t) \cdot f_j(t) = \sum_{i=0}^{\infty} c_i f_i(t) \cdot f_j(t), \quad (\text{II-110})$$

Expressão que integrada entre limites a e b fornece:

$$\int_a^b g(t) \cdot f_i(t) dt = 0 + 0 + \dots + c_i K + 0 + 0 + \dots \quad (\text{II-111})$$

Desta resulta que:

$$c_i = \frac{1}{K} \int_a^b g(t) f_i(t) dt \quad (\text{II-112})$$

No caso de qualquer sistema linear e invariante no tempo, a entrada, saída e resposta seriam representadas por:

$$\begin{aligned} x(t) &= \sum_{i=0}^{\infty} (c_x)_i \cdot f_i(t) \\ y(t) &= \sum_{i=0}^{\infty} (c_y)_i \cdot f_i(t) \quad (\text{II-113}) \\ h(t) &= \sum_{i=0}^{\infty} (c_h)_i \cdot f_i(t), \end{aligned}$$

onde as mesmas funções ortogonais são usadas nas três expansões em séries.

Entre as funções ortogonais as séries de Fourier são as mais conhecidas e utilizadas na análise de sistemas lineares e sua utilização na derivação de hidrógrafas unitárias foi apresentada por O'Donnell (1960) e, em parte republicada pelo autor no TNO (1966).

Uma função com domínio  $0 < t < L$  pode ser representada por:

$$g(t) = a_0 + \sum_{\zeta=1}^{\infty} \left\{ a_{\zeta} \cos \zeta \cdot \frac{2\pi t}{L} + b_{\zeta} \sin \zeta \cdot \frac{2\pi t}{L} \right\} \quad (\text{II-114})$$

sendo ortogonais as funções seno e cosseno apresentadas na equação. Os coeficientes  $a_\zeta$  e  $b_\zeta$  são fornecidos por:

$$a_\zeta = \frac{2}{L} \int_0^L g(t) \cos \zeta \cdot \frac{2\pi t}{L} dt \quad \text{com} \quad a_0 = \frac{1}{L} \int_0^T g(t) dt \quad (\text{II-115})$$

e

$$b_\zeta = \frac{2}{L} \int_0^L g(t) \sin \zeta \cdot \frac{2\pi t}{L} dt \quad (\text{II-116})$$

O'Donnell mostrou que substituindo na equação de convolução obtém-se as seguintes relações algébricas entre os coeficientes  $(a, b)$  da entrada  $x(t)$ ,  $(a', b')$  da saída  $y(t)$  e  $(\alpha, \beta)$  da resposta  $h(t)$ .

$$a'_i = \frac{L}{2} (a_i \alpha_i - b_i \beta_i) \quad \text{com} \quad a'_0 = L a_0 \alpha_0 \quad (\text{II-117})$$

e

$$b'_i = \frac{L}{2} (a_i \beta_i + b_i \alpha_i) \quad (\text{II-118})$$

Separando os coeficientes da resposta surge:

$$\alpha_i = \frac{2}{L} \frac{a_i \cdot a'_i - b_i \cdot b'_i}{a_i^2 + b_i^2} \quad \text{com} \quad \alpha_0 = \frac{1}{L} \frac{a'_0}{a_0} \quad (\text{II-119})$$

$$\beta_i = \frac{2}{L} \frac{a_i \cdot b'_i - b_i \cdot a'_i}{a_i^2 + b_i^2} \quad (\text{II-120})$$

Logo, a partir da entrada e saída pode-se obter seus coeficientes de Fourier e com eles calcular algébricamente os coeficientes da resposta; e consequentemente a função resposta.

Em estudos hidrológicos, os dados são coletados sob a forma discreta ou discretizados a partir de curvas contínuas obtidas geralmente por linigrafos e pluviógrafos, não se possuindo a equação da curva contínua. Por isto, não se pode calcular analiticamente as integrais anteriormente mostradas.

O'Donnell propôs o cálculo direto da hidrografia unitária de período finito, a ser utilizada de forma imediata. Na previsão de vazões, sem cálculo anterior da hidrografia unitária instantânea.

Discretizando as equações contínuas, preliminarmente mostradas, O'Donnell obteve:

$$g(it) = a_0 + \sum_{\zeta=1}^P (a_\zeta \cos \zeta \frac{2\pi i}{n} + b_\zeta \sin \zeta \frac{2\pi i}{n}) \quad (\text{II-121})$$

onde:

$$a_\zeta = \frac{2}{n} \sum_{i=0}^{n-1} g(it) \cos \zeta \frac{2\pi i}{n}, \quad a_0 = \frac{1}{n} \sum_{i=0}^{n-1} g(it) \quad (\text{II-122})$$

$$b_\zeta = \frac{2}{n} \sum_{i=0}^{n-1} g(it) \sin \zeta \frac{2\pi i}{n} \quad (\text{II-123})$$

onde  $g(it)$  é o valor da função no instante  $it$ , sendo as medidas em intervalo constante  $T$  entre  $t=0$  e  $t=L$  e  $n$  um número ímpar,  $n=2P+1$ .

No cálculo da hidrógrafa unitária de período finito pelo método de O'Donnell considera-se a entrada no sistema formada pelas intensidades de chuva efetiva, tomadas no início de cada período de medida, a saída formada pelas ordenadas de escoamento superficial e a resposta ao sistema pelas ordenadas da hidrógrafa unitária.

As relações entre os coeficientes harmônicos são as mesmas obtidas por O'Donnell para o caso contínuo.

As etapas de obtenção da hidrógrafa unitária para período finito de O'Donnell são:

- a) Seleção do período de escoamento superficial.
- b) Separação do escoamento superficial e da chuva e efetiva, conforme visto no Capítulo I.
- c) Cálculo dos coeficientes harmônicos das séries de precipitação efetiva e escoamento superficial, usando equações II-122 e II-123.
- d) A partir dos coeficientes harmônicos calculados, derivação dos coeficientes da hidrógrafa unitária, através das equações II-119 e II-120.

e) Cálculo das ordenadas da hidrógrafa utilizando os coeficientes harmônicos, usando a equação II-123.

A técnica de O'Donnell exige o uso de computador eletrônico pela grande quantidade de cálculos envolvidos e pela grande precisão necessária para obter resultados satisfatórios.

### II.11) - Método de Inversão através de Matrizes

A aplicação da técnica matricial ao cálculo do hidrograma unitário foi desenvolvida por Snyder (1961) em trabalho do Tennessee Valley Authority (E.U.A.).

A equação de convolução discreta para sistemas lineares e invariantes no tempo pode ser representada por um sistema de equações.

No caso da bacia de drenagem, sendo:

$X$  = volumes de excesso de chuva em cada intervalo de T horas

$u$  = ordenadas da hidrógrafa unitária

$y$  = ordenadas do escoamento superficial;

o sistema linear é dado por:

$$y_1 = X_1 \cdot u_1 + 0 + 0 + \dots + 0 + 0$$

$$y_2 = X_2 \cdot u_1 + X_1 \cdot u_2 + 0 + \dots + 0 + 0$$

$$y_3 = X_3 \cdot u_1 + X_2 \cdot u_2 + X_1 \cdot u_3 + 0 + \dots + 0 + 0$$

$$\vdots$$

$$y_m = X_m \cdot u_1 + X_{m-1} \cdot u_2 + \dots + X_1 \cdot u_m + 0 + \dots + 0 + 0$$

$$y_{m+1} = 0 + X_m \cdot u_2 + \dots + X_2 \cdot u_m + X_1 \cdot u_{m+1} 0 + \dots + 0$$

$$\vdots$$

$$y_{m+n-2} = 0 + 0 + 0 + \dots + 0 + X_m \cdot u_{n-1} + X_{m-1} \cdot u_n$$

$$y_{m+n-1} = 0 + 0 + 0 + 0 + \dots + 0 + 0 + X_m \cdot u_n$$

(II-124)

Colocando sob a forma matricial,

$$\left| \begin{array}{ccccccc} x_1 & 0 & 0 & 0 & \dots & 0 & 0 \\ x_2 & x_1 & 0 & 0 & \dots & 0 & 0 \\ x_3 & x_2 & 1 & 0 & \dots & 0 & 0 \\ \vdots & & & & \vdots & & \\ x_m & x_{m-1} & x_{m-2} & \dots & x_1 & 0 & 0 & 0 & \dots & 0 \\ 0 & x_m & x_{m-1} & \dots & x_2 & x_1 & 0 & 0 & \dots & 0 \\ \vdots & & & & \vdots & & & & & \\ 0 & 0 & 0 & 0 & \dots & 0 & x_m & x_{m-1} & & & \end{array} \right| = \left| \begin{array}{c} y_1 \\ u_1 \\ u_2 \\ u_3 \\ \vdots \\ y_m \\ \vdots \\ y_{m+1} \\ \vdots \\ y_{m+n-1} \end{array} \right| \quad (\text{II-125})$$

Usando notação matricial:

$$|X| \cdot |U| = |Y| \quad (\text{II-126})$$

Um método de mínimos quadrados se baseia na minimização da soma dos quadrados dos resíduos entre as saídas reais e as previstas pelo uso de diferentes vetores  $|U|$ . Estes resíduos são dados pelo vetor coluna  $|r|$ .

$$|r| = |y| - |x| \cdot |U| \quad (\text{II-127})$$

ou

$$|r| = |y| - |x \cdot U| \quad (\text{II-128})$$

A soma dos quadrados dos resíduos pode ser obtida pelo produto interno de  $|r|$  por sua transposta  $|r|^T$ , isto é:

$$\sum r_i^2 = |r|^T \cdot |r| = \left[ |y|^T - |U|^T \cdot |x|^T \right] \cdot \left[ |y| - |x| \cdot |U| \right] \quad (\text{II-129})$$

ou, operando-se

$$\sum r_i^2 = |y|^T \cdot |y| - |y|^T \cdot |x| \cdot |U| - |U|^T \cdot |x|^T \cdot |y| + |U|^T \cdot |x|^T \cdot |x| \cdot |U| \quad (\text{II-130})$$

ou

$$\sum r_i^2 = |y|^T \cdot |y| - 2|U|^T \cdot |x|^T \cdot |y| + |U|^T \cdot |x|^T \cdot |x| \cdot |U| \quad (\text{II-131})$$

Derivando em relação a  $U$  e igualando a zero para o cálculo do mínimo de  $\sum r_i^2$  obtém-se:

$$- 2|X|^T \cdot |y| + 2|X|^T \cdot |X| \cdot |U| = 0 \quad (\text{II-132})$$

ou

$$|X|^T |X| |U| = |X|^T |y| \quad (\text{II-133})$$

Fazendo  $|X|^T |X| = |Z|$ , onde  $Z$  é uma matriz quadrada,

$$|Z| |U| = |X|^T |y| \quad (\text{II-134})$$

separando o vetor  $U$ ,

$$|U| = |Z|^{-1} |X|^T |y| \quad (\text{II-135})$$

tem-se a solução mínimos quadrados para hidrógrafa unitária de período finito.

O cálculo da hidrógrafa unitária pelo método descrito, na prática pode ser feito do seguinte modo:

- a) Seleção da cheia a ser analisada.
- b) Separação do escoamento superficial e da chuva e efetiva, conforme visto no Capítulo I.
- c) Montagem da matriz  $|X|$  retangular; II-124.
- d) Transposição da matriz  $|X|$ .
- e) Produto de  $|X|^T$  por  $|X|$ , calculando  $|Z|$ .
- f) Inversão da matriz  $|Z|$ .
- g) Cálculo da hidrógrafa unitária de período finito da equação matricial II-135.

O método de Inversão através de Matrizes é destinado diretamente ao uso de computador eletrônico, pela eficiência desta máquina nas operações matriciais.

## CAPÍTULO III

## APLICAÇÕES E COMPARAÇÕES DOS MÉTODOS

## III.1) - Elaboração dos programas computacionais

Foi procurada a automatização das metodologias tendo como finalidade facilitar as suas aplicações. Assim, foram elaborados programas em linguagem Fortran, para todas as técnicas sendo de início destinadas ao computador eletrônico Burroughs-6700, podendo, no entanto, ser facilmente adaptados a outras máquinas, mesmo de menor porte.

Tentou-se facilitar o emprego dos programas por qualquer pessoa que deles necessite para estudos de fluviogramas unitários. Isto foi feito pela adoção de um sistema de entrada de dados bastante simples e da confecção de um manual para uso.

A programação foi feita visando a solução dos problemas práticos que mais comumente surgem para serem resolvidos através de cada método. Desta forma, para hidrógrafas unitárias de período finito a finalidade principal foi o cálculo de suas ordenadas, enquanto para os métodos sintéticos foi o cálculo de parâmetros que permitissem derivação de outras hidrógrafas unitárias.

Além dos programas para aplicação das metodologias, foi elaborada uma subrotina destinada à reprodução de hidrogra-

mas a partir de hidrógrafas unitárias, obtidas por qualquer mé todo, e sendo fornecidas as precipitações efetivas.

### III.2) - Exemplos de aplicação

Foram escolhidas, para aplicação das metodologias a nalistas, bacias urbanas, de pequeno porte, de afluentes do Rio Acari situado no Rio de Janeiro. Os dados empregados foram obti dos através da Divisão de Hidrologia da Superintendência Estadual de Rios e Lagoas do Rio de Janeiro (SERLA), tendo sido cole tados para serem usados na elaboração do Anteprojeto de Macro drenagem da Bacia do Rio Acari, pela SURSAN e SONDOTE<sup>N</sup>CICA (1973), no qual foi utilizada a técnica do hidrograma unitário na sua forma tradicional.

A bacia do Rio Acari e suas sub-bacias são exemplos de áreas de drenagem importantes que possuem poucos dados dispo níveis nas quais o método da hidrógrafa unitária é a melhor es colha para previsão de descargas líquidas.

A coleta de dados através de linígrafos foi inicia da em 1969, tendo, portanto um período muito curto de dados, de qualidade aceitável, para bacia de pequena área, como é o seu ca so.

As aplicações foram feitas aos afluentes do Acari chamados rio Piraquara e rio das Pedras, cujas áreas de drenagem são  $13 \text{ km}^2$  e  $24 \text{ km}^2$ , estando os postos linigráficos nas locali dades, respectivamente, de Magalhães Bastos e Barragem. As áre as de drenagem, com seus rios principais estão representadas nas figuras III.1 e III.2, respectivamente.

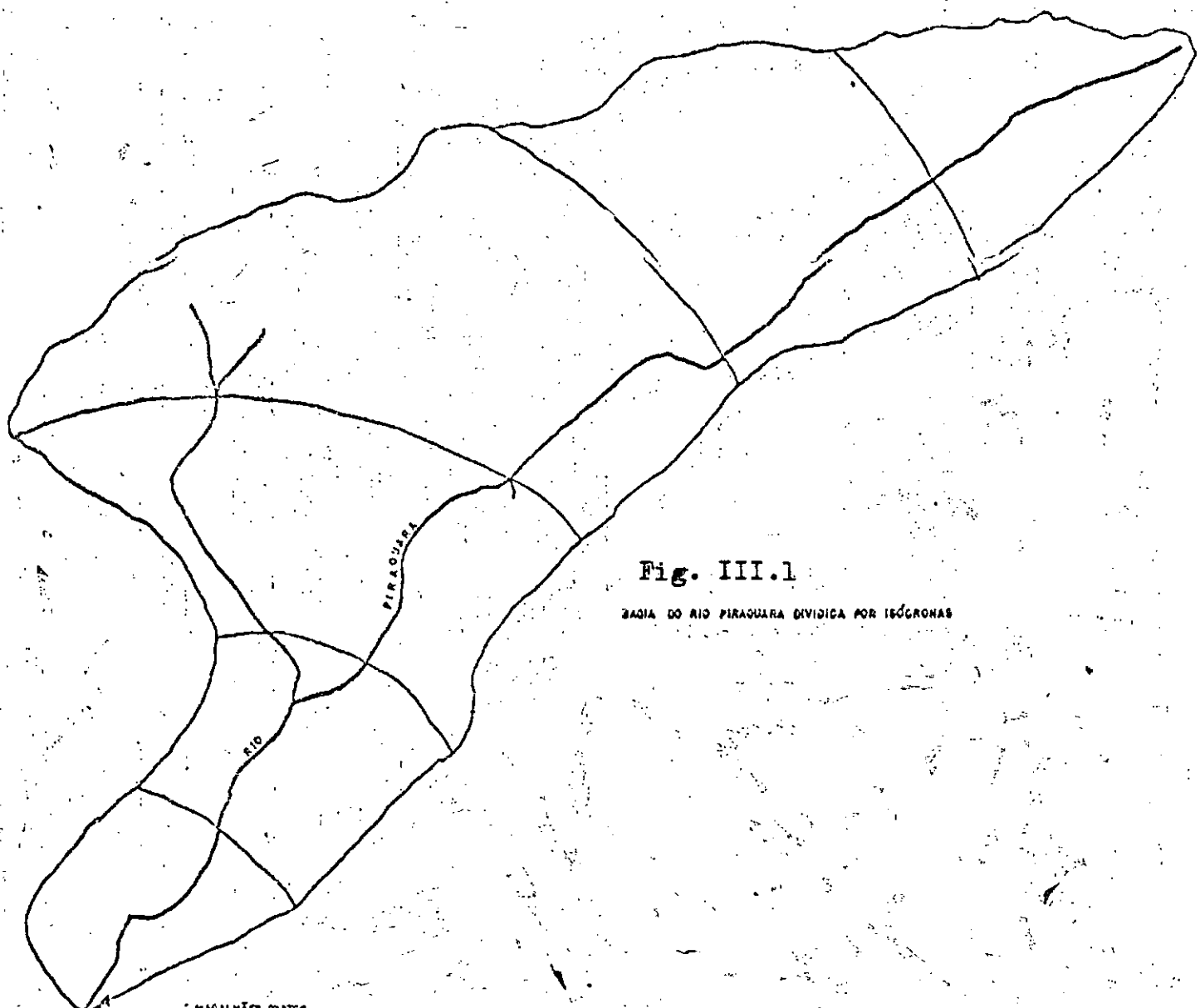


Fig. III.1

BASIN DO RIO PIRAQUARA DIVIDIDA POR ISOCRONAS

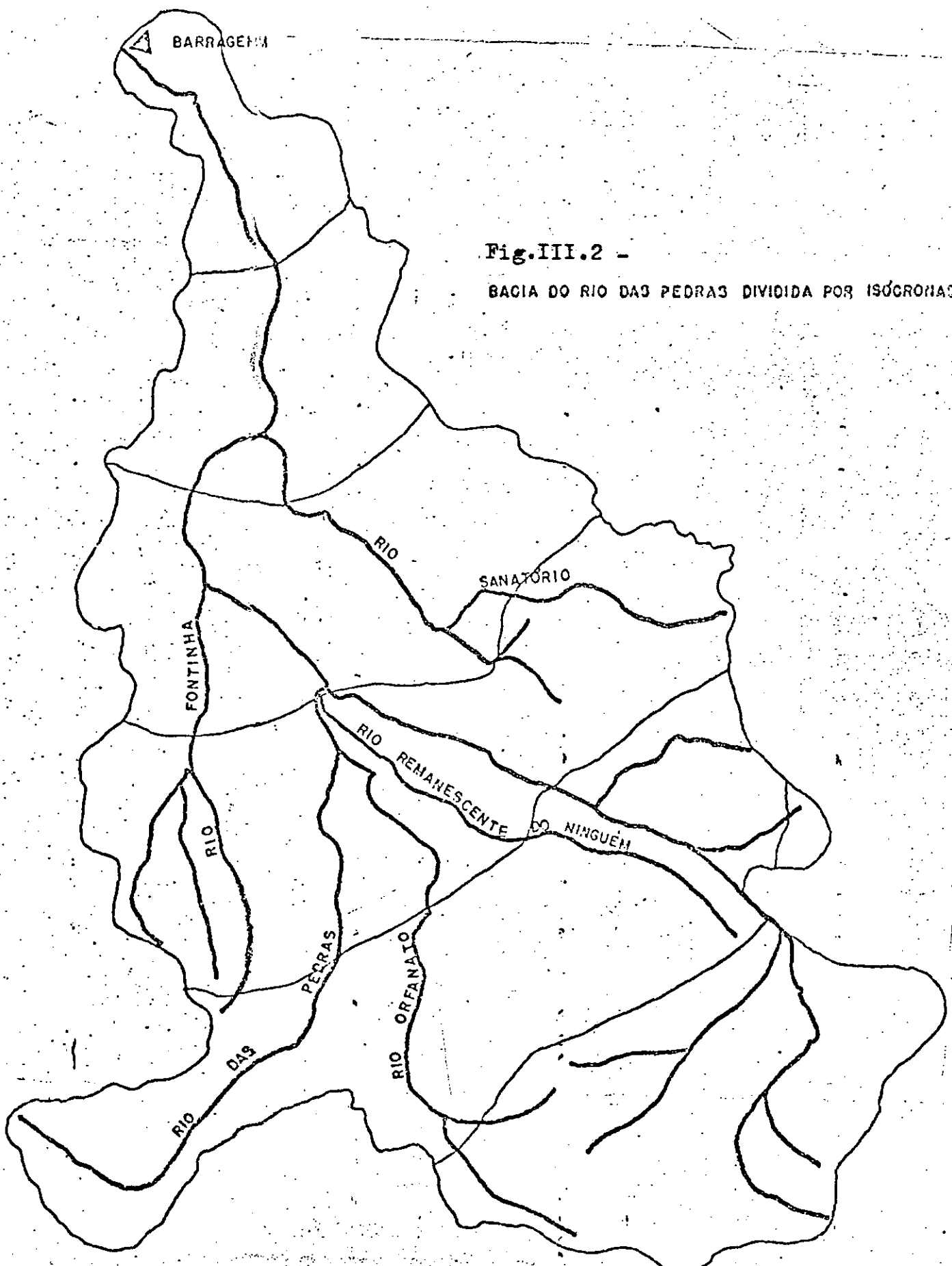


Fig.III.2 -

BACIA DO RIO DAS PEDRAS DIVIDIDA POR ISOCRONAS

### III.3) - Aplicações

As seguintes considerações foram feitas para todos os métodos:

- a) Altura unitária de precipitação efetiva igual a 1 cm.
- b) Separação do escoamento subterrâneo, do escoamento total, pelo método empírico, que considera a descarga básica constante até o pique do escoamento total e linear variável até o fim (vide ítem I.6)
- c) Separação da chuva efetiva, da chuva total, a partir do volume escoado superficialmente, pelo método, também empírico, que considera taxa constante de perdas (vide ítem I.6).

O emprego dos métodos empíricos acima descritos foi feito tendo em vista a consideração de que, para um período de cheia, o volume de escoamento superficial é, geralmente, muito superior ao volume de descarga básica, e pelo fato de não existir método preciso para cálculo da distribuição no tempo, das perdas ocorridas na precipitação e da descarga subterrânea, a partir de dados de precipitação e vazão.

Em geral, para todas as metodologias aplicadas, os programas e, consequentemente os cálculos seguiram o ordenamento indicado e recomendado, para cada uma delas, no Capítulo Além das diversas considerações feitas já citadas, várias outras tiveram lugar nas aplicações dos métodos.

- a) Na derivação de hidrógrafa unitária de menor duração, através da Curva-S foram necessárias sua vizuações nos trechos finais da Curva-S e da hidrógrafa unitária derivada, as quais foram feitas manualmente, passando, uma curva suave entre as ondulações de tal modo que a área sob a curva permanecesse constante. No caso da Curva-S, além disso, na suavização, considerou-se o fato de posuir um patamar de equilíbrio com taxa constante

igual à de precipitação efetiva.

- b) O cálculo dos parâmetros das hidrógrafas unitárias sintéticas foi realizado a partir da hidrógrafa unitária de menor duração derivada pelo método da Curva-S, da hidrógrafa unitária obtida por Sherman.
- c) O elemento considerado fixo para aplicação dos métodos sintéticos, foi o intervalo de tempo até o pique ( $t_A$ ), por ser considerado de menor variação de uma cheia para outra e por sua maior facilidade de cálculo na prática, necessitando apenas de dados linigráficos, sem ser necessária curva-chave da seção analisada.
- d) Para as hidrógrafas unitárias sintéticas de Commons e do Soil Conservation Service foram calculadas ordenadas por apresentarem formas fixas, enquanto para a hidrógrafa unitária sintética de Snyder foram apenas calculados os parâmetros pois as únicas ordenadas fornecidas a partir dos parâmetros, por esta metodologia são: início, máximo e fim da hidrógrafa unitária. Por esses 3 pontos é que se ajustaria manualmente uma curva com volume unitário.
- e) No método do Soil Conservation Service foi utilizada a fórmula empírica de Kirpich para cálculo do tempo de concentração em função do comprimento do curso principal e da sua diferença máxima de altitude; enquanto nos métodos de Clark e Dodge foi usado o método dos momentos de Nash para cálculo do tempo de concentração diretamente a partir dos dados de precipitação efetiva e de escoamento superficial.
- f) No método de O'Donnell foram acrescentados zeros às séries de precipitação efetiva e de escoamento superficial, formando duas séries discretas de igual tamanho, evitando oscilações que ocorreriam nas ordenadas finais da hidrógrafa unitária e que

passam a ocorrer no trecho derivado que será certamente nulo, ficando a hidrógrafa unitária totalmente suave.

- g) No método de Inversão através de Matrizes, são fornecidas inicialmente as precipitações efetivas sendo calculados pelo programa os volumes e fetivos.

Além das considerações feitas, citadas acima, nas aplicações dos métodos, outras de menor importância, também foram empregadas, apenas não foram citadas porque as citações influiriam pouco no entendimento do uso dos métodos estudados.

### III.4) - Análise de Resultados

Através das aplicações das metodologias analisadas às bacias do Rio Piraquara e do Rio das Pedras, foram obtidos resultados que são apresentados na forma de tabelas e gráficos no apêndice deste trabalho, os quais são analisados neste sub-ítem do Capítulo III.

O método do Soil Conservation Service, partindo da consideração de intervalos de tempo iguais entre o início e o pique da hidrógrafa unitária, os valores das descargas máximas (tabela B-2.3 e gráfico B-2.8 para o Rio das Pedras) foram bastante inferiores aos apresentados pelo método de Sherman (tabela B-1.1 e gráfico B-1.5 para o Rio Piraquara - tabela B-2.1 e gráfico B-2.5 para o Rio das Pedras). Isto deve-se, em parte, ao fato dos hidrogramas terem ascensão e recessão muito rápidas, mais que a linear; em virtude de se estar lidando com bacias urbanas com grande área impermeável.

Os valores das ordenadas obtidas pela metodologia de Commons (tabela B-1.5 e gráfico B-1.10 para o Rio Piraquara - tabela B-2.5 e gráfico B-2.10 para o Rio das Pedras), se mostraram largamente diferentes daqueles calculados pelo método de Sherman, dos quais foram derivados (tabela B-1.1 e gráfico B-1.5 para o Rio Piraquara e tabela B-2.1 e gráfico B-2.5 para o Rio das Pedras), sendo aproximadamente iguais apenas as máximas des

cargas para o Rio Piraquara. Dessa diferença pode-se concluir que a forma da hidrógrafa adimensional de Commons não se assemelha à das hidrógrafas unitárias de duração 30 minutos para as cheias consideradas.

Pela análise dos resultados das aplicações da metodologia sintética de Snyder e das suas fórmulas empíricas (tabela B-1.2 e gráfico B-1.7 para o Rio Piraquara - tabela B-2.2 e gráfico B-2.7 para o Rio das Pedras), foi verificado que as equações do tempo total de escoamento superficial e de larguras da hidrógrafa unitária sintética a 50% e 75% do pique (II-17, II-21 e II-22) utilizadas diretamente, fornecem valores exagerados para bacias de pequeno porte, sendo recomendável que seja usada a equação II-18 em substituição à primeira e a correção dos numeradores das duas últimas.

A técnica de Snyder permite o cálculo das coordenadas do pique e igualando-se o tempo de escoamento superficial ao da hidrógrafa unitária de Sherman, foi ajustada curva com área unitária, usando também as larguras a 50% e 75% obtidas pelas fórmulas II-21 e II-22 com numeradores corrigidos (gráfico B-1.7 para o Rio Piraquara - gráfico B-2.7 para o Rio das Pedras). Tendo partido de uma hidrógrafa unitária conhecida, o gráfico da hidrógrafa unitária sintética será lógicamente idêntico ao da hidrógrafa unitária original.

Os resultados apresentados para as hidrógrafas unitárias instantâneas derivadas através de modelos conceituais, estão mostrados no apêndice sob formas distintas. Para o método de Nash é apresentada a curva com área unitária (tabela B-1.8 e gráfico B-1.13 para o Rio Piraquara - tabela B-2.8 e gráfico B-2.13 para o Rio das Pedras) enquanto para os outros dois, Clark (tabela B-1.6 e gráfico B-1.11 para o Rio Piraquara e tabela B-2.6 e gráfico B-2.11 para o Rio das Pedras) e Dooge (tabela B-1.9 e gráfico B-1.15 para o Rio Piraquara; 3 sub-áreas - tabela B-2.9 e gráfico B-2.15 para o Rio das Pedras; 3 sub-áreas - tabela B-1.10 e gráfico B-1.17 para o Rio Piraquara; 6 sub-áreas e tabela B-2.10 e gráfico B-2.17 para o Rio das Pedras; 6 sub-áreas), são apresentadas as ordenadas já com unidade de vazão,  $m^3/s$ , que são usadas diretamente na derivação da hidrógrafa unitária de período finito.

As hidrógrafas de período finito obtidas por modelos conceituais apresentaram formas diferentes (Clark, gráfico B-1.11 para o Rio Piraquara e gráfico B-2.11 para o Rio das Pedras - Nash, gráfico B-1.14 para o Rio Piraquara e gráfico B-2.14 para o Rio das Pedras - Dooge, gráfico B-1.16 para o Rio Piraquara e gráfico B-2.16 para o Rio das Pedras, 3 sub-áreas; e gráfico B-1.18 para o Rio Piraquara, gráfico B-2.18 para o Rio das Pedras, 6 sub-áreas) para a mesma bacia, o que já era esperado por partirem, suas teorias, de considerações diferentes. O método que é considerado uma generalização dos outros dois, Dooge, foi aplicado duas vezes para cada bacia, usando 3 e 6 reservatórios ou sub-áreas. Para que ocorresse coincidências de resultados do método de Dooge com os de Nash e Clark seria necessário que se usasse nas aplicações casos particulares, tais como no caso de Nash consideração da inexistência de translação e no caso de Clark um único reservatório linear.

Para os métodos de análise direta de sistema linear e invariante no tempo, O'Donnell (tabela B-1.11 e gráfico B-1.19) para o Rio Piraquara e tabela B-2.11 e gráfico B-2.19 para o Rio das Pedras) e Inversão através de Matrizes (tabela B-1.13 e gráfico B-1.19 para o Rio Piraquara - tabela B-2.13 e gráfico B-2.19 para o Rio das Pedras) foram obtidos resultados praticamente iguais, o que deve ocorrer sempre, para chuvas simples, segundo Nash (1957).

## CAPÍTULO IV

## CONCLUSÕES E RECOMENDAÇÕES

Nos capítulos anteriores foram citadas conclusões e recomendações a respeito de cada método em particular e de conjuntos de metodologias de acordo com o tipo de abordagem ou finalidade. Neste capítulo serão mostradas conclusões e recomendações relativas à técnica da hidrógrafa unitária sob a forma global, além de revisão e ampliação daquelas anteriormente apresentadas.

Entre as conclusões obtidas da análise:

- 1) Apesar das suposições básicas da teoria da hidrógrafa unitária, linearidade e invariância no tempo, não estarem estritamente corretas; nos dias atuais a premissa de operação linear é o melhor caminho, em métodos práticos, pois as técnicas lineares são simples, bem desenvolvidas e com resultados aceitáveis para propósito de engenharia.
- 2) A qualidade de projetos em que se utilize hidrógrafa unitária depende em grande parte dados a partir dos quais esta foi definida.
- 3) A dispersão dos resultados obtidos pelos diferentes métodos neste trabalho mostra que podem surgir grandes erros caso não haja uma criteriosa escolha e utilização do método que melhor se adapte à bacia e à duração da cheia analisada.
- 4) Os métodos de cálculo de hidrógrafa unitária são adaptáveis ao computador eletrônico.
- 5) A equação de Snyder para tempo de escoamento superficial (II-17) não é adequada para pequenas bacias.
- 6) As equações do U.S.Army (II-21 e II-22) para cálculo da largura de hidrógrafa unitária a 50% e

75% do pique, em função da descarga pique não são válidas para bacias de pequeno porte, como as analisadas.

- 7) O método de Dooge é o que apresenta maior flexibilidade, entre os métodos analisados, enquanto o de Inversão através de Matrizes, a partir de dados de precipitação e escoamento fornece a mais precisa solução linear.
- 8) O método de Sherman tem validade apenas para cheias com precipitação próximamente uniforme.
- 9) O método do U.S. Conservation Service é de difícil aplicação para bacias com grande área impermeável pois a substituição da hidrógrafa unitária real por uma triangular acarreta grande erro.
- 10) O método de Commons é aplicável apenas para um pequeno grupo de bacias, cujo hidrograma de escoamento superficial se assemelhe ao diagrama adimensional de Commons.
- 11) Os métodos de análise linear, de O'Donnell e de Inversão através de Matrizes fornecem mesmos resultados para hidrógrafas unitárias obtidas a partir de cheias com chuva simples.

As recomendações mais importantes para um melhor uso das metodologias seriam:

- 1) A escolha do método deve ser feita, sempre que possível, através da aplicação a dados registrados na bacia estudada, além de levar em conta os princípios básicos das metodologias.
- 2) No caso de inexistência de dados suficientes para aplicação da metodologia, como ocorre principalmente para bacias de menor porte é recomendável a instalação de aparelhos na região de estudo durante período que permita conclusões que levem à hidrógrafa unitária mais adequada.

- 3) É interessante que as hidrógrafas unitárias representativas das bacias sejam obtidas a partir de vários períodos de cheia, procurando-se uma média dos resultados obtidos para cada um deles.
- 4) Verificar se as áreas das hidrógrafas unitárias instantâneas e de período finito obtidas têm área unitária.
- 5) Desenvolvimento por pesquisadores de técnicas mais precisas de estimação da distribuição no tempo da descarga subterrânea numa seção eda precipitação efetiva.

## B I B L I O G R A F I A

- 1 - Barnes, B.S.  
"Unitgraph procedures"  
U.S. Bureau of Reclamation Hydrology Branch. Denver  
- U.S.A., 1952
- 2 - Bernard, M.M.  
"An approach to determinate streamflow"  
ASCE Transactions  
Vol. 100, 1935
- 3 - Chow, V.T.  
"Handbook of applied hydrology"  
Mc Graw - Hill Book Co., New York, 1964
- 4 - Clark, C.O.  
"Storage and the unit hydrograph"  
ASCE - Transactions  
Vol. 110, 1945
- 5 - Collins, W.T.  
"Runoff distribution graphs from precipitation  
occurring in more than one time unit"  
Civil Engineering  
Vol. 9 - N° 9, 1939
- 6 - Committee on Floods,  
"Report of the Committee on Floods"  
Journal Boston Society of Civil Engineers  
Vol. 17 - N° 7, 1939
- 7 - Commons, G.G.  
"Flood hydrographs"  
Civil Engineering  
Vol. 12 - N° 10, 1942

- 8 - Diskin, M.H.  
"Evaluation of segmented IUH from derivatives"  
Journal of the Hydraulics Division, ASCE  
Vol. 95 - H Y 1, 1969
- 9 - Dooge, J.C. I.  
"A general theory of the unit hydrograph"  
Journal of Geophysical Research  
Vol. 64 - Nº 2, 1959
- 10 -  
"Linear theory of hydrologic systems"  
Technical Bulletin Nº 1468, United  
States Department of Agriculture, 1973
- 11 - Eagleson, P.S. - Mejia, R. e March, F.  
"Computation of optimum realizable unit hydrographs"  
Water Resources Research  
Vol. 2 - Nº 4, 1966
- 12 - Johnstone, D. e Cross, W.P.  
"Elements of applied hydrology"  
The Ronald Press Co., New York, 1949
- 13 - Lanczos, C.  
"Applied analysis"  
Prentice Hall, Englewood Cliffs, N.J., 1957
- 14 - Linsley, R.K. Jr.  
"Application of the synthetic unit - graph in the  
western mountain states"  
American Geophysical Union - Transactions  
Vol. 24, 1943
- 15 - Linsley, R.K. Jr., Kohler, M.A. e Paulhus, J.L.H.  
"Applied hydrology"  
McGraw Hill Book Company, New York, 1949

16 -

---

"Hydrology for Engineers"

McGraw Hill Book Company, New York, 1958

17 - March, F. e Eagleson P.S.

"Approaches to the linear synthesis of urban runoff systems"

Massachusetts Institute of Technology

Hydrodynamics Lab. Report - N° 85, 1965

18 - McCarthy, G.T.

"The unit hydrograph and flood routing"

Conference of North Atlantic Division Corps of Engineers, 1938

19 - Mitchell, W.D.

"Unit hydrograph in Illinois"

U.S.G.S. and State of Illinois

Dept. of Public Work and Bldgs, 1948

20 - Mockus, V.

"Use of storm and watershed characteristics in synthetic hydrograph analysis and application"  
U.S. Soil Conservation Service, 1957

21 - Morgan, R. e Hullinghort, D.W.,

"Unit hydrographs for gaged and ungaged watersheds",  
U.S. Engineering Office, julho, 1939

22 - Nash, J.E.

"The form of the instantaneous unit hydrograph"  
IAHS - General Assembly of Toronto  
Publ. 45, 1957

23 -

---

"Systematic determination of unit hydrograph parameters"

Journal of Geophysical Research

Vol. 64 - N° 1, 1959

24 - Nash, J.E.

"A note on an investigation into two aspects of the relations between rainfall and storm runoff"  
IASH publication N° 51, 1960

25 -

"Applied Flood hydrology"  
River Engineering and Water Conservation Work -  
THORN, 1966

26 -

"The role of parametric hydrology"  
Journal of the Institution of Water Engineers  
Vol. 21 - N° 6, 1967

27 - Newton, D.W. e Vinyard, J.W.

"Computer determined unit - hydrograph from floods"  
Journal of the Hydraulic Division, ASCE  
Vol. 93 - HY5, 1967

28 - O'Donnell, T.

"Instantaneous unit hydrographs by harmonic analysis"  
IASH - Publication N° 51, 1960

29 - O'Kelly, J.J.

"The employment of unit hydrographs to determine the flow of Irish arterial drainage channels"  
Proceedings - Institution of Civil Engineers  
Vol. 4, 1955

30 - Sherman, L.K.

"Streamflow from rainfall by unitgraph method"  
Engineering News Record  
Vol. 108, 1932

- 31 - Sherman, L.K.  
"The unit hydrograph method"  
Hydrology - O.E. Meinzer-Dover Publications,  
New York, 1949
- 32 - Singh, K.P.  
"Non-linear instantaneous unit-hydrograph theory"  
Proceedings, ASCE  
Vol. 90 HY2, 1964
- 33 - Snyder, F.F.  
"Synthetic unit graphs"  
American Geophysical Union - Transacions  
Vol. 19 - Part 2, 1938
- 34 -  
Discussão de "Application of synthetic unit-graphs  
in the western mountain states", de R.K. Linsley  
American Geophysical Union - Transactions  
Vol. 24, 1943
- 35 - Snyder, W.M.  
"Hydrograph analysis by the method of least squares"  
ASCE - Proceedings  
Vol. 81, Artigo 793, 1955
- 36 -  
"Matrix operations in hydrograph computations"  
Tennessee Valley authority  
Res. Paper 1 - Knoxville
- 37 - SURSAN e Sondotécnica  
"Anteprojeto de macro-drenagem da bacia do rio  
Acari", 1973

- 38 - Taylor, A.B. e Schwartz, H.E.  
"Unit hydrograph lag and peakflow related  
to basin characteristics"  
American Geophysical Union-Transactions, 1952
- 39 - TNO  
"Recent trends in hydrograph synthesis"  
Proceeding of Technical Meeting 21, 1966
- 40 - U.S. Army Corps of Engineers  
"Engineering Manual"  
Hydrologic and hydraulic analyses, Office, Chief of  
Engineers, 1948
- 41 - \_\_\_\_\_  
"Unit hydrograph"  
Civil Works Investigations, Project  
152, Maryland, 1963
- 42 - U.S. Soil Conservation Service  
"Hydrology guide for use in watershed planning"  
Nat. Engr. Handbook - Sec. 4  
Hydrology Suppl. A, 1957
- 43 - Williams, H.M.  
Discussão de "Design of drainage facilities"  
ASCE - Transactions  
Vol. 110, 1945

A P E N D I C E

APENDICE A  
PROGRAMAS  
E  
MANUAL DE USO

```

***** PROGRAMA PRINCIPAL *****
C      PROGRAMA PRINCIPAL
C          SHERMAN
C          CURVA-S
C          HIDROGRAFAS UNITARIAS SINTETICAS
*****
C      FINALIDADES
C      CALCULO DA HIDROGRAFA UNITARIA
C      DERIVACAO DE HIDROGRAFAS UNITARIAS DE MENOR DURACAO
C      PROGRAMA PRINCIPAL PARA METODOS SINTETICOS
***** NOMENCLATURA *****
C Q = DESCARGAS OBSERVADAS
C QB= DESCARGA BASE ESTIMADA
C ES= ESCOAMENTO SUPERFICIAL
C HU= HIDROGRAFA UNITARIA
C S = CURVA-S
C N= NUMERO DE OBSERVACOES
C SA= CURVA-S AJUSTADA
C HUM= HIDROGRAFA UNITARIA DERIVADA
C DA= INTERVALO ENTRE OBSERVACOES
C DB=DURACAO DA HIDROGRAFA UNITARIA
C AR= AREA DE DRENAGEM DA BACIA
C K= POSICAO DO PIQUE NA HIDROGRAFA
C A= VOLUME CORRESPONDENTE AS VAZES TOTAIS
C B= VOLUME CORRESPONDENTE AS DESCARGAS BASICAS
C C= VOLUME CORRESPONDENTE AOS ESCOAMENTOS SUPERFICIAIS
C D= VOLUME CORRESPONDENTE AS VAZES DA HIDROGRAFA UNITARIA
C T= ALTURA DE CHUVA CORRESPONDENTE AO VOLUME A
C V= ALTURA DE CHUVA CORRESPONDENTE AO VOLUME B
C X= ALTURA DE CHUVA CORRESPONDENTE AO VOLUME C
C Z= ALTURA DE CHUVA UNITARIA
*****
C      DIMENSIN Q(300),QB(300),ES(300), HUC(300),S(300),SA(300),
C      1HUM(300),HUMB(300),HUMC(300),U(300),HUMC(300),SU(300),
C      1 SE(300),UH8(300),XX(300),KJ(300),HIT(50),HUCOM(30),
C      1-LABEA(2),LABEB(20),LABEC(20)
C      LEITURA DO TITULO
        READ(8,71) LABEA,LABEB,LABEC
71 FORMAT(20A4)
C      LEITURA DE DADOS
        READ(8,1) N,K,DA,DB,AR
1 FORMAT(2I3,3F7.0)
        READ(8,2)(Q(I),I=1,N)
2 FORMAT(9F8.0)
C      OBTENCAO DA DESCARGA BASE
        DO 3 I=1,K
        QB(I)=Q(1)
3 CONTINUE
        X=(Q(N)-Q(1))/(N-K)
        DO 4 I=2,N

```

```

        Q8(I)=Q(1)+(I-K)*X
4 CONTINUE
C CALCULO DO ESCOAMENTO SUPERFICIAL
DO 5 I=1,N
ES(I)=Q(I)-Q8(I)
5 CONTINUE
C OBTENCAO DE VOLUMES E ALTURAS DE PRECIPITACAO
A=3
B=0
C=0
C FATOR PARA TRANSFORMACAO DE VOLUME EM ALTURA DE PRECIPITACAO
H=(36*DA)/(100*AR)
C CALCULO DE VOLUMES
DO 6 I=1,N
A=A+Q(I)
B=B+Q8(I)
C=C+ES(I)
6 CONTINUE
C TRANSFORMACAO EM ALTURAS
T=A*H
V=B*H
X=C*H
C OBTENCAO DA HIDROGRAFA UNITARIA
DO 7 I=1,N
HU(I)=ES(I)/X
7 CONTINUE
D=0
DO 8 I=1,N
D=D+HU(I)
8 CONTINUE
Z=D*H
C INSTANTES OBSERVADOS
DO 24 I=1,N
KJ(I)=(I-1)*DA
24 CONTINUE
C IMPRESSAO DO TITULO
WRITE(5,73)
73 FORMAT( 20X,10('*****'))
    WRITE(5,72) LABEA,LABEB,LABEC
    WRITE(5,73)
C IMPRESSAO DA TABELA DE CALCULO DA HIDROGRAFA UNITARIA
WRITE(5,17) DB
17 FORMAT(/,23X,'CALCULO DA HIDROGRAFA UNITARIA (T=',  

     1F4.1,'H.)')
    WRITE(5,21)
21 FORMAT(/,70X,'UNIDADE = M3/S',/)
    WRITE(5,15)
15 FORMAT(/,15X,'INST.',3X,'HIDROGRAFA',7X,'DESCARGAS',8X,  

     1'ESCOAMENTO',7X,'HIDROGRAFA')
    WRITE(5,16)

```



73

```

16 FORMAT( 23X, "OBSERVADA", 9X, "DE BASE", 9X, "SUPERFICIAL", 6X,
1"UNITARIA", / )
DO 11 I=1,N
    WRITE(5,12) XJ(I), Q(I), QB(I), ES(I), HU(I)
12 FORMAT(15X, "5.1", 4X, 4(F7.2,10X))
11 CONTINUE
    WRITE(5,13) DA,A,B,C,D
13 FORMAT(/, 6X, "VOLUMES", F3.0, "H-M3/S", 4(F8.2,9X))
    WRITE(5,19)
19 FORMAT(/)
    WRITE(5,14) T,V,X,Z
14 FORMAT(5X, "ALTURAS ( CN. )", 5X, 4(F5.2,12X))
C GRAFICOS - VAZÕES E HIDROGRAFA UNITARIA
    WRITE(5,20)
20 FORMAT('1')
72 FORMAT(20X, 20A4)
    WRITE(5,20)
    WRITE(5,73)
    WRITE(5,72) LABEA, LABEB, LABEC
    WRITE(5,73)
    WRITE(5,19)
    WRITE(5,100)
100 FORMAT(55X, "HIDROGRAMA")
    WRITE(5,21)
    CALL GRAFC(N, Q, DA)
    WRITE(5,20)
    WRITE(5,73)
    WRITE(5,72) LABEA, LABEB, LABEC
    WRITE(5,73)
    WRITE(5,81) DB
81 FORMAT(//, 25X, "HIDROGRAFA UNITARIA=(T*, F4.1, *H*)", //)
    WRITE(5,21)
    CALL GRAFC(N, HU, DA)
    CALL SCURV(DA, DB, HU, S, N, KKK)
    WRITE(5,20)
    WRITE(5,73)
    WRITE(5,72) LABEA, LABEB, LABEC
    WRITE(5,73)
    WRITE(5,116)
116 FORMAT(/// 35X, "GRAFICO DA CURVA-S", /// )
    CALL GRAFC(KKK, S, DA)
    CALL HU(DA, DB, DC, N, S, SA, HUM, HUMA, KIK, KKK)
    WRITE(5,20)
    WRITE(5,73)
    WRITE(5,72) LABEA, LABEB, LABEC
    WRITE(5,73)
    WRITE(5,119) DC
119 FORMAT(/// 27X, "GRAFICO DA HIDROGRAFA UNITARIA DERIVADA
1SUAVIZADA (T*, F4.1, *H*)", /// )
    CALL GRAFC(KKK, HUMA, DA)

```

```

CALL SNYDERCHUMA,DA,DC,AR,KIK,KMAX,      LABEB,LABEC,Q,QB,ES
1,XJ)
CALL SCSCHUMA,DA,DC,AR,KIK,KMAX,HIT,LABEB,LABEC,Q,QB,ES,XJ)
CALL COMMONCHUMA,DA,DC,AR,KIK,KMAX,HUCOM,LABEB,LABEC,Q,QB,
1ES,XJ)
WRITE(5,20)
WRITE(5,73)
WRITE(5,72) LABEA,LABEB,LABEC
WRITE(5,73)
WRITE(5,19)
WRITE(5,131)
131 FORMAT(30X,"DERIVACAO DE HIDROGRAFA UNITARIA - CURVA-S",//)
1 )
WRITE(5,111)
111 FORMAT("// ,50X,"JNIDADE = M3/S",/   )
WRITE(5,112)
112 FORMAT("// ,20X,"HIDROGRAFA",8X,"CURVA-S",8X,"CURVA-S",8X,
1"HIDROGRAFA",8X,"HIDROGRAFA", //,21X,"UNITARIA",23X,
1"SUAVIZADA",8X,"UNITARIA",13X,"UNITARIA", //,86X,"SUAVIZADA")
WRITE(5,113) DB,DC,DC
113 FORMAT(20X,"(T=",F4.1,"H.)",,38X,"(T=",F4.1,"H.)",,8X,"(T=",,
1F4.1,"H.)",,/   )
DO 114 I=1,KKK
WRITE(5,115) HU(I),S(I),SA(I),HUMC(I),HUMAC(I)
115 FORMAT(18X,F10.2,11X,F5.2,11X,F5.2,6X,F10.2,8X,F10.2)
116 CONTINUE
CALL EXIT
END

```

SUBROUTINE SCURV(DA,DB,HU,S,N,KKK)

C\*\*\*\*\*  
C OBTENCAO DA CURVA-S  
C\*\*\*\*\*

```
DIMENSION S(300),HJ(300),HUM(300)
L=DB/DA
DO 9 I=1,L
S(I)=HUI(I)
9 CONTINUE
KKK=L+N
J=L+1
IK=N+1
DO 40 I=IK,KKK
HUI(I)=0
40 CONTINUE
DO 10 I=J,KKK
M=I-L
S(I)=HUI(I)+S(M)
10 CONTINUE
RETURN
END
```

76

```

SUBROUTINE HUDDCA,DB,DC,N,S,SA,HUM,HUMA,KIK,KKK)
C***** DERIVACAO DE HIDROGRAFA UNITARIA DE MENOR DURACAO
C***** DIMENSIIN S(300),HJ(300),HUM(300),SA(300),HUMA(300)
READ(8,1) DC
1 FORMAT(F3.0)
READ(8,2) (SA(I),I=1,KKK)
2 FORMAT(9F8.0)
WRITE(5,20)
20 FORMAT('1')
WRITE(5,117)
117 FORMAT(//, '35X, *GRAFICO DA CURVA-S SUAVIZADA'//)
CALL GRAFC(KKK,SA,DA)
WRITE(5,20)
JL=DC/DA
L=08/03
DO 25 I=1,JL
HU1(I)=L*SA(I)
25 CONTINUE
JJ=JL+1
DO 27 I=JJ,KKK
HU1(I)=L*(SA(I)-SA(I-JL))
27 CONTINUE
WRITE(5,118) DC
118 FORMAT(//, '30X, *GRAFICO DA HIDROGRAFA UNITARIA DERIVADA
(T=',
1F4.1, 'H,) ', //)
CALL GRAFC(KKK,HUM,DA)
READ(8,2) (HUMA(I),I=1,KKK)
READ(8,11) KMAX
11 FORMAT(I3)
KIK= N- ((DB-DC)/DA)
RETURN
END

```

SUBROUTINE SNYDER (HU,DA,DB,AR,N,K,LABEB,LABEC,Q,QB,ES,XJ)

```
*****
C SUBROTINA PARA CALCULO DOS COEFICIENTES DE SNYDER A PARTIR
C DE HIDROGRAFA UNITARIA JA OBTIDA, PARA OBTENCAO DE
C *****NOMENCLATURA*****
C BACIA CONSIDERADA SEMELHANTE
C HIDROGRAFAS UNITARIAS SINTETICAS PARA MESMA BACIA OU
C HU= HIDROGRAFA UNITARIA OBTIDA ANTERIORMENTE
C DA= INTERVALO ENTRE OBSERVACOES
C DB= DURACAO DO EXCESSO DE PRECIPITACAO
C AR= AREA DE DRENAGEM DA BACIA
C XL= DISTANCIA DO PONTO CONSIDERADO AO DIVISOR, AO LONGO DO
C CURSO PRINCIPAL
C XA= DISTANCIA DO PONTO CONSIDERADO A PROJECAO DO CENTRO DE
C GRAVIDADE DA BACIA SOBRE O CURSO PRINCIPAL
C CT E CP= COEFICIENTES DE SNYDER
C KONT= INDICADOR DO TIPO DE UNIDADE
*****
```

```
DIMENSION HU(90),SJBS(90)
1 LABEB(20),LABEC(20),LABEX(20)
1 Q(300),QB(300),ES(300),XJ(300)
K=4
```

```
C LEITURA DO TITULO
READ(8,71) LABEX
71 FORMAT(20A6)
    READ(8,1) KONT,XLA,XL
1 FORMAT(13,2F8.0)
C TRANSFORMACAO DE UNIDADES
    IF(KONT) 2,3,6
3 XL=XL/1.609344
    XLA=XLA/1.609344
    AR=AR/2.58999
    DO 5 I=1,K
        HU(I)=HJ(I)/0.028317
        SUBS(I)=HU(I)
5 CONTINUE
6 CONTINUE
C CALCULO DO VALOR DO PIQUE
    DO 22 I=1,K
        SUBS(I)=HUC(I)
22 CONTINUE
    DO21 I=1,K
        DO 7 J=1,K
            IF(I-J) 8,8,7
8 IF(HUC(I)-HUC(J)) 9,7,7
9 ATEMP=HUC(J)
        HUC(J)=HUC(I)
        HUC(I)=ATEMP
7 CONTINUE
21 CONTINUE
```

```

DO 10 I=1,K
IF(SUBS(I)=HUC(1)) 10,11,11
10 CONTINUE
C CALCULO DOS PARAMETROS
11 TA=(I-1)*DA
TPR=(TA-DB/2)
TP=(22*(TPR-(DB/6)))/21
CT=TP/((CL*(LA)+0.3))
AQPR=HUC(1)
QPR= AQPR/AR
CP=(QPR+TPR)/640
T= 3+(3*TPR)/24
IF(K)NT) 2,13,14
13 CONTINUE
AR=AR*2.58999
XL=XL*1.609344
XLA=XLA*1.609344
OPR=(QPR*0.028317)/2.5899
AQPR= AR* 0.028317
DO 24 I=1,K
SUBS(I)=SUBS(I)*0.028317
24 CONTINUE
C IMPRESSAO DOS RESULTADOS
WRITE(5,4)
4 FORMAT('1')
5 WRITE(5,73)
73 FORMAT(20X,10('*****'))
WRITE(5,72) LABEX,LABEB,LABEC
72 FORMAT(20X,20A4)
WRITE(5,73)
WRITE(5,15) AR,XL,XLA
15 FORMAT(/,25X,'A =',F8.2,1X,'KM2 ',5X,'L =',F8.2,1X,'KM.',/
1 '5X,'LA =',F8.2,1X,'KM.',/)
WRITE(5,16) TP,TPR,T
16 FORMAT(/,25X,'TP =',F8.2,1X,'HS.',5X,'TPR=',F8.2,1X,'HS./
1 '5X,'T =',F8.2,1X,'KM.',/)
WRITE(5,17) QPR,AQPR
17 FORMAT(/,25X,'QPR=',F8.2,1X,'M3/S/KM2',5X,'AQPR=',F8.2,1X,
1 'M3/S',/)
GO TO 20
20 WRITE(5,4)
21 WRITE(5,12)
12 FORMAT(/,25X,'COEFICIENTES DE SNYDER',/)
14 WRITE(5,25) AR,XL,XLA
25 FORMAT(/,25X,'A =',F8.2,1X,'SQ.MI.',5X,'L =',F8.2,1X,
1 'MI.',5X,'LA =',F8.2,1X,'MI.',/)
WRITE(5,26) TP,TPR,T
26 FORMAT(/,25X,'TP =',F8.2,1X,'HRS.',5X,'TPR=',F8.2,1X,
1 'RS.',5X,'T =',F8.2,1X,'DAYS',/)
WRITE(5,27) QPR,AQPR

```

```
27 FORMAT(//,25X,'QPR=',F8.2,'CFS/SQ.MI.',5X,'AQPR=',F8.2,1X,  
1'CFS ',/ )  
23 CONTINUE  
  WRITE(5,19)  
19 FORMAT(//,30X,'COEFICIENTES DE SNYDER',/ )  
  WRITE(5,18) CT,CP  
18 FORMAT(//,20X,'CT=',F8.2,15X,'CP=',F8.2,/ )  
2 CONTINUE  
 0023 I=1,N  
  HU(I)=SJBS(I)  
23 CONTINUE  
  RETURN  
  END
```

```

SUBROUTINE SCSSCHU,DA,DB,AR,N,K,HIT,LABEB,LABEC,Q,QB,ES,XJ
C*****CALCULO DA HIDROGRAFA UNITARIA TRIANGULAR
C*****METODO DO SOIL CONSERVATION SERVICE
C*****NOMENCLATURA*****
C   N= NUMERO DE OBSERVACOES
C   TP= TEMPO ATÉ O PIQUE
C   T= INTERVALO DE TEMPO TOTAL
C   QP= VAZAO MAXIMA DA HIDROGRAFA UNITARIA
C   TR= TEMPO DE PRECIPITACAO EFETIVA
C   V= VOLUME UNITARIO PRECIPITADO
C   HU = HIDROGRAFA UNITARIA BASE
C   TC= TEMPO DE CONCENTRACAO - KIRPICH
C   ALFA E HI = PARAMETROS DA HIDROGRAFA UNITARIA TRIANGULAR
C   HUT= HIDROGRAFA UNITARIA TRIANGULAR
C   AL = DIFERENCA TOTAL DE COTA DO CURSO PRINCIPAL
C   H= COMPRIMENTO DO CURSO PRINCIPAL
C*****DIMENSÃO HJ(50),HIT(50),SUBS(50),HUT(50)
C*****1,AEBE(20),LABEC(20),LABEX(20)
C*****1,Q(300),QB(300),ES(300),XJ(300)

C LEITURA DO TITULO
      READ(8,P1) LABEX
 71 FORMAT(20A4)
      READ(8,I1) AL,H,KONT
  I FORMAT(2F5.0,I2)
C KONT=0 - COMPRIMENTO EM KM E DIFERENCA DE ELEVACAO EM M
C KONT=1 - COMPRIMENTO EM MI E DIFERENCA DE ELEVACAO EM FT
C CALCULO DO VOLUME UNITARIO
      IF(KONT)4,2,3
  2 V=AR*10000
      GO TO 5
  3 V=AR*2323200
  5 CONTINUE
C CALCULO DO TEMPO TOTAL
      T=(N-1)*DA
C CALCULO DA DESCARGA PIQUE
      QP=2*V/(T*3500)
      TR=DB
      DO 22 I=1,N
      SUBS(I)=HUC(I)
 22 CONTINUE
      DO 21 I=1,N
      DO 7 J=1,N
      IF(I-J)9,8,7
  8 IF(HU(I)-HU(J)) 9,7,7
  9 ATEMP=HJ(J)
      HU(J)=HJ(I)
      HU(I)=ATEMP

```



```
7 CONTINUE
21 CONTINUE
  DO 10 I=1,N
  IF(SJBS(I)=HUC(1)) 10,11,11
10 CONTINUE
11 TP=(I-1)*DA
  K=I-1
C   CALCULO DO TEMPO DE CONCENTRACAO
  IF(K>VT) 4,12,13
12 AL=AL*0.62137
  H=H*3.2308
13 XI=(11.9*AL**3)/H
  TC=XI**0.385
C   CALCULO DOS PARAMETROS DA HIDROGRAFA UNITARIA TRIANGULAR
  ALFA=(T**2-0.5*TR)/TC
  HH=T/(T**2+TR/23)-1
  IF(K>VT) 4,17,18
17 AL=AL/0.62137
  H=H/3.2308
18 CONTINUE
  DO23 I=1,N
  HUC(I)=SJBS(I)
23 CONTINUE
C   IMPRESSAO DOS RESULTADOS
  WRITE(5,80)
  WRITE(5,73)
  WRITE(5,72) LABEX,LABEB,LABEC
72 FORMAT(20X,20A4)
  WRITE(5,73)
73 FORMAT( 20X,10('*****'))
  IF (KONT) 4,14,4
14 L=L/0.62137
  H=H/3.2308
  DO 15 I=1,K
  HUT(I)= QP*I/K
15 CONTINUE
  DO 16 I=K,N
  HUT(I)=QP*(N-I)/(N-K)
16 CONTINUE
  HIT(1)=0
  M=N+1
  DO 6 I=2,M
  HIT(I)=4UT(I-1)
6 CONTINUE
  WRITE(5,74) TF,TP,T
74 FORMAT(//,15X,'TR=',F8.2,'H0.',10X,'TP=',F8.2,'H0.',10X,
  1,'T=',F8.2,'H0.',//)
  IF(KONT) 4,91,92
91 WRITE(5,96) AL,H,TC
96 FORMAT( //,15X,'AL=',F8.2,'KN',10X,'H=',F8.2,'M.',10X,
```

```
1*TC=*,F3.2,// )
GO TO 93
92 WRITE(5,95) AL,H,TC
95 FORMAT(// ,15X,"TR=",F8.2,"MI.",,10X, "H=",F8.2,"FT.",,10X,
1*TC=*,F3.2,"H.",// )
93 CONTINUE
WRITE(5,96)
96 FORMAT(//,20X,"PARAMETROS DA HIDROGRAFA UNITARIA TRIANGULAR"
1,// )
WRITE(5,97) ALFA,HH
97 FORMAT( // ,15X,"ALFA=", F8.2,15X,"HH=",F8.2,// )
WRITE(5,30)
B3 FORMAT("1")
WRITE(5,77) DB
77 FORMAT(//,23X,"CALCULO DA HIDROGRAFA UNITARIA (T=",,
1F4.1,"HRS.") )
WRITE(5,31)
B1 FORMAT(//,70X,"UNIDADE = M3/S",/)
WRITE(5,75)
75 FORMAT(//,15X,"INST.",,3X
1,"HIDROGRAFA",,7X,"DESCARGAS",,8X,"ESCOAMENTO",,7X,
1" HIDROGRAFA",,7X,"HIDROGRAFA")
WRITE(5,76)
76 FORMAT( //,23X,"OBSERVADA",,9X,"DE BASE",,9X,"SUPERFICIAL",,7X,
1"UNITARIA",,9X,"UNITARIA")
WRITE(5,82)
B2 FORMAT(75X,"SHERMAN",,9X,"TRIANGULAR",/)
DO 78 I=1,N
WRITE(5,79) XJ(I),Q(I),QBC(I),ES(I),HU(I),HIT(I)
79 FORMAT(15X,F5.2,4X,5(F7.2,1)X)
78 CONTINUE
6 CONTINUE
WRITE(5,80)
WRITE(5,126)
126 FORMAT(// ,30X,"GRAFICO DA HIDROGRAFA UNITARIA TRIANGULAR"
1,// )
CALL GRAFC(H,HIT,DAD)
RETURN
END
```

```

        SUBROUTINE COMMON(HU,DA,DB,AR,N,K,HUCOM,LABEB,LABEC,Q,QB,
        IES,XJ)
C*****CALCULO DA HIDROGRAFA UNITARIA SINTETICA - METODO DE COMMONS
C*****NOMENCLATURA*****
C      M= NUMERO DE CRDENADAS DA HIDROGRAFA UNITARIA ADIMENSIONAL
C      COM = CRDENADAS DA HIDROGRAFA UNITARIA ADIMENSIONAL
C      APR= TEMPO ATE O PIQUE
C      TU= INTERVALO DE TEMPO UNITARIO DA HIDROGRAFA UNITARIA
C      V= VOLUME DE PRECIPITACAO UNITARIO
C      AQ= DESCARGA UNITARIA DA HIDROGRAFA UNITARIA
C      QP= DESCARGA PIQUE DA HIDROGRAFA UNITARIA
C      B= TEMPO TOTAL DA HIDROGRAFA UNITARIA
C      HUCOM=CRDENADAS DA HIDROGRAFA UNITARIA
C*****DIMENSIN COM(30),SUBS(90),HUCOM(30),HU(90),XK(30)
C      1=LABEB(20),LABEC(20),LABEX(20)
C      1=Q(300),QB(300),ES(300),XJ(300),TT(30)
C      LEITURA DE TITULO
        READ(8,71) LABEX
    71 FORMAT(20A4)
C      LEITURA DE DADOS DA HIDROGRAFA ADIMENSIONAL
        READ(8,1) KONT,M
        1 FORMAT(2I3)
        READ(8,2)(COM(I),I=1,N)
        2 FORMAT(9F8.0)
        DO 22 I=1,N
        SUBS(I)=HU(I)
    22 CONTINUE
C      CALCULO DO INTERVALO ATE O PIQUE DA HIDROGRAFA UNITARIA BASE
        DO 21 I=1,N
        DO 7 J=1,N
        IF(I-J)3,8,7
    8 IF(HJ(I)=HU(J)) 9,7,7
    9 ATEMP=HJ(J)
        HU(J)=HJ(I)
        HU(I)=ATEMP
    7 CONTINUE
    21 CONTINUE
        DO 10 I=1,N
        IF(SUBS(I)=HU(1)) 10,11,11
    12 CONTINUE
    11 APR=(I-1)*DA
C      CALCULO DO INTERVALO DE TEMPO UNITARIO
        TU=APR/14
        IF(KONT)12,5,3
    5 V=AR*1000
        GO TO 6
C      CALCULO DO VOLUME UNITARIO

```

```

3 V=AR#232320)
C   CALCULO DA DESCARGA UNITARIA
6 AQ=V/(1196.5*TU*3600)
C   CALCULO DA DESCARGA PIQUE DA HIDROGRAFA UNITARIA
    QP=60*A2
C   CALCULO DO TEMPO TOTAL DA HIDROGRAFA UNITARIA
    S=100* TU
C   CALCULO DAS ORDENADAS DA HIDROGRAFA UNITARIA
    DO 31 I=1,M
    HUCOM(I)=AQ*CFM(I)
31 CONTINUE
DO23 I=1,N
HUI(I)=SJBS(I)
23 CONTINUE
WRITE(5,80)
80 FORMAT('1')
WRITE(5,73)
WRITE(5,72) LABEX,LABEB,LABEC
72 FORMAT(20X,20A4)
WRITE(5,73)
73 FORMAT( 20X,10('*****'))
TX=100. / (M-1)
DO 13 I=1,M
TT(I)=(100. / (M-1)) * I
13 CONTINUE
WRITE(5,155)
WRITE(5,75)
75 FORMAT(10X,"ORDENADAS DA HIDROGRAFA BASICA ADIMENSIONAL",
        1/// )
WRITE(5,76)
76 FORMAT(60X,"TEMPO",10X,"DESCARGA",/)
DO 14 I=1,M
WRITE(5,15) TT(I),COM(I)
15 FORMAT(40X,F5.0,11X,F6.2)
14 CONTINUE
DX= 100. / (M-1)*TU
DO 4 I=1,M
XK(I)=(I-1)*DX
4 CONTINUE
WRITE(5,80)
WRITE(5,92) DB
82 FORMAT(10X,"ORDENADAS DA HIDROGRAFA UNITARIA - (T=",1F6.1,"H,), ",/  )
WRITE(5,16)
16 FORMAT(40X,"INST.",10X,"HIDROGRAFA",/,"40X,"(H.)",12X,
        "UNITARIA",/,"57X,"(M3/S)",/  )
DO 17 I=1,M
WRITE(5,79) KK(I),HUCOM(I)
79 FORMAT(40X,F5.2,12X,F6.2)
17 CONTINUE

```

```

      WRITE(5,80)
      WRITE(5,73)
      WRITE(5,72) LABEX,LABEB,LABEC
      WRITE(5,73)
      WRITE(5,43) APR,TU,B
  43 FORMAT(//,15X,'APR=' ,F8.2,'H,' ,10X,'TU=' ,F8.2,'H.' ,10X,'B='
  1,F8.2,'H.' ,// )
      IF(KDVT) 12,45,42
  45 WRITE(5,41) V,AQ,QP
  41 FORMAT( />15X,'V=' ,F10.2,'M3' ,10X,'AQ=' ,F8.2,'M3/S' ,10X,
  1'QP=' ,F3.2,'M3/S' ,// )
      GD T3 47
  42 WRITE(5,46) V,AQ,QP
  46 FORMAT( />14X,'V=' ,F10.2,'CF' ,10X,'AQ=' ,F8.2,'CFS' ,10X,
  1'QP=' ,F3.2,/)
  47 CONTINUE
      WRITE(5,80)
      WRITE(5,90)
  90 FORMAT( 40X,' HIDROGRAFA ADIMENSIONAL DE COMMONS' ,// )
      CALL GRAFC(4,COM,TX)
      WRITE(5,80)
      WRITE(5,73)
      WRITE(5,72) LABEX,LABEB,LABEC
      WRITE(5,73)
      WRITE(5,155)
  155 FORMAT(// )
      WRITE(5,91) DB
  91 FORMAT(30X,' HIDROGRAFA UNITARIA DE COMMONS-' ,T=' ,F5.2,'H.' )
  1,/
      CALL GRAFC(M,HUCOM,DX)
  12 RETURN
      END

```

```

***** HIDROGRAFA UNITARIA ***** - METODO DE CLARK
***** FINALIDADES *****
CALCULO DA HIDROGRAFA UNITARIA INSTANTANEA
DERIVACAO DE HIDROGRAFA UNITARIA DE DURACAO T HORAS
***** NOME INCLATURA *****
TEMPAR= DIAGRAMA TEMPO-ÁREA
K= CONSTANTE DE ARMAZENAMENTO
TL= TEMPO DE CONCENTRACAO
HUI= HIDROGRAFA UNITARIA INSTANTANEA - METODO DE CLARK
HUT= HIDROGRAFA UNITARIA DE DURACAO T HORAS
T= INTERVALO ENTRE ORDEVADAS DO DIAGRAMA TEMPO-ÁREA
ADI1= PRIMEIRA PARCELA DA HIDROGRAFA UNITARIA INSTANTANEA
ADI2= SEGUNDA PARCELA DA HIDROGRAFA UNITARIA INSTANTANEA
TA= DURACAO DA HIDROGRAFA UNITARIA DERIVADA
***** DIMENSION TEMPAR(90),ADI1(90),ADI2(90),HUI(90),HUT(90) ,
1 LABEAC(20),LABEB(20),LABEC(20)
LEITURA DO TITULO
READ(8,71) LABEAC,LABEB,LABEC
71 FORMAT(20A4)
LEITURA DE DADOS
READ(8,1) TL,UK,T,TA,KONT
1 FORMAT(5F8.0)
TEMPAR(1)=0
NN=TL/T+1
READ(8,2) (TEMPAR(I),I=2,NN)
2 FORMAT(10F8.0)
CALCULO DE M' E M2
OMLIN=T/(OK+0.5*T)
OM2=(OK-0.5*T)/(OK+0.5*T)
FATORES PARA TRANSFORMACAO DE UNIDADES
IF (KONT) 4,4,9
4 FATOR=2.78
GO TO 13
9 FATOR=645
13 CONTINUE
CALCULO DA PARCELA 1 DA HIDROGRAFA UNITARIA INSTANTANEA
DO 10 I=1,NN
ADI1(I)=FATOR*OM_IN*TEMPAR(I)/T
10 CONTINUE
HUI(1)=0
MM= 3*NN
LJ=4*NN+1
DO 50 I=LJ,MM
ADI1(I)=0
50 CONTINUE
CALCULO DA PARCELA 2 DA HIDROGRAFA UNITARIA INSTANTANEA
ADI2(1)=0

```



```
DO 23 I=2,MM
ADI2(I) =UM2*MUI(I-1)87
HUI(I)=ADI1(I)+ADI2(I)
23 CONTINUE
      CALCULO DA HIDROGRAFA UNITARIA DE DURACAO T HORAS
      HUT(1)=0
      LL=M4-TA
      K=M4+1
      LI=4M*2
      DO 50 I=LK,LI
      HUI(I)=0
50 CONTINUE
      L=TA/T
      WRITE(5,1)L
      DO 40 I=2,LL
      HUT(I)=(HUI(L*I)+HUI((I-1)*L))/2.
40 CONTINUE
      IMPRESSAO DOS RESULTADOS
      WRITE(5,73)
      WRITE(5,72) LABEA,LABEB,LABEC
      WRITE(5,73)
72 FORMAT(20X,20A4)
73 FORMAT(20X,10('*****'))
      WRITE(5,6)
      6 FORMAT(//,4X,'FEMPO',4X,'DIAGRAMA',5X,'M* X I',7X,'M2 X Q1'
      1,6X,'Q2=HUI',3X,'+U.')
      WRITE(5,7) TA
      7 FORMAT(12X,'TEMPO-AREA',45X,'(T=',F3.1,'HR.)')
      IF(KONT) 14,14,15
14 WRITE(5,8)
      8 FORMAT(4X,'(HR.)',5X,'(KM2)',8X,'(M3/S)',7X,'(M3/S)',7X,
      1,'(M3/S)',7X,'(M3/S)',/)
      GO TO 16
15 WRITE(5,17)
17 FORMAT(4X,'(HR.)',5X,'(M2)',8X,'(CFS )',7X,'(CFS )',7X,
      1,'(CFS )',7X,'(CFS )',/)
16 CONTINUE
      LK=NN+1
      DO 19 I=LK,MM
      TEMPAR(I)=0
19 CONTINUE
      KJ=LL+1
      DO 18 I=KJ,MM
      HUT(I)=0
18 CONTINUE
      DO 30 I=1,MM
      RJ=T*(I-1)
      WRITE(5,3)RJ,TEMPAR(I),ADI1(I),ADI2(I),HUI(I),HUT(I)
3  FORMAT(5X,F3.1,5(5X,F8.2))
30 CONTINUE
```

```
20 WRITE(5,20)
21 FORMAT('1')           88
21 FORMAT(//,25X,'HIDROGRAFA UNIFARIA INSTANTANEA',/)
21 CALL GRAFC(MM,AUI,T)
22 WRITE(5,20)
22 WRITE(5,70)
22 WRITE(5,72) LABEA,LABEB,LABEC
22 WRITE(5,73)
22 WRITE(5,74)
24 FORMAT(//      )
24 WRITE(5,12) TA
24 FORMAT(//,25X,'HIDROGRAFA UNITARIA -T=*,F4.1,*HR*',/)
24 CALL GRAFC(MM,HUT,TA)
24 CALL EXIT
24 END
```

## \*\*\*\*\* MODELO CONCEITUAL DE NASH \*\*\*\*\*

## FINALIDADES

CALCULO DA HIDROGRAFA UNITARIA INSTANTANEA - METODO DE NASH  
DERIVACAO DE HIDROGRAFAS UNITARIAS DE DURACAO T HORAS

## \*\*\*\*\* NOMENCLATURA \*\*\*\*\*

MD = INTERVALO ENTRE OBSERVACOES

N = NUMERO DE OBSERVACOES DE VAZAO

TEA = INSTANTE

Q = ESCOAMENTOS SUPERFICIAIS

AR = AREA DE DRENAGEM DA BASICA

X = ALTURAS MEDIAS DO DIAGRAMA DE ESCOAMENTO SUPERFICIAL

S0 = SCHA DE AREAS DO DIAGRAMA DE ESCOAMENTO SUPERFICIAL

T1 = CENTRO DE GRAVIDADE DE CADA SUB-AREA NO DIAGRAMA

AMOM1 = MOMENTO DE ORDEM 1 DE CADA SUB-AREA RELATIVO A ORIGEM

AMOM2 = MOMENTO DE ORDEM 2 DE CADA SUB-AREA RELATIVO A ORIGEM

SOMA1 = MOMENTO TOTAL DE ORDEM 1 DO DIAGRAMA RELATIVO A ORIGEM

SOMA2 = MOMENTO TOTAL DE ORDEM 2 DO DIAGRAMA RELATIVO A ORIGEM

P = PRECIPITACOES EFETIVAS

DETA = DURACAO DAS PRECIPITACOES EFETIVAS

XMO E XM1 = MOMENTOS DE ORDEM-1 DAS PRECIPITACOES INDIVIDUAIS

XMO A XMB = MOMENTOS DE ORDEM-2 DAS PRECIPITACOES INDIVIDUAIS

SOMA3 = MOMENTO TOTAL DE ORDEM-1 DAS PRECIPITACOES

SOMA4 = MOMENTO TOTAL DE ORDEM-2 DAS PRECIPITACOES

UK = PARAMETRO - COEFICIENTE DOS RESERVATORIOS

UN = PARAMETRO - NUMERO DE RESERVATORIOS

HIDU = HIDROGRAFA UNITARIA INSTANTANEA

HIDT = HIDROGRAFA UNITARIA DE DURACAO T HORAS

HIDTR = HIDROGRAFA UNITARIA EM M3/S

## \*\*\*\*\* PROGRAMA PRINCIPAL \*\*\*\*\*

```

REAL MD
DIMENSION TEA(30),Q(30),X(30),T1(30),AMOM1(30),AMOM2(30),
1 HIDT(100),P(10),X1(100),XM2(100),Y(100),HIDU(30)
1,LABEAC(20),LABEB(20),LABEC(20),HIDTR(100)
LEITURA DO TITULO
READ(8,21) LABEA,_ABEB,LABEC
21 FORMAT(20A4)
READ(3,71) N,MM,M>DETA,AR
71 FORMAT(2I3,3F4.0)
LEITURA DOS DADOS DE ESCOAMENTO SUPERFICIAL
READ(8,72)(Q(I),I=1,N)
LEITURA DOS DADOS DE PRECIPITACAO EFETIVA
READ(8,72)(P(I),I=1,MM)
WRITE(5,/) (P(I),I=1,MM)
72 FORMAT(9F8.0)
CALCULO DOS TEMPOS DE INICIO DOS INTERVALOS
DO 99 I=1,N

```



```

      TEA(I)= MD*(I-1)          90
C  99 CONTINUE
C    CALCULO DOS ESCOAMENTOS SUPERFICIAIS MEDIOS
C    L=N-1
C    DO 20 I=1,L
C      X(I)=(Q(I)+Q(I+1))/2.
C  20 CONTINUE
C    CALCULO DA AREA TOTAL DO DIAGRAMA DE ESCOAMENTO SUPERFICIAL
C    S0=0
C    DO 10 I=1,L
C      S0=S0+X(I)*MD
C  10 CONTINUE
C    CALCULO DOS MOMENTOS DO DIAGRAMA DE ESCOAMENTO SUPERFICIAL
C    SOMA1=0
C    SOMA2=0
C    DO 30 I=1,L
C      T1(I)= TEA(I)+ MD/2.
C      AM041(I)= X(I)*T1(I)/S0 *MD
C      AM042(I)=X(I)*T1(I)**2/S0*MD
C      SOMA1=SOMA1+ AM041(I)
C      SOMA2=SOMA2+ AM042(I)
C  30 CONTINUE
C    CALCULO DA AREA TOTAL DO HISTOGRAMA EFETIVO
C    CALCULOS DOS MOMENTOS DAS PRECIPITACOES EFETIVAS
C    SS=0
C    DO 40 I=1,MM
C      Y(I)=P(I)*DETA
C      SS=SS+Y(I)
C  40 CONTINUE
C    SOMA3=0
C    SOMA4=0
C    DO 74 I=1,MM
C      XL=DETA*(I-1)+DETA/2.
C      XM1(I)=Y(I)*XL/SS
C      XM2(I)=Y(I)*(XL**2)/SS
C      SOMA3=SOMA3+XM1(I)
C      SOMA4=SOMA4+XM2(I)
C  74 CONTINUE
C    CALCULO DOS PARAMETROS DA HIDROGRAFA UNITARIA INSTANTANEA
C    ON=(SOMA1-SOMA3)**2/(SOMA2-SOMA4-((SOMA1-SOMA3)**2)-
C    1*(2*(SOMA1-SOMA3)*SOMA3))
C    OK=(SOMA1-SOMA3)/ON
C    WRITE(5,/) ON,OK
C    CALCULO DAS ORDENADAS DA HIDROGRAF UNITARIA INSTANTANEA
C    DO 50 I=1,N
C      WRITE(5,/) TEA(I)
C      HI0J(I)=((TEA(I)**(ON-1.))/(2.*718**((TEA(I)/OK)))-
C      1*(GAMA*(ON)*OK**ON))
C  50 CONTINUE
C    DERIVACAO DA HIDROGRAFA UNITARIA DE DURACAO T HORAS

```

```

XM=(AR+1000)*DETA/(DETA*3600)
HIDT(1)=0
HIDTR(1)=0
DO 63 I=2,N
HIDT(I)=(HIDU(I)+HIDU(I-1))/2.
HIDTR(I)=HIDT(I)*XM
63 CONTINUE
WRITE(5,2000)
2000 FORMAT('1')
      WRITE(5,23)
      WRITE(5,22) LABEA,LAREB,LABEC
      22 FORMAT(2(20X,20A4),/),20X,20A4)
      WRITE(5,23)
      23 FORMAT(20X,10('*****'))
      WRITE(5,24)
      24 FORMAT('1',35X,'INST.',10X,'PRECIPITACAO',10X,'ESCOAMENTO'
     1,/,35X,'(MIN.)',11X,'EFETIVA',13X,'SUPERFICIAL')
      WRITE(5,25)
      25 FORMAT(54X,'(M4/4)',14X,'(M3/S)',/)
      DO 60 I=1,MM
      KK=(I-1)*DETA*60
      WRITE(5,27) KK,P(I),Q(I)
      27 FORMAT(35X,I6,11X,F7.2,13X,F11.3)
      60 CONTINUE
      KL=4M+1
      DO 70 I=KL,N
      KK=(I-1)*DETA*50
      WRITE(5,27) KK,P(I),Q(I)
      70 CONTINUE
      WRITE(5,28)
      28 FORMAT('1',25X,'MOMENTOS DAS PRECIPITACOES EFETIVAS E '
     1,'ESCOAMENTOS SUPERFICIAIS',///)
      WRITE(5,4) SOMA1,SOMA2
      4 FORMAT(//,25X,'MOMENTO DE ORDEM-1 DO ESCOAMENTO',
     1,'SUPERFICIAL =',F10.3,/,25X,
     1,'MOMENTO DE ORDEM-2 DO ESCOAMENTO SUPERFICIAL =',F10.3,///
     1,/,)
      7 WRITE(5,7) SOMA3,SOMA4
      7 FORMAT(//,25X,'MOMENTO DE ORDEM-1 DAS PRECIPITACOES',
     1,'EFETIVAS =',F10.3,/,25X,'MOMENTO DE ORDEM-2 DAS',
     1,'PRECIPITACOES EFETIVAS =',F10.3,/,/,)
      WRITE(5,1000)
1000 FORMAT(//)
      WRITE(5,8) OK,JN
      8 FORMAT(//,25X,'PARAMETROS DA HIDROGRAFA UNITARIA',
     1,'INSTANTANEA DE NASH',/,40X,'K=',F10.3,1X,'HORAS',
     140X,'N=',F10.3,/,)
      WRITE(5,29)
      29 FORMAT('1',25X,'ORDENADAS DA HIDROGRAFA UNITARIA',
     1,'INSTANTANEA',/,)

```

```

      WRITE(5,31)
51 FORMAT(/,35X,'INST.',10X,'HIDROGRAFA',/,35X,'(MIN.)',11X,
1'UNITARIA',//50X,'INSTANTEA',// )
DO 80 I=1,N
  KK=(I-1)*DETA*50
  WRITE(5,33) KK,HIDJ(I)
53 FORMAT(35X,I6,12X,F6.3)
80 CONTINUE
  XM=DETA*60
  WRITE(5,35) XM
55 FORMAT('1',25X,'ORDENADAS DA HIDROGRAFA UNITARIA DE ',
1'DURACAO',F4.0,'MINUTOS',// )
  WRITE(5,36)
56 FORMAT(/,35X,'INST.',10X,'HIDROGRAFA',/,35X,'(MIN.)',11X,
1'UNITARIA',//,52X,'(M3/S)',// )
DO 90 I=1,N
  KK=(I-1)*DETA*50
  WRITE(5,38) KK,HIDTR(I)
58 FORMAT(35X,I6,12X,F6.4)
90 CONTINUE
  WRITE(5,76)
76 FORMAT('1',30X,'GRAFICO DA HIDROGRAFA UNITARIA ',
1'INSTANTEA',// )
  CAL_GRAFC(N,HIDU,XM)
  WRITE(5,75) XM
75 FORMAT('1',30X,'GRAFICO DA HIDROGRAFA UNITARIA DE ',
1'DURACAO',F4.0,'MINUTOS',// )
  CALL GRAFC(N,HIDTR,XM)
  CALL EXIT
END

```

## CALCULO DA HIDROGRAFA UNITARIA INSTANTANEA - MÉTODO DE DOOGEE

\*\*\*\*\* NOMECLATURA \*\*\*\*\*

N= NUMERO DE RESERVATORIOS  
 TC= TEMPO DE CONCENTRACAO DA BACIA  
 K= TEMPO DE RETARDO DE CADA RESERVATORIO  
 TAU= TEMPO DE TRANSITO RESERVATORIO-SAIDA DA BACIA  
 WTAU= ORDENADA DO DIAGRAMA TEMPO-AREA  
 XTAU= DISPOSICAO DOS RESERVATORIOS NA BACIA  
 VO= VOLUME DA PRECIPITACAO EFETIVA  
 XMULT= VALOR DA INTEGRAL  
 XHIDU= ORDENADA DA HIDROGRAFA UNITARIA INSTANTANEA

```

REAL M,K
DIMENSION TAUC(100),WTAUC(100),XTAU(100),X(100),Y(100),
1S(100),XMULT(100),XHIDU(100),HIDU(100),HID1(100),YTAU(100)
1,LABEA(20),LABEB(20),LABEC(20),HUT(100),HDX(100)

LEITURA DO TITULO
READ(8,71) LABEA,LABEB,LABEC
71 FORMAT(20A4)
LEITURA DOS DADOS
READ(8,1) N,K,TC,VO,DELTA
1 FORMAT(18.5F8.0)
WRITE(5,/) N,K,TC,VO,DELTA
READ(8,2)( TAUC(I),I=1,N)
READ(8,2)( WTAU(I),I=1,N)
READ(8,2)( XTAU(I),I=1,N)
2 FORMAT(12F6.0)
DO 18 I=1,N
  YTAU(I)=WTAU(I)
18 CONTINUE
TRANSFORMACAO DO DIAGRAMA TEMPO-AREA
ASOMA=0
DO 60 I=1,N
  ASOMA=ASOMA+WTAU(I)
60 CONTINUE
DO 80 I=1,N
  WTAU(I)=WTAU(I)/ASOMA
80 CONTINUE
KK=TC/DELTA
KJ=KK+1
NK=5*N
LL=N+1
DO 40 I=LL,NK
  TAU(I)=(I-1)*DELTA
40 CONTINUE
* TEMPO DE TRANSITO ENTRE RESERVATORIOS
DO 30 J=2,NK
  S(1)=0
  S(J)=TAU(J)-TAU(J-1)

```

```

      30 CONTINUE          94
      :  INTEGRACAO NUMERICA(REGRA DOS TRAPEZIOS)
      :    X(1)=0
      :    Y(1)=0
      :    XMULT(1)=0
      :    DO 10 I=2,KK
      :      S04=0
      :      DO20 J=2,I
      :        M=(TAU(I)-TAU(J))/K
      :        XXX=K*GAMMA(XTAU(J))
      :        X(J)=((M*((XTAU(J)-1)))*EXP(-M)*HTAU(J))/XXX
      :        IF(I-2) 21,21,31
      : 21  X(2)=0
      : 31  CONTINUE
      :    LLM=J+1
      :    WRITE(5,/) XTAU(L-M),K,M,HTAU(4),KK
      :    IF(J-KK) 24,25,25
      : 25  Y(J)=0.
      :    GO TO 26
      : 24  CONTINUE
      :    XXX=K*GAMMA(XTAU(J+1))
      :    Y(J)=((M*((XTAU(J+1)-1)))*EXP(-M)*HTAU(J))/XXX
      : 26  CONTINUE
      :    XMULT(J)=((X(J)+Y(J-1))*S(J))/2
      :    WRITE(5,/) X(J),Y(J),XMULT(J),M,S(J)
      :    SOM=SOM+XMULT(J)
      : 20  CONTINUE
      :    XHIDUC(I)=SOM*VD/TC
      : 10  CONTINUE
      :    DO 70 I=KJ,NK
      :      S04=0
      :      DO 50 J=2,KK
      :        M=(TAU(I)-TAU(J))/K
      :        XXX=K*GAMMA(XTAU(J))
      :        X(J)=((M*((XTAU(J)-1)))*EXP(-M)*HTAU(J))/XXX
      :        IF(J-KK) 22,23,23
      : 22  CONTINUE
      :    XXX=K*GAMMA(XTAU(J+1))
      :    Y(J)=((M*((XTAU(J+1)-1)))*EXP(-M)*HTAU(J))/XXX
      : 23  CONTINUE
      :    XMULT(J)=((X(J)+Y(J-1))*S(J))/2
      :    WRITE(5,/) X(J),Y(J),XMULT(J),M,S(J)
      :    SOM=SOM+XMULT(J)
      : 50  CONTINUE
      :    XHIDUC(I)=SOM*VD/TC
      : 70  CONTINUE
      :    CALCULO DAS ORDENADAS DA HIDROGRAFA UNITARIA INSTANTANEA
      :    DO 81 I=KJ,NK
      :      HID1(I)=XHIDUC(I)
      : 81  CONTINUE

```

```

      NKK=VK-1
      DO 90 I=KJ,NKK
      XHIDU(I)=HID1(I+1)
90  CONTINUE
      DO 41 I=1,NK
      WRITE(5,/) TAUC(I),WTAUC(I),XTAUC(I),S(I),XHIDU(I)
41  CONTINUE
      ASOMA=0
      DO11 I=1,NK
      ASOMA=ASOMA+XHIDU(I)
11  CONTINUE
      BSOMA=ASOMA*DELTA*3600/V0
      WRITE(5,/) ASOMA,BSOMA
      DO 42 I=1,NK
      HIDX(I)=XHIDU(I)/BSOMA
42  CONTINUE
      DO 92 I=2,NK
      HIDJ(I-1)=HIDX(I)
92  CONTINUE
      WRITE(5,/(HIDJ(I),I=1,NK)
      CALL GRAFC(NK,HIDJ,DELTA)
C   CALCULO DAS ORDENADAS DA HIDROGRAFA UNITARIA- PERÍODO T
      LL= NK-DELTA
      L=T/ S(2)
      HUT(1)=0
      DO 79 I=2,LL
      HUT(I)=(HIDU(L+I)+HIDU ((I-1)*L))/2.
79  CONTINUE
      IMPRESSAO DOS RESJ_TADOS
      WRITE(5,83)
83  FORMAT('1')
      WRITE(5,73)
      WRITE(5,72) LABEA,LABEB,LABEC
      WRITE(5,73)
      FORMAT(20X,20A4)
      FORMAT(20X,10('*****'))
      WRITE(5,84)
84  FORMAT(//)
      WRITE(5,12)
      12 FORMAT(25X,'PARAMETROS UTILIZADOS',//)
      WRITE(5,13) NK,TC
      13 FORMAT(//,15X,'N=',I4,5X,'K=',F6.2,1X,'H.',5X,'TC=',F6.2,
      1//)
      WRITE(5,14) V0
      14 FORMAT(25X,'V0=',F10.2,1X,'M3',//)
      WRITE(5,15)
      15 FORMAT(//,23X,'DIAGRAMA',12X,'HIDROGRAFA',13X,
      1'HIDROGRAFA',/22X,'TEMPO-AREA',13X,'UNITARIA',14X,
      1'UNITARIA',/ )
      WRITE(5,16) T

```

```
16 FORMAT( 24X, "(K42)", 13X, "INSTANTANEA", 12X, "(T=", F3.1,  
14.1" )  
17 WRITE(5, 17)  
17 FORMAT(44X, "(M3/S)", 16X, "(M3/S)", // )  
DO 19 I=1,N  
19 WRITE(5, 32) YTAU(I), RIDU(I), HUT(I)  
32 FORMAT( 23X,F3.2,13X,F10.2,13X,F10.2 )  
19 CONTINUE  
LK=N+1  
DO 33 I=LK,NK  
33 WRITE(5, 34) RIDU(I), HUT(I)  
34 FORMAT(44X,F10.2,13X,F10.2 )  
33 CONTINUE  
CALL GRAFC(NK,HUT,T)  
CALL EXIT  
END
```

\*\*\*\*\*  
METODO DE ANALISE DE O'DONNELL  
\*\*\*\*\*

FINALIDADE

CALCULO DA HIDROGRAFA UNITARIA DE PERIODO FINITO  
UTILIZACAO DE SERIES DE FOURIER

\*\*\*\*\* NOMECLATURA \*\*\*\*\*

CHUV= PRECIPITACAO EFETIVA

ESCO= ESCOAMENTO SUPERFICIAL

ACh= COEFICIENTES HARMONICOS = PRECIPITACAO EFETIVA = A

BCh= COEFICIENTES HARMONICOS = PRECIPITACAO EFETIVA = B

AES= COEFICIENTES HARMONICOS = ESCOAMENTO SUPERFICIAL = A

BES= COEFICIENTES HARMONICOS = ESCOAMENTO SUPERFICIAL = B

AHUS= COEFICIENTES HARMONICOS = HIDROGRAFA UNITARIA = A

BHUS= COEFICIENTES HARMONICOS = HIDROGRAFA UNITARIA = B

HIEITO= CHUVA EFETIVA REPRODUZIDA A PARTIR DE COEFICIENTES

ESTIMADOS

HIDRUE= ESCOAMENTO REPRODUZIDO A PARTIR DE COEFICIENTES

ESTIMADOS

HIDOU= HIDROGRAFA UNITARIA OBTIDA A PARTIR DE COEFICIENTES

HARMONICOS

REAL L

DIMENSION CHUV(50),ESCO(50),ACh(50),BCh(50),AES(50),BES(50)  
1,AHUS(50),BHUS(50),HIDU(50),HIEITO(50),HIDRUE(50),HIDOU(50)

1,LABEA(20),LABEB(20),LABEC(20)

LEITURA DE DADOS

READ(8,12) LABEA,LABEB,LABEC

12 FORMAT(20A4)

READ(8,1) DELTA,N,ML,NL

1 FORMAT(F8.0,3I3)

READ(8,2) (CHUV(I),I=1,N)

READ(8,2) (ESCO(I),I=1,N)

2 FORMAT(9F8.0)

CALCULO DO LIMITE DA SOMATORIA

L= DELTA\*N

NN=(N-1)/2

CALCULO DE COEFICIENTES HARMONICOS

DO 3 J=1,NN

A=0

B=0

C=0

D=0

DO 4 I=1,N

A=A+ CHUV(I)\*COS(6.2832\*I\*I/N)

B=B+ CHUV(I)\*SIN(6.2832\*I\*I/N)

C=C+ ESCO (I)\*COS(6.2832\*I\*I/N)

D=D+ ESCO (I)\*SIN(6.2832\*I\*I/N)

```

4 CONTINUE
ACH(J)=A/N*2
BC1(J)=B/N*2
AES(J)=C/N*2
BES(J)=D/N*2
5 DERIVACAO DO COEFICIENTES HARMONICOS DA HIDROGRAFA UNITARIA
DIV=ACH(J)**2+BC1(J)**2
AHU(J)=(2/L)*(ACH(J)*AES(J)+BC1(J)*BES(J))/DIV
BHU(J)=(2/L)*(ACH(J)*BES(J)-BC1(J)*AES(J))/DIV
6 CONTINUE
7 REPRODUCAO DE PRECIPITACOES E ESCOAMENTOS
CALCULO DA HIDROGRAFA UNITARIA
S=0
T=0
DO 5 I=1,N
S=S+CHUV(I)
T=T+ESCO(I)
8 CONTINUE
AC10=S/N
ES0=T/N
AHU0=(1/L)*ES0/AC10
DO 7 I=1,N
X=AHU0
Y=ES0
Z=AC10
DO 8 J=1,NN
X=X+AHU(J)*COS(J*5.2832*I/N)+BHU(J)*SIN(J*5.2832*I/N)
Y=Y+AES(J)*COS(J*6.2832*I/N)+BES(J)*SIN(J*6.2832*I/N)
Z=Z+ACH(J)*COS(J*5.2832*I/N)+BCH(J)*SIN(J*5.2832*I/N)
9 CONTINUE
HIDJ(I)=X
HIDR(I)=Y
HIETO(I)=Z
10 CONTINUE
WRITE(5,23)
WRITE(5,13) LABEA,LAREB,LABEC
11 FORMAT(2(20X,20A4),/),20X,20A4)
12 FORMAT(20X,10('*****'))
13 FORMAT(5,23)
14 FORMAT(35X,I5,10X,'PRECIPITACAO',10X,'ESCOAMENTO',
14,35X,'(MIN.)',11X,'EFETIVA',13X,'SUPERFICIAL',/,'53X',
14,'(C4/H)',16X,'(M3/S)',/ )
DO 10 I=1,ML
KK=(I-1)*DELTA*60
WRITE(5,14) KK,CHJV(I),ESCO(I)
15 FORMAT(35X,I5,10X,F11.3,10X,F9.4)
16 CONTINUE
MK=4L+1
DO 20 I=MK,NL

```

```

      KK=(I-1)*DELTA*60
      WRITE(5,14) KK,CHJV(I),ESCO(I)
20  CONTINUE
      WRITE(5,18)
18  FORMAT('1',30X,'CHUVA EFETIVA E ESCOAMENTO SUPERFICIAL ',/
1*REPRODUZIDOS',//)
      WRITE(5,19)
19  FORMAT(35X,'INST.',10X,'PRECIPITACAO',10X,'ESCOAMENTO',//,
135X,'(MIN.)',12X,'(CM/H)',15X,'(M3/S)',//)
      DO 40 I=1,NL
      KK=(I-1)*DELTA*60
      WRITE(5,21) KK,HETO(I),HIDRO(I)
21  FORMAT(35X,I5,10X,F12.3,10X,F10.3)
40  CONTINUE
      XM=DELTA*60
      WRITE(5,15) XM
15  FORMAT('1',30X,'ORDENADAS DA HIDROGRAFA UNITARIA DE ',/
1*PERIODO',F4.1,'MINUTOS',//)
      WRITE(5,16)
16  FORMAT(/,35X,'INST.',10X,'HIDROGRAFA',//,35X,'(MIN.)',9X,
1*UNITARIA',//,53X,'(M3/S)',//)
      DO 31 I=1,NL
      HIDX(I)=HIDU(I)
31  CONTINUE
      HIDJ(1)=0
      DO 24 I=2,NL
      HIDJ(I)=HIDX(I-1)
24  CONTINUE
      DO 30 I=1,NL
      KK= I*DELTA*60
      WRITE(5,17) KK,HIDJ(I)
17  FORMAT(35X,I5,10X,F10.4)
30  CONTINUE
      WRITE(5,75) XM
75  FORMAT('1',30X,'GRAFICO DA HIDROGRAFA UNITARIA DE DURACAO',/
1F4.0,'MINUTOS',//)
      CALL GRAFC(NL,1IJ,XM)
      CALL EXIT
END

```

```

***** ****
C      METODO DE INVERSAO ATRAVES DE MATRIZES
***** ****
C      FINALIZADE
C      CALCULO DA HIDROGRAFA UNITARIA DE PERIODO FINITO
C      UTILIZACAO DE TECNICA MATRICIAL
***** ****
C      M= NUMERO DE DADOS DE PRECIPITACAO EFETIVA
C      N= NUMERO DE ORDENADAS DA HIDROGRAFA UNITARIA
C      DETA= INTERVALO ENTRE OBSERVACOES
C      K= NUMERO DE DADOS DE ESCOAMENTO SUPERFICIAL
C      HT= INTENSIDADES DE CHUVA
C      X= VOLUMES DE CHUVA
C      A= MATRIZ DE PRECIPITACOES
C      AT= TRANPOSTA DA MATRIZ DE PRECIPITACOES
C      Z= MATRIZ PRODUTO AT X A
C      INVZ= INVERSA DA MATRIZ Z
C      APR1= MATRIZ PRODUTO INVZ X AT
C      Y= VETOR DE ESCOAMENTO SUPERFICIAL
C      HIDU= HIDROGRAFA UNITARIA DE PERIODO FINITO
***** ****
C      REAL IDEN(25,25),INVZ(25,25)
C      DIMENSIIN AL(25,25),X(25),Y(25),AT(25,25),Z(25,50),
C      IAPRM(25,25),ARM(25,25),MAT(25,50),HIDU(25),HT(50)
C      LABEA(20),LABEB(20),LABEC(20)
C      LEITURA DO TITULO
C      READ(8,100) LABEA,LABEB,LABEC
100  FORMAT(20A4)
C      LEITURA DE DADOS
C      READ(8,110) M,N,DETA
1   FORMAT(Z13,F4.0)
K=1+N-1
READ(8,110) (HT(I),I=1,M)
READ(8,110) ((I),I=1,K)
11  FORMAT(9F8.0)
DO 88 I=1,M
X(I)=HT(I)+DETA
88  CONTINUE
DO 10 I=1,K
DO 10 J=1,N
A(I,J)=0.
IF(J-I>2,5)
3   A(I,J)=0.
GO TO 10
2  CONTINUE
IF(I-J>5,5,4
4   A(I,J)=0.
GO TO 10
5   A(I,J)=X(I-J+1)
10  CONTINUE

```

```

DO 30 I=1,N
DO 30 J=1,K
AT(I,J)=A(J,I)
3) CONTINUE
CALL MULT(AT,A,N,K,K,N,Z)
CALL INVELOCZ(N,INVZ,IDEH)
CALL MULT(INVZ,AT,N,N,N,K,A'PRM)
CALL MULT(A'PRM,Y,N,K,K,1,HIDU)
WRITE(5,21)
WRITE(5,22) LABEA,LABEB,LABEC
200 FORMAT(2(20X,20A4),/),20X,20A4)
WRITE(5,21)
21 FORMAT(20X,10F1*****))
WRITE(5,6)
5) FORMAT("1",30X,"MATRIZ DE PRECIPITACOES",//)
DO 40 I=1,K
WRITE(5,7)(A(I,J),J=1,N)
7) FORMAT(14,25F5.1)
40 CONTINUE
WRITE(5,8)
8) FORMAT("1",30X,"TRANSPOSTA DA MATRIZ DE PRECIPITACOES",//)
DO 50 I=1,N
WRITE(5,7)(AT(I,J),J=1,N)
50 CONTINUE
WRITE(5,12)
12 FORMAT("1",30X,"MATRIZ Z = PRODUTO AT X A",//)
DO 60 I=1,N
WRITE(5,7)(Z(I,J),J=1,N)
60 CONTINUE
AMIVE DETA*50
WRITE(5,14) AMIN
14 FORMAT("1",30X," HIDROGRAFA UNITARIA DE DURACAO", F4.0,
1*MINUTOS",// )
WRITE(5,15)
15 FORMAT("//",25X,"INST.",10X,"VOLUME",10X,"ESCOAMENTO",10X,
1*HIDROGRAFA",//,24X,"(MIN.)",10X,"EFETIVO",9X,"SUPERFICIAL",
1*10X,"UNITARIA")
WRITE(5,15)
15 FORMAT(1IX,"(MM)",15X,"(M3/S)",/)
DO 80 I=1,M
KK=(I-1)*DETA*60
WRITE(5,17) KK,X(I),Y(I),HIDU(I)
17 FORMAT(25K,15,10X,F6.2,10X,F9.3,10X,F10.4)
8) CONTINUE
KI=I+1
DO 90 I=KI,K
KK=(I-1)*DETA*60
WRITE(5,18) KK,Y(I),HIDU(I)
18, FORMAT(25K,15,26X,F9.3,10X,F10.4)
9) CONTINUE

```

```
      WRITE(5,75) AMIN
75 FORMAT('1',30X,'GRAFICO DA HIDROGRAFA UNITARIA DE ',
        1'DURACAO',F4.1,'MINUTOS',//,  )
      CALL GRAFO(X,HIDU,AMIN)
      CALL EXIT
      END
```

```

SUBROUTINE MUL(A,B,M1,M2,N1,N2,C)
C*****SUBROTINA PARA MULTIPLICACAO DE MATRIZES*****
C*****NOMENCLATURA*****
C   A= PRIMEIRA MATRIZ
C   B= SEGUNDA MATRIZ
C   C= MATRIZ PRODUTO A X B
C   M1= NUMERO DE LINHAS DA PRIMEIRA MATRIZ
C   M2= NUMERO DE COLUNAS DA PRIMEIRA MATRIZ
C   N1= NUMERO DE LINHAS DA SEGUNDA MATRIZ
C   N2= NUMERO DE COLUNAS DA SEGUNDA MATRIZ
C*****DIMENSIN A(25,25),B(25,25),C(25,25)
DO 20 IA=1,41
DO 20 JB=1,42
  CA(IA,JB)=0.
DO 20 IK=1,M2
  CA(IA,JB)=CA(IA,JB)+A(IA,K)*B(K,JB)
20 CONTINUE
RETURN
END

```

```

SUBROUTINE INVEL(MAT,N,INVZ,IDEN)
C **** SUBROTINA PARA INVERSÃO DE MATRIZES- MÉTODO DE ELIMINACAO
C **** NOMECLATURA *****
C   MAT = MATRIZ A SER INVERTIDA
C   ARM = MATRIZ MAT ARMAZENADA
C   DET = DETERMINANTE DA MATRIZ
C **** REAIS MAT(25,50),TEMP(25),ARM(25,25),IDEN (25,25)
1 INVZ(25,25)
  NA=2*N
  NP1=N+1
C   ARMAZENAMENTO DA MATRIZ ORIGINAL
  DO 5 J=1,N
    DO 11 I=1,N
      11 ARM(J,I)=MAT(J,I)
C   CONSTRUÇÃO DA MATRIZ AUMENTADA
  DO 13 I=N+1,NA
    MAT(J,I)=0.
    IF(I-N-J) 10,3,10
    3 MAT(J,I)=1.
  10 CONTINUE
  5 CONTINUE
C   CALCULO DA INVERSA E DETERMINANTE
  DET=MAT(1,1)
  DO 15 K=1,N
    PIVOT=MAT(K,K)
    DO 20 I=1,N
      20 TEIP(I)=MAT(I,K)
    DO 25 J=K,NA
      MAT(K,J)=MAT(K,J)/PIVOT
    DO 30 I=1,N
      IF(I-K) 4,30,4
      4 CONTINUE
      MAT(I,J)=MAT(I,J)-TEIP(I)*MAT(K,J)
    30 CONTINUE
  25 CONTINUE
    IF(K-N)5,7,7
    5 DET=DET*MAT(K+1,K+1)
    7 CONTINUE
  15 CONTINUE
    DO 70 I=1,N
      DO 70 J=1,N
        JU=J+N
        INVZ(I,J)=MAT(I,JU)
    70 CONTINUE
  RETURN
  END

```

SUBROUTINE REPROCHUV, HUMB, QB, N)

SUBROTINA PARA CALCULO DE HIDROGRAFAS DE CHEIAS

NOMENCLATURA

CHUVE = ALTURAS DE PRECIPITACOES HUMB = HIDROGRAFA UNITARIA

GERAH = MATRIZ PARA CALCULO DA HIDROGRAFA

HIDG = ESCOAMENTO SUPERFICIAL REPRODUZIDO

QRE = HIDROGRAFA REPRODUZIDA

QB = DESCARGA BASE

ESF = ESCALA PARA GRAFICO

DIMENSION GERAH(240\*240), HUMB(300), HIDG(300), CHUV(300), QB(300),

NIVE(300), QRE(300)

DIMENSION LABEL(20), LABEA(20), LABEC(20), LABEB(20)

NIVI

LEITURA DO CABECARIO

READ(8,71) LABEL

READ(8,71) LABEA

READ(8,71) LABEB

READ(8,71) LABEC

72 FORMAT(20A4)

READ(8,14) LL

24 FORMAT(13)

LEITURA DAS PRECIPITACOES EFETIVAS

READ(8,1) (CHUV(I), I=1,LL)

1 FORMAT(10F6.0)

CALCULO DO ESCOAMENTO SUPERFICIAL REPRODUZIDO

NMELL = N+1

DO 41 I=1,LL

DO 42 J=1,NM

GERAH(I,J)=0

42 CONTINUE

CONTINUE

DO 2 I=1,LL

DO 3 NMELL,NN

L=1:N-1

GERAH(I,L)=CHUV(I)+HUMB(N)

3 CONTINUE

2 CONTINUE

DO 4 J=1,NM

R=0

DO 5 I=L,LL

R=R+GERAH(I,J)

5 CONTINUE

HIDG(J)=R

6 CONTINUE

CALCULO DA HIDROGRAFA REPRODUZIDA

DO 32 ENV,MM

QB(I)=QB(N)\*MM

32 CONTINUE

DO 13 I=1,MM

QRE(I)=QB(1)\*HIDG(I)

13 CONTINUE

DO 20 J=1,MM

30 CONTINUE

WRITE(5,20)

20 FORMAT('1')

WRITE(5,73)

WRITE(5,72) LABEL

WRITE(5,72) LABEA

WRITE(5,72) LABEB

WRITE(5,72) LABEC

WRITE(5,72)

72 FORMAT(20X,20A4)

73 FORMAT(20X,10('-----'))

WRITE(5,11)

11 FORMAT('19X,'INST. ','4X,'ESCOAMENTO', '5X,' DESCARGA ', '5X,' HIDROGRA')

2FA')

WRITE(5,12)

12 FORMAT('2BX,'SUPERFICIAL', '5X,' BASE ', '4X,' REPRODUZIDA' )

19 FORMAT(/)

UNIV  
[53]  
IRO

3 5 J=1,30  
20 FOR I=5,30 J=1,100 G(J),+B(J)\*C(J)  
3 FUN4=T(1,X,I,J,S(T1+B\*2\*X))  
6 C(J)=0  
H,J,T1=(5,2)  
H,J,T2=(5,20)  
H,J,T3=(5,72)  
H,J,T4=(5,720)  
H,J,T5=(5,7200)  
H,J,T6=(5,72000)  
H,J,T7=(5,19)  
H,J,T8=(5,190)  
1-2 FUN4=T(1,X,4100000000,F10000000000)  
21 H,J,T9=(5,21)  
FUN4=T(1,X,FUN4\*D0 = 43/51\*1/1)  
C(J)=GAF1(GR,MH,SF)  
C(J)=0

## MANUAL DE USO

Na utilização dos programas apresentados para dados nacionais devem ser adotadas, em geral, as unidades abaixo:

Precipitação: CM/H

Escoamento: M<sup>3</sup>/S

Tempo: Hora

Área: km<sup>2</sup>

Comprimento: km

Nos raros casos em que estas unidades não forem adequadas, as unidades mais indicadas serão indicadas, neste manual, ao lado da descrição da grandeza considerada.

Os cartões de entrada devem estar assim dispostos:

Para os métodos de Sherman, Curva-S, Snyder, Soil Conservation Service e Commons.

#### 1º Cartão

LABEA: Cartão Label representando o título do programa para o método de Sherman.

Colunas: 1 A 80

FORMAT: 20A4

#### 2º Cartão

LABEB: Cartão Label representando o nome do rio e do posto analisado.

Colunas: 1 A 80

FORMAT: 20A4

#### 3º Cartão

LABEC: Cartão Label mostrando data da cheia e área da bacia.

Colunas: 1 A 80

FORMAT: 20A4

N: número de dados de escoamento

Colunas: 1 A 3

FORMAT: I3

K: localização do pique

Colunas: 4 A 10

FORMAT: F7.0

DA: intervalo entre observações

Colunas: 11 A 17

FORMAT: F7.0

DB: duração da precipitação efetiva

Colunas: 18 A 24

FORMAT: F7.0

A partir do 5º cartão:

Q: dados do escoamento

Colunas: 1 A 72

FORMAT: 9 F8.0

Após término dos dados do escoamento:

DC: duração da hidrógrafa unitária derivada

Colunas: 1 A 3

FORMAT: F3.0

Após cartão indicando duração da hidrógrafa unitária derivada:

SA: valores da Curva-S suavizada manualmente

Colunas: 1 A 72

FORMAT: 9 F8.0

Após cartões com Curva-S suavizada:

HUMA: valores da hidrógrafa unitária derivada suavizada

Colunas: 1 A 72

FORMAT: 9 F8.0

Após cartões com hidrógrafa derivada suavizada:

LABEX: cartão Label representando título para o método de Snyder

Colunas: 1 A 72

FORMAT: 9 F8.0

Após título:

KONT: indicador de unidades utilizadas

Dados nacionais: KONT = 0

Colunas: 1 A 3

FORMAT: I3

XLA: distância da projeção do centróide sobre o curso principal  
a seção extrema

Colunas: 4 A 11

FORMAT: F8.0

XL: comprimento do curso principal

Colunas: 12 A 19

FORMAT: F8.0

Após dados para SNYDER:

LABEX: cartão Label representando título para método do Soil Conservation Service

Colunas: 1 A 72

FORMAT: 20A4

Após título para método do Soil Conservation Service:

AL: comprimento do curso principal

Colunas: 1 A 5

FORMAT: F5.0

H: diferença máxima de cota do curso principal, em metros

Colunas: 5 A 10

FORMAT: F5.0

KONT: indicador das unidades usadas

Dados Nacionais: KONT = 0

Colunas: 11 A 12

FORMAT: I2

Após dados para o método do hidrograma triangular:

LABEX: cartão Label com título para método de Commons

Colunas: 1 A 80

FORMAT: 20A4

Após cartão título:

KONT: indicador de unidades utilizadas

Dados Nacionais: KONT = 0

Colunas: 1 A 3

FORMAT: I3

M: número de ordenadas consideradas na hidrógrafa adimensional  
de Commons

Colunas: 4 A 6

FORMAT: I3

OBS: Em virtude do ajustamento manual para Curva-S e hidrógrafa  
unitária derivada, o programa cuja entrada é mostrada acima,  
é parado 2 vezes para fornecimento dos resultados da suavi-  
zação manual.

Para os demais Métodos:

1º Cartão

LABEA: cartão Label com título para o método considerado

Colunas: 1 A 80

FORMAT: 20A4

2º Cartão

LABEB. cartão Label apresentando nome do rio e do posto analisa-  
do

Colunas: 1 A 80

FORMAT: 20A4

3º Cartão

LABEC: cartão Label representando data da cheia e área da bacia

Colunas: 1 A 80

FORMAT: 20A4

Após estes cartões, de forma diversas:

Para o Método de Clark:

4º Cartão

TL: tempo de concentração

Colunas: 1 A 8

FORMAT: F8.0

OK: constante de armazenamento

Colunas: 9 A 16

FORMAT: F8.0

T: tempo de trânsito entre isócronas

Colunas: 17 A 24

FORMAT: F8.0

TA: duração da hidrógrafa unitária de período finito

Colunas: 25 a 32

FORMAT: F8.0

KONT: indicador das unidades usadas

Colunas: 33 a 40

FORMAT: F8.0

A partir do 5º Cartão

TEMPAR: ordenadas do diagrama tempo-área

Colunas: 1 A 80

FORMAT: 10 F8.0

Para o Método de Nash:

4º Cartão

N: número de dados de escoamento superficial

Colunas: 1 A 3

FORMAT: I3

MM: número de dados de precipitação efetiva

Colunas: 4 A 6

FORMAT: I3

MD: intervalo entre dados de escoamento

Supervicial Colunas: 7 A 10

FORMAT: F4.0

DETA: intervalo entre dados de precipitação efetiva

Colunas: 11 A 14

FORMAT: F4.0

A partir do 5º Cartão

Q: dados de escoamento superficial

Colunas: 1 A 72

FORMAT: 9 F8.0

Após término dos dados de escoamento superficial

P: dados de precipitação efetiva

Colunas: 1 A 72

FORMAT: 9 F8.0

Para o Método de Dooge:

4º Cartão

N: número de ordenadas do diagrama-tempo-área

Colunas: 1 A 8

FORMAT: I8

K: constante de armazenamento

Colunas: 9 A 16

FORMAT: F8.0

TC: tempo de concentração

Colunas: 17 A 24

FORMAT: F8.0

VO: volume unitário

Colunas: 25 A 32

FORMAT: F8.0

DELTA: intervalo de tempo

Colunas: 33 a 40

FORMAT: F8.0

A partir do 5º Cartão

TAU: tempos de trânsito das sub-áreas até a seção externa

Colunas: 1 A 72

FORMAT: 12 F6.0

Após dados de tempos de trânsito:

WTAU: ordenadas do diagrama tempo-área

Colunas: 1 A 72

FORMAT: 12 F6.0

Após ordenadas do diagrama tempo-área

XTAU: disposição dos reservatórios

Colunas: 1 A 72

FORMAT: 12 F6.0

Para o Método de Inversão através de Matrizes:

4º Cartão

M: número de dados de precipitação efetiva

Colunas: 1 A 3

FORMAT: I3

N: número de dados de escoamento superficial  
Colunas: 4 A 6  
FORMAT: I3

DETA: intervalo entre observações  
Colunas: 7 A 10  
FORMAT: I3

A partir do 5º Cartão

HT: dados de precipitação efetiva  
Colunas: 1 A 72  
FORMAT: 9 F8.0

Após término dos dados de precipitação efetiva

Y: dados de escoamento superficial  
Colunas: 1 A 72  
FORMAT: 9 F8.0

Para o Método de O'Donnell

4º Cartão

DELTA. intervalo entre observações  
Colunas: 1 A 8  
FORMAT: F8.0

N: número de pares de coeficientes harmônicos a serem calculados  
Colunas: 9 A 16  
FORMAT: F8.0

ML: número de precipitações efetivas  
Colunas: 17 A 24  
FORMAT: F8.0

NL: número de dados de escoamento superficial  
Colunas: 25 A 32  
FORMAT: F8.0

A partir do 5º Cartão:

CHUV: dados de precipitação efetiva

Colunas: 1 A 72

FORMAT: 9 F8.0

Após término dos dados de precipitação efetiva:

ESCO: dados de escoamento superficial

Colunas: 1 A 72

FORMAT: 9 F8.0

## SUBROTINA PARA A REPRODUÇÃO DE HIDRÓGRAFAS (REPRO)

### 1º Cartão

LABEL: Cartão Label representando o título do programa

Colunas: 1 A 80

FORMAT: 20 A 4

### 2º Cartão

LABEA: Cartão Label representando o nome do rio e do posto analisado

Colunas: 1 A 80

FORMAT: 20 A 4

### 3º Cartão

LABEB: Cartão Label mostrando data da cheia e área da bacia

Colunas: 1 A 80

FORMAT: 20 A 4

### 4º Cartão

LABEC: Cartão Label adicional

Colunas: 1 A 80

FORMAT: 20 A 4

## 5º Cartão

LL: Número de dados de precipitação efetiva

Colunas: 1 A 3

FORMAT: I3

## 6º Cartão

CHUV: Intensidades de precipitação efetiva

Colunas: 1 A 60

FORMAT: 10 F 6.0

APENDICE B  
RESULTADOS

- B.1 - Rio Piraquara  
B.2 - Rio das Pedras

APENDICE B

B.1 - Rio Piraquara

\*\*\*\*\*  
\* HIDROGRAFA UNITARIA \*  
\* RIO PIRAUARA \*  
\* DATA = 26-29/3/71 \*  
\* METODO DE SHERMAN \*  
\* POSTO = MAGALHAES RASTOS \*  
\* AREA DE DRENAGEM = 13 KM2 \*  
\*\*\*\*\*

HIDROGRAFA -UNITARIA-(T= 1.0H.)

UNIDADE = M3/S  
UNIDADE = M3/S

INST. DRENAGEM

0.00--	0.000
0.50--	10.731
1.00--	22.027
1.50--	12.136
2.00--	7.328
2.50--	5.627
3.00--	4.490
3.50--	3.212
4.00--	2.499
4.50--	1.673
5.00--	1.243
5.50--	0.784
6.00--	0.381
6.50--	0.092
7.00--	0.000

Graf. B-1.2

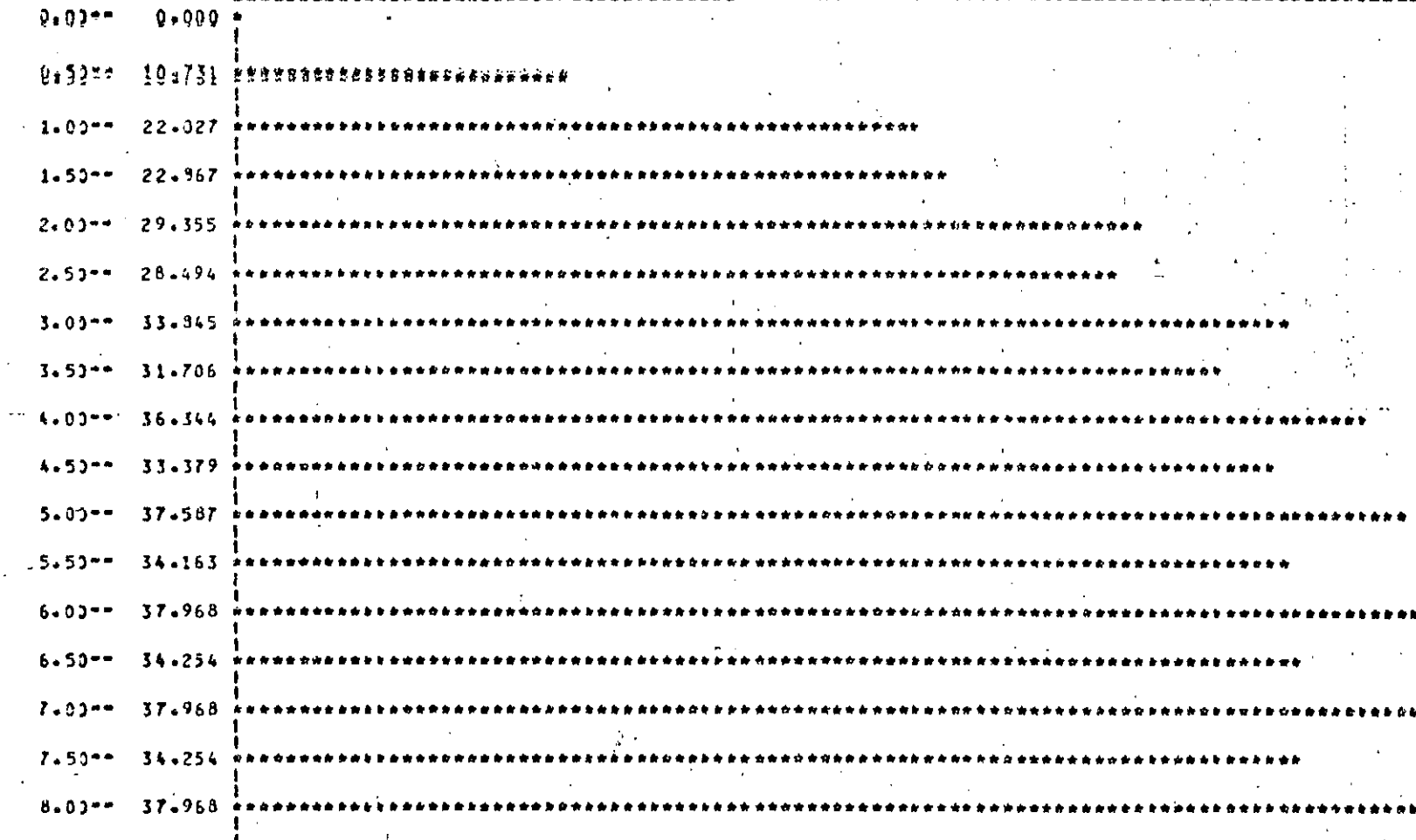
121

HIDROGRAFA UNITARIA  
RIO PIRAUARA  
DATA = 28-29/3/71

METODO DE SHERMAN  
POSTO = MAGALHAES RASTOS  
AREA DE DRENAGEM = 13 KM<sup>2</sup>

GRÁFICO DA CURVA-S

INST. URDENADA



## GRAFICO DA CURVA-S SUAVIZADA

INST. ORDENADA

0.00-- 0.000 \*

0.50-- 10.731 \*\*\*

1.00-- 22.027 \*\*\*\*

1.50-- 25.407 \*\*\*\*\*

2.00-- 28.070 \*\*\*\*\*

2.50-- 30.190 \*\*\*\*\*

3.00-- 31.310 \*\*\*\*\*

3.50-- 32.550 \*\*\*\*\*

4.00-- 33.590 \*\*\*\*\*

4.50-- 34.860 \*\*\*\*\*

5.00-- 35.260 \*\*\*\*\*

5.50-- 35.640 \*\*\*\*\*

6.00-- 35.870 \*\*\*\*\*

6.50-- 36.010 \*\*\*\*\*

7.00-- 36.030 \*\*\*\*\*

7.50-- 36.040 \*\*\*\*\*

8.00-- 36.040 \*\*\*\*\*

Gráf. B-1.4

GRAFICO DA HIDROGRAFA UNITÁRIA DERIVADA (T= 0-5H.)

INST. ORDENADA

0.03-- 0.000 \*

0.53-- 21.462 \*\*\*\*\*

1.03-- 22.592 \*\*\*\*\*

1.53-- 6.760 \*\*\*\*\*

2.03-- 5.326 \*\*\*\*\*

2.53-- 4.240 \*\*\*\*\*

3.03-- 2.240 \*\*\*\*\*

3.53-- 2.480 \*\*\*\*\*

4.03-- 2.080 \*\*\*\*\*

4.53-- 2.540 \*\*\*\*\*

5.03-- 0.300 \*\*\*

5.53-- 0.760 \*\*

6.03-- 0.460 \*

6.53-- 0.290 \*

7.03-- 0.060 \*

7.53-- 0.020 \*

8.03-- 0.000 \*

Graf. B-1.5

\* \* \* \* \* HIDROGRAFA UNITARIA \* \* \* \* \*  
 \* \* RIO PIRACUARA \* \* METODO DE SHERMAN \* \*  
 \* \* DATA = 28-29/3/71 \* \* POSTO = MAGALHAES RASTOS \* \*  
 \* \* \* \* \* AREA DE DRENAGEM = 13 K42 \* \* \* \* \*

GRAFICO DA HIDROGRAFA UNITARIA DERIVADA SUAVIZADA (T= 0.5H.)

INST. URDENADA

0.00-- 0.000

0.50-- 20.962

1.00-- 23.192

1.50-- 6.760

2.00-- 5.351

2.50-- 4.245

3.00-- 3.080

3.50-- 2.755

4.00-- 1.860

4.50-- 1.370

5.00-- 0.900

5.50-- 0.610

6.00-- 0.300

6.50-- 0.000

7.00-- 0.000

7.50-- 0.000

8.00-- 0.000

Graf. B-1.6

125

Tab. B-1.2

\*\*\*\*\*  
 \* HIDROGRAFA UNITARIA \*  
 \* RIO PIRAUARA \*  
 \* DATA = 28-29/3/71 \*  
 \* METODO DE SNYDER \*  
 \* POSTO = MAGALHAES BASTOS \*  
 \* AREA DE DRENAGEM = 13 K42 \*

A = 13.00 KM<sup>2</sup>      L = 10.00 KM.      LA = 5.40 KM.

T<sub>P</sub> = 0.65 HS.      T<sub>PRA</sub> = 0.75 HS.      T = 3.09 KM.

Q<sub>PR</sub> = 1.78 M<sup>3</sup>/S/KM<sup>2</sup>      AQ<sub>PR</sub> = 23.19 M<sup>3</sup>/S

### COEFICIENTES DE SNYDER

CT = 0.26

CP = 0.19

\* HIDROGRAFA UNITARIA = METODO DE SHERMAN  
 \* RIO PIRACUAMA = POSTO MAGALHAES RASTOS  
 \* DATA = 28-29/3/71 = AREA DE DRENAGEM = 13 KM<sup>2</sup>  
\*\*\*\*\*

CALCULO DA HIDROGRAFA UNITARIA (T= 1.0H.)

UNIDADE = M<sup>3</sup>/S

INST.	HIDROGRAFA OBSERVADA	DESCARGAS DE BASE	ESCOAMENTO SUPERFICIAL	HIDROGRAFA UNITARIA
0.0	0.30	0.90	0.00	0.00
0.5	4.70	0.90	3.80	10.73
1.0	8.70	0.90	7.80	22.03
1.5	5.23	0.95	4.30	12.14
2.0	3.56	0.97	2.60	7.33
2.5	2.99	1.00	1.99	5.63
3.0	2.62	1.03	1.59	4.49
3.5	2.20	1.06	1.14	3.21
4.0	1.98	1.10	0.98	2.50
4.5	1.72	1.13	0.59	1.57
5.0	1.60	1.15	0.44	1.24
5.5	1.47	1.19	0.29	0.79
6.0	1.36	1.22	0.14	0.33
6.5	1.29	1.26	0.03	0.09
7.0	1.29	1.29	0.00	0.00
VOLUMES (1.H=M <sup>3</sup> /S)	41.61	16.04	25.57	72.22
ALTURAS (CM.)	0.58	0.22	0.35	1.00

DERIVACAO DE HIDROGRAFA UNITARIA - CURVA-S

UNIDADE = M<sup>3</sup>/S

HIDROGRAFA UNITARIA (T= 1.0H.)	CURVA-S	CURVA-S SUAVIZADA	HIDROGRAFA UNITARIA (T= 0.5H.)	HIDROGRAFA UNITARIA SUAVIZADA (T= 0.5H.)
0.30	0.30	0.00	0.00	0.00
10.73	10.73	10.73	21.45	20.86
22.03	22.03	22.03	22.59	23.19
12.14	22.37	25.41	5.75	6.75
7.33	29.35	29.07	2.33	5.33
5.63	28.49	30.19	4.24	4.25
4.49	33.94	31.31	2.24	3.09
3.21	31.71	32.56	2.46	2.76
2.50	36.34	35.59	2.99	1.86
1.87	37.38	34.86	2.59	1.37
1.24	31.59	35.20	0.93	0.90
0.79	34.16	35.97	7.66	6.61
0.38	37.97	35.87	4.66	0.30
0.09	34.25	35.71	2.20	0.00
0.30	37.97	35.04	0.94	0.00
0.30	34.25	35.04	0.20	0.00
0.00	37.07	35.00	0.00	0.00

Tab. B-1.1

HIDROGRAFIA UNITARIA  
METODO DE SHERMAN  
RIO PIRACUARA  
POSTO = MAGALHAES BASTOS  
DATA = 29-29/3/71  
AREA DE DRENAGEM = 13 K42

HIDROGRAMA

UNIDADE = M3/S

INST. ORDENADA

0.00--	0.900
0.50--	4.700
1.00--	8.700
1.50--	5.230
2.00--	3.560
2.50--	2.990
3.00--	2.620
3.50--	2.200
4.00--	1.980
4.50--	1.720
5.00--	1.600
5.50--	1.470
6.00--	1.350
6.50--	1.290
7.00--	1.293

\* HIDROGRAFA UNITARIA \* METODO DO SOIL CONSERVATION SERVICE \*  
 \* RIO PIRAUARA \* POSTO \* MAGALHAES BASTOS \*  
 \* DATA \* 28-29/3/71 \* AREA DE DRENAGEM \* 13 KM2 \*

TR= 0.50H. TP= 1.00H. T= 6.50H.

AL= 10.00M H= 4.57M TC= 4.77

### PARAMETROS DA HIDROGRAFA UNITARIA TRIANGULAR

ALFA= 0.16 HH= 4.20

Tab. B-1.3

128

### CALCULO DA HIDROGRAFA UNITARIA (T= 0.5HRS.)

UNIDADE = M3/S

INST.	HIDROGRAFA OBSERVADA	DESCARGAS DE BASE	ESCOAMENTO SUPERFICIAL	HIDROGRAFA UNITARIA SHERMAN	HIDROGRAFA UNITARIA TRIANGULAR
0.00	0.90	0.90	0.00	0.00	0.00
0.50	4.700	0.93	3.80	20.85	5.56
1.00	8.700	0.90	7.80	23.19	11.11
1.50	5.233	0.93	4.30	6.76	10.19
2.00	3.233	0.97	2.60	5.33	9.26
2.50	2.233	0.97	1.99	4.25	9.33
3.00	2.600	1.03	1.59	3.08	7.41
3.50	2.200	1.05	1.14	2.76	6.48
4.00	1.980	1.10	0.89	1.86	5.66
4.50	1.720	1.13	0.59	1.37	4.53
5.00	1.62	1.15	0.44	0.90	3.50
5.50	1.62	1.19	0.26	0.61	2.78
6.00	1.35	1.22	0.14	0.30	1.55
6.50	1.29	1.22	0.03	0.00	0.93

GRAFICO DA HIDROGRAFA UNITARIA TRIANGULAR

INST. URDENADA

0.03-- 0.000

0.50-- 5.556

1.00-- 11.111

1.50-- 10.185

2.00-- 9.259

2.50-- 8.333

3.00-- 7.407

3.50-- 6.481

4.00-- 5.556

4.50-- 4.630

5.00-- 3.704

5.50-- 2.778

6.00-- 1.852

6.50-- 0.926

7.00-- 0.000

Gráf. B-1.8

Tab. B-1.4

\* HIDROGRAFA UNITARIA  
 \* RIO PIRAJARA  
 \* DATA = 28-29/3/71

\* METODO DE COMMONS  
 \* POSTO = MAGALHAES BASTOS  
 \* AREA DE DRENAGEM = 13 KM<sup>2</sup>

## ORDENADAS DA HIDROGRAFA BASICA ADIMENSIONAL

TEMPO	DESCARGA
5.	0.00
10.	14.00
15.	50.00
20.	60.00
25.	40.00
30.	20.00
35.	12.00
40.	9.00
45.	7.56
50.	6.92
55.	6.30
60.	5.67
65.	5.04
70.	4.41
75.	3.78
80.	3.15
85.	2.52
90.	1.89
95.	1.26
100.	0.53
105.	0.00

Tab. B-1.5

ORDENADAS DA HIDROGRAFA UNITARIA - (T= 0.5H.)

INST. (H.)	HIDROGRAFA UNITARIA (H3/S)
0.00	0.00
0.36	3.92
0.71	21.13
1.07	25.35
1.43	16.90
1.79	3.45
2.14	5.07
2.50	3.86
2.86	3.19
3.21	2.62
3.57	2.66
3.93	2.40
4.29	2.13
4.64	1.86
5.00	1.60
5.36	1.33
5.71	1.06
6.07	0.80
6.43	0.53
6.79	0.27
7.14	0.00

ORDENADA UNITARIA  
RIO PIRAJA  
DATA = 28-29/3/71

NEFOLIS SE CORREGIDA  
POSICAO MAGALHAES = 11535  
AREA DE DRENAGEM = 13.442

APR = 1.00H.

TUE = 0.07H.

S = 7.14H.

V = 130000.00M3

A0 = 0.42K3/S

GP = 25.35K3/S

## HIDROGRAFA ADIMENSIONAL DE COMMONS

INST. ORDENADA

0.00--	0.000
5.00--	14.000
10.00--	50.000
15.00--	60.000
20.00--	40.000
25.00--	20.000
30.00--	12.000
35.00--	9.000
40.00--	7.560
45.00--	6.920
50.00--	6.300
55.00--	5.670
60.00--	5.040
65.00--	4.410
70.00--	3.780
75.00--	3.150
80.00--	2.520
85.00--	1.890
90.00--	1.260
95.00--	0.630
100.00--	0.000

\* HIDROGRAFA UNITARIA  
 \* RIO PIRACUARA  
 \* DATA = 29-29/3/71  
 \* METODO DE COMMONS  
 \* POSTO = MAGALHAES HASTOS  
 \* AREA DE DRENAGEM = 13 K42

HIDROGRAFA UNITARIA DE COMMONS- (T= 0.50H.)

INST. URDFNADA

0.00-- 0.000

0.36-- 3.915

0.71-- 21.126

1.07-- 25.352

1.43-- 16.901

1.79-- 8.451

2.14-- 5.070

2.50-- 3.803

2.86-- 3.194

3.21-- 2.924

3.57-- 2.662

3.93-- 2.396

4.29-- 2.130

4.64-- 1.863

5.00-- 1.597

5.35-- 1.331

5.71-- 1.065

6.07-- 0.799

6.43-- 0.532

6.79-- 0.266

7.16-- 0.030

HIDROGRAFIA UNITARIA  
 RIO PIRAUARA  
 DATA=23-29/3/71

METODO DE CLARK  
 POSTO = MAGALHAES BASTOS  
 AREA DE DRENAGEM = 13KM<sup>2</sup>

TEMPO (H.)	DIAGRAMA TEMPO-AREA (KM <sup>2</sup> )	M <sub>1</sub> X I (M <sup>3</sup> /S)	M <sub>2</sub> X Q1 (M <sup>3</sup> /S)	Q2=HUI (M <sup>3</sup> /S)	H.U. (T=0.5HR.) (M <sup>3</sup> /S)
0.00	0.00	0.00	0.00	0.00	0.00
1.00	0.00	0.00	0.29	0.00	0.00
1.33	0.00	0.00	0.69	0.00	0.00
1.67	0.00	0.00	0.98	0.00	0.00
2.00	0.00	0.00	1.27	0.00	0.00
2.33	0.00	0.00	1.57	0.00	0.00
2.67	0.00	0.00	1.86	0.00	0.00
3.00	0.00	0.00	2.15	0.00	0.00
3.33	0.00	0.00	2.44	0.00	0.00
3.67	0.00	0.00	2.73	0.00	0.00
4.00	0.00	0.00	3.02	0.00	0.00
4.33	0.00	0.00	3.31	0.00	0.00
4.67	0.00	0.00	3.60	0.00	0.00
5.00	0.00	0.00	3.89	0.00	0.00
5.33	0.00	0.00	4.18	0.00	0.00
5.67	0.00	0.00	4.47	0.00	0.00
6.00	0.00	0.00	4.76	0.00	0.00
6.33	0.00	0.00	5.05	0.00	0.00
6.67	0.00	0.00	5.34	0.00	0.00
7.00	0.00	0.00	5.63	0.00	0.00
7.33	0.00	0.00	5.92	0.00	0.00
7.67	0.00	0.00	6.21	0.00	0.00
8.00	0.00	0.00	6.50	0.00	0.00
8.33	0.00	0.00	6.79	0.00	0.00
8.67	0.00	0.00	7.08	0.00	0.00
9.00	0.00	0.00	7.37	0.00	0.00
9.33	0.00	0.00	7.66	0.00	0.00
9.67	0.00	0.00	7.95	0.00	0.00
10.00	0.00	0.00	8.24	0.00	0.00
10.33	0.00	0.00	8.53	0.00	0.00
10.67	0.00	0.00	8.82	0.00	0.00
11.00	0.00	0.00	9.11	0.00	0.00
11.33	0.00	0.00	9.40	0.00	0.00
11.67	0.00	0.00	9.69	0.00	0.00
12.00	0.00	0.00	9.98	0.00	0.00
12.33	0.00	0.00	10.27	0.00	0.00
12.67	0.00	0.00	10.56	0.00	0.00
13.00	0.00	0.00	10.85	0.00	0.00
13.33	0.00	0.00	11.14	0.00	0.00
13.67	0.00	0.00	11.43	0.00	0.00
14.00	0.00	0.00	11.72	0.00	0.00
14.33	0.00	0.00	12.01	0.00	0.00
14.67	0.00	0.00	12.30	0.00	0.00
15.00	0.00	0.00	12.59	0.00	0.00
15.33	0.00	0.00	12.88	0.00	0.00
15.67	0.00	0.00	13.17	0.00	0.00
16.00	0.00	0.00	13.46	0.00	0.00
16.33	0.00	0.00	13.75	0.00	0.00
16.67	0.00	0.00	14.04	0.00	0.00
17.00	0.00	0.00	14.33	0.00	0.00
17.33	0.00	0.00	14.62	0.00	0.00
17.67	0.00	0.00	14.91	0.00	0.00
18.00	0.00	0.00	15.20	0.00	0.00
18.33	0.00	0.00	15.49	0.00	0.00
18.67	0.00	0.00	15.78	0.00	0.00
19.00	0.00	0.00	16.07	0.00	0.00
19.33	0.00	0.00	16.36	0.00	0.00
19.67	0.00	0.00	16.65	0.00	0.00
20.00	0.00	0.00	16.94	0.00	0.00
20.33	0.00	0.00	17.23	0.00	0.00
20.67	0.00	0.00	17.52	0.00	0.00
21.00	0.00	0.00	17.81	0.00	0.00
21.33	0.00	0.00	18.10	0.00	0.00
21.67	0.00	0.00	18.39	0.00	0.00
22.00	0.00	0.00	18.68	0.00	0.00
22.33	0.00	0.00	18.97	0.00	0.00
22.67	0.00	0.00	19.26	0.00	0.00
23.00	0.00	0.00	19.55	0.00	0.00
23.33	0.00	0.00	19.84	0.00	0.00
23.67	0.00	0.00	20.13	0.00	0.00
24.00	0.00	0.00	20.42	0.00	0.00
24.33	0.00	0.00	20.71	0.00	0.00
24.67	0.00	0.00	21.00	0.00	0.00
25.00	0.00	0.00	21.29	0.00	0.00
25.33	0.00	0.00	21.58	0.00	0.00
25.67	0.00	0.00	21.87	0.00	0.00
26.00	0.00	0.00	22.16	0.00	0.00
26.33	0.00	0.00	22.45	0.00	0.00
26.67	0.00	0.00	22.74	0.00	0.00
27.00	0.00	0.00	23.03	0.00	0.00
27.33	0.00	0.00	23.32	0.00	0.00
27.67	0.00	0.00	23.61	0.00	0.00
28.00	0.00	0.00	23.90	0.00	0.00
28.33	0.00	0.00	24.19	0.00	0.00
28.67	0.00	0.00	24.48	0.00	0.00
29.00	0.00	0.00	24.77	0.00	0.00
29.33	0.00	0.00	25.06	0.00	0.00
29.67	0.00	0.00	25.35	0.00	0.00
30.00	0.00	0.00	25.64	0.00	0.00
30.33	0.00	0.00	25.93	0.00	0.00
30.67	0.00	0.00	26.22	0.00	0.00
31.00	0.00	0.00	26.51	0.00	0.00
31.33	0.00	0.00	26.80	0.00	0.00
31.67	0.00	0.00	27.09	0.00	0.00
32.00	0.00	0.00	27.38	0.00	0.00
32.33	0.00	0.00	27.67	0.00	0.00
32.67	0.00	0.00	27.96	0.00	0.00
33.00	0.00	0.00	28.25	0.00	0.00
33.33	0.00	0.00	28.54	0.00	0.00
33.67	0.00	0.00	28.83	0.00	0.00
34.00	0.00	0.00	29.12	0.00	0.00
34.33	0.00	0.00	29.41	0.00	0.00
34.67	0.00	0.00	29.70	0.00	0.00
35.00	0.00	0.00	30.00	0.00	0.00
35.33	0.00	0.00	30.29	0.00	0.00
35.67	0.00	0.00	30.58	0.00	0.00
36.00	0.00	0.00	30.87	0.00	0.00
36.33	0.00	0.00	31.16	0.00	0.00
36.67	0.00	0.00	31.45	0.00	0.00
37.00	0.00	0.00	31.74	0.00	0.00
37.33	0.00	0.00	32.03	0.00	0.00
37.67	0.00	0.00	32.32	0.00	0.00
38.00	0.00	0.00	32.61	0.00	0.00
38.33	0.00	0.00	32.90	0.00	0.00
38.67	0.00	0.00	33.19	0.00	0.00
39.00	0.00	0.00	33.48	0.00	0.00
39.33	0.00	0.00	33.77	0.00	0.00
39.67	0.00	0.00	34.06	0.00	0.00
40.00	0.00	0.00	34.35	0.00	0.00
40.33	0.00	0.00	34.64	0.00	0.00
40.67	0.00	0.00	34.93	0.00	0.00
41.00	0.00	0.00	35.22	0.00	0.00
41.33	0.00	0.00	35.51	0.00	0.00
41.67	0.00	0.00	35.80	0.00	0.00
42.00	0.00	0.00	36.09	0.00	0.00
42.33	0.00	0.00	36.38	0.00	0.00
42.67	0.00	0.00	36.67	0.00	0.00
43.00	0.00	0.00	36.96	0.00	0.00
43.33	0.00	0.00	37.25	0.00	0.00
43.67	0.00	0.00	37.54	0.00	0.00
44.00	0.00	0.00	37.83	0.00	0.00
44.33	0.00	0.00	38.12	0.00	0.00
44.67	0.00	0.00	38.41	0.00	0.00
45.00	0.00	0.00	38.70	0.00	0.00
45.33	0.00	0.00	39.00	0.00	0.00
45.67	0.00	0.00	39.29	0.00	0.00
46.00	0.00	0.00	39.58	0.00	0.00
46.33	0.00	0.00	39.87	0.00	0.00
46.67	0.00	0.00	40.16	0.00	0.00
47.00	0.00	0.00	40.45	0.00	0.00
47.33	0.00	0.00	40.74	0.00	0.00
47.67	0.00	0.00	41.03	0.00	0.00
48.00	0.00	0.00	41.32	0.00	0.00
48.33	0.00	0.00	41.61	0.00	0.00
48.67	0.00	0.00	41.90	0.00	0.00
49.00	0.00	0.00	42.19	0.00	0.00
49.33	0.00	0.00	42.48	0.00	0.00
49.67	0.00	0.00	42.77	0.00	0.00
50.00	0.00	0.00	43.06	0.00	0.00
50.33	0.00	0.00	43.35	0.00	0.00
50.67	0.00	0.00	43.64	0.00	0.00
51.00	0.00	0.00	43.93	0.00	0.00
51.33	0.00	0.00	44.22	0.00	0.00
51.67	0.00	0.00	44.51	0.00	0.00
52.00	0.00	0.00	44.80	0.00	0.00
52.33	0.00	0.00	45.09	0.00	0.00
52.67	0.00	0.00	45.38	0.00	0.00
53.00	0.00	0.00	45.67	0.00	0.00
53.33	0.00	0.00	45.96	0.00	0.00
53.67	0.00	0.00	46.25	0.00	0.00
54.00	0.00	0.00	46.54	0.00	0.00
54.33	0.00	0.00	46.83	0.00	0.00
54.67	0.00	0.00	47.12	0.00	0.00
55.00	0.00	0.00	47.41	0.00	0.00
55.33	0.00	0.00	47.70	0.00	0.00
55.67	0.00	0.00	48.00	0.00	0.00
56.00	0.00	0.00	48.29	0.00	0.00
56.33	0.00	0.00	48.58	0.00	0.00
56.67	0.00	0.00	48.87	0.00	0.00
57.00	0.00	0.00	49.16	0.00	0.00
57.33	0.00	0.00	49.45	0.00	0.00
57.67	0.00	0.00	49.74	0.00	0.00
58.00	0.00	0.00	50.03	0.00	0.00
58.33	0.00	0.00	50.32	0.00	0.00
58.67	0.00	0.00	50.61	0.00	0.00
59.00	0.00	0.00	50.90	0.00	0.00
59.33	0.00	0.00	51.19	0.00	0.00
59.67	0.00	0.00	51.48	0.00	0.00
60.00	0.00	0.00	51.77	0.00	0.00
60.33	0.00	0.00	52.06	0.00	0.00
60.67	0.00	0.00	52.35	0.00	0.00
61.00	0.00	0.00	52.64	0.00	0.00
61.33	0.00	0.00	52.93	0.00	0.00
61.67	0.00	0.00	53.22	0.00	0.00
62.00	0.00	0.00	53.51	0.00	0.00
62.33	0.00	0.00	53.80	0.00	0.00
62.67	0.00	0.00	54.09	0.00	0.00
63.00	0.00	0.00	54.38	0.00	0.00
63.33	0.00	0.00	54.67	0.00	0.00
63.67	0.00	0.00	54.96	0.00	0.00
64.00	0.00	0.00	55.25	0.00	0.00
64.33	0.00	0.00	55.54	0.00	0.00
64.67	0.00	0.00	55.83	0.00	0.00
65.00	0.00	0.00	56.12	0.00	0.00
65.33	0.00	0.00	56.41	0.00	0.00
65.67	0.00	0.00	56.70	0.00	0.00
66.00	0.00	0.00	57.00	0.00	0.00

## Gráf. B-1.11

RIO PIQUAQUARA  
DATA - 23-29/3/71

PÓSTO \* MAGALHÃES BASTOS  
ÁREA DE DRENAGEM \* 13 K42

GRAFICO DA HIDROGRAFA UNITARIA DERIVADA

SUAVIZADA (T = 0.5H.)

INST. URDENADA

0.00\*\* 0.000

0.50\*\* 20.362

1.00\*\* 23.192

1.50\*\* 6.760

2.00\*\* 5.351

2.50\*\* 4.245

3.00\*\* 3.030

3.50\*\* 2.755

4.00\*\* 1.860

4.50\*\* 1.370

5.00\*\* 0.900

5.50\*\* 0.610

6.00\*\* 0.500

6.50\*\* 0.000

7.00\*\* 0.000

7.50\*\* 0.000

8.00\*\* 0.000

W50

W75

Graf. B-1.7

127

HIDROGRAFA UNITARIA  
RIO PIRAMONARA  
DATA: 23-29/7/71

MÉTODO DE CLARK  
POSTO = MAGALHÃES BASTOS  
ÁREA DE DRENAGEM = 13Km<sup>2</sup>

HIDROGRAFA UNITARIA -T= 0.5Hr.

INST. ORDENADA

0.00-- 0.000

0.50-- 6.035

1.00-- 13.783

1.50-- 15.935

2.00-- 11.681

2.50-- 7.639

3.00-- 5.361

3.50-- 3.331

4.00-- 2.193

4.50-- 1.443

5.00-- 0.950

5.50-- 0.625

6.00-- 0.412

6.50-- 0.271

7.00-- 0.178

7.50-- 0.117

8.00-- 0.077

8.50-- 0.031

9.00-- 0.000

Gráf. B-1.12

136

HIDROGRAFA UNITARIA \*  
 RIO PIHAQUARA \*  
 DATA \* 28-29/3/71 \*  
 METODO DE NASH \*  
 PONTO = MAGALHAES BASTOS \*  
 AREA DE DRENAGEM = 13Km<sup>2</sup> \*

INST. (MIN.)	PRECIPITACAO EFETIVA (MM/H)	ESCOAMENTO SUPERFICIAL (M3/S)
0	0.00	0.000
300	0.55	0.000
600	0.20	3.800
900	0.00	7.800
1200	0.00	4.300
1500	0.00	2.600
1800	0.00	2.000
2100	0.00	1.600
2400	0.00	1.150
2700	0.00	0.9000
3000	0.00	0.610
3300	0.00	0.450
3600	0.00	0.300
3900	0.00	0.150
4200	0.00	0.050

#### MOMENTOS DAS PRECIPITACOES EFETIVAS E ESCOAMENTOS SUPERFICIAIS

MOMENTO DE ORDEM-1 DO ESCOAMENTO SUPERFICIAL = 2.313

MOMENTO DE ORDEM-2 DO ESCOAMENTO SUPERFICIAL = 6.951

MOMENTO DE ORDEM-1 DAS PRECIPITACOES EFETIVAS = 0.883

MOMENTO DE ORDEM-2 DAS PRECIPITACOES EFETIVAS = 0.929

## PARAMETROS DA HIDROGRAFA UNITARIA INSTANTANEA DE NASH

K = 1.085 HORAS

Nº 1.318

E

## ORDENADAS DA HIDROGRAFA UNITARIA INSTANTANEA

INST. (MIN.)	HIDROGRAFA UNITARIA INSTANTANEA
0	0.000
300	0.508
600	0.329
900	0.206
1200	0.128
1500	0.084
1800	0.054
2100	0.039
2400	0.030
2700	0.026
3000	0.017
3300	0.011
3600	0.007
3900	0.005
4200	0.003

## ORDENADAS DA HIDROGRAFA UNITARIA DE DURACAO 30 MINUTOS

INST. (MIN.)	HIDROGRAFA UNITARIA (M3/S)
0	0.000
300	9.169
600	16.373
900	12.325
1200	5.745
1500	5.997
1800	4.040
2100	2.591
2400	1.773
2700	1.153
3000	0.764
3300	0.497
3600	0.323
3900	0.209
4200	0.135

Tab. B-1.8

GRAFICO DA MIODGRAFA UNITARIA INSTANTANEA

INST. ORDENADA

0.00-- 0.000

30.00-- 0.503

60.00-- 0.399

90.00-- 0.286

120.00-- 0.198

150.00-- 0.134

180.00-- 0.090

210.00-- 0.059

240.00-- 0.039

270.00-- 0.026

300.00-- 0.017

330.00-- 0.011

360.00-- 0.007

390.00-- 0.005

420.00-- 0.003

139

Graf. B-1.13

GRAFICO DA HIDROGRAFA UVITARIA DE DURACAO 30-MINUTOS

INST. ORDENADA

0.00-- 0.000 \*

30.00-- 9.169 \*\*\*\*\*

60.00-- 16.378 \*\*\*\*\*

90.00-- 12.382 \*\*\*\*\*

120.00-- 8.748 \*\*\*\*\*

150.00-- 5.997 \*\*\*\*\*

180.00-- 4.040 \*\*\*\*\*

210.00-- 2.691 \*\*\*\*\*

240.00-- 1.778 \*\*\*\*\*

270.00-- 1.168 \*\*\*\*\*

300.00-- 0.764 \*\*\*\*\*

330.00-- 0.497 \*\*\*

360.00-- 0.323 \*

390.00-- 0.209 \*\*

420.00-- 0.135 \*

Gráf. B-1.14

140

\*\*\*\*\*  
 \* HIDROGRAFA UNITARIA \*  
 \* RIO PIRAUARA \*  
 \* DATA=23-29/3/71 \*  
 \* METODO DE DOODGE \*  
 \* POSTO = MAGALHAES BASTOS \*  
 \* AREA DE DRENAGEM= 13KM2 \*  
 \*\*\*\*\*

DIAGRAMA TEMPO-AREA (KM2)	HIDROGRAFA UNITARIA INSTANTANEA (M3/S)	HIDROGRAFA UNITARIA (T=0.5H.) (M3/S)
2.54	0.00	0.30
6.58	15.01	8.50
3.78	18.77	17.39
	15.34	17.36
	10.11	12.73
	5.86	7.99
	3.13	4.50
	1.53	2.35
	0.76	1.17
	0.36	0.56
	0.16	0.26
	0.07	0.12
	0.03	0.05
	0.03	0.03
	0.00	0.00

#### PARAMETROS UTILIZADOS

Nº 3       $\tau = 0.50$  H.       $TG = 1.50$

V0= 130000±00 M3

Tab. B-1.9

GRAFICO DA HIDROGRAFA UNITARIA INSTANTANEA

INF. ORDEMADA

0.03-- 0.000 \*

0.53-- 16.010 \*

1.03-- 18.771 \*

1.53-- 15.345 \*

2.03-- 10.111 \*

2.53-- 5.953 \*

3.03-- 3.130 \*

3.53-- 1.577 \*

4.03-- 0.762 \*

4.53-- 0.356 \*

5.03-- 0.162 \*

5.53-- 0.072 \*

6.03-- 0.032 \*

6.53-- 0.032 \*

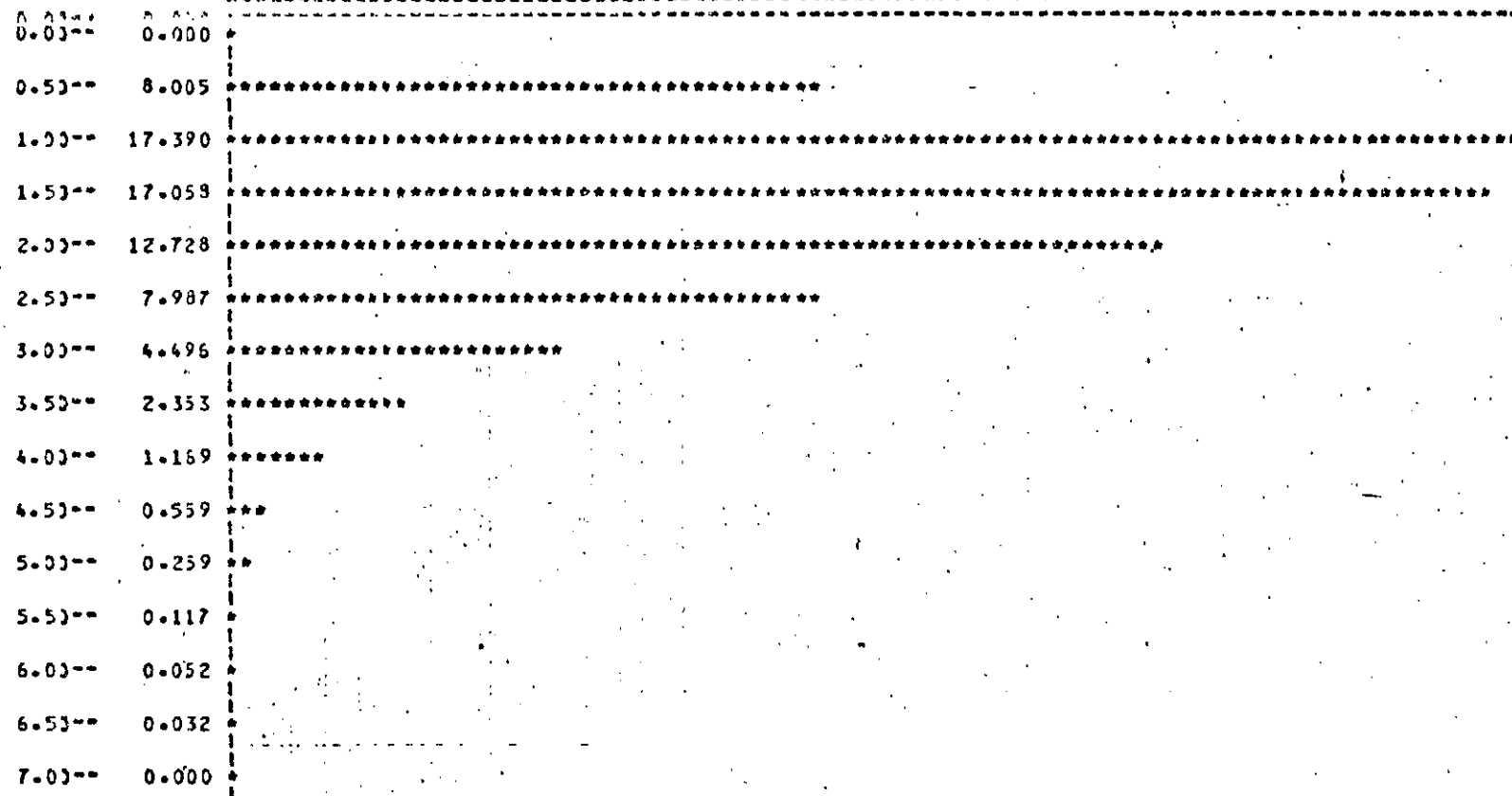
7.03-- 0.000 \*

Graf. B-1.15

142

GRAFICO DA HIDROGRAFA UNITARIA DE DURACAO 30. MINUTOS

TNST. URGENADA



Graf. B-1.16

143

HIDROGRAFA UNITARIA  
 RIO PIRACUARA  
 DATA: 26-29/3/71

METODO DE JODGE  
 POSTO: MAGALHAES BASTOS  
 AREA DE DRENAGEM: 13KM<sup>2</sup>

DIAGRAFA TEMPO-AREA (K42)	HIDROGRAFA UNITARIA	HIDROGRAFA UNITARIA
	INSTANTANEA (M3/S)	(T=0.5H.) (M3/S)
1.09	0.00	0.30
1.35	4.91	0.30
2.35	9.43	6.31
2.33	13.69	10.56
2.39	17.32	13.78
1.60	19.13	7.74
	19.91	3.37
	16.99	1.21
	13.96	0.38
	10.56	0.10
	7.43	0.33
	4.91	0.31
	3.02	0.30
	1.94	0.30
	1.06	0.30
	0.59	0.30
	0.32	0.30
	2.17	0.30
	0.09	0.30
	0.04	0.30
	0.02	0.30
	0.01	0.30
	0.00	0.30
	0.00	0.30
	0.00	0.30
	0.00	0.30
	0.00	0.30
	0.00	0.30

#### PARAMETROS UTILIZADOS

$$V = 6 \quad \zeta = 0.25 \text{ H.} \quad T_C = 1.50$$

$$V_0 = 130000.00 \text{ M}^3$$

Tab. B-1.10

## GRAFICO DA HIDROGRAFA UNITARIA INSTANTANEA

INST. ORDEMADA

0.00--	0.000
0.25--	4.912
0.50--	9.428
0.75--	13.687
1.00--	17.324
1.25--	19.129
1.50--	18.914
1.75--	16.990
2.00--	13.957
2.25--	10.562
2.50--	7.431
2.75--	4.959
3.00--	3.073
3.25--	1.937
3.50--	1.055
3.75--	0.586
4.00--	0.316
4.25--	0.166
4.50--	0.085
4.75--	0.043
5.00--	0.021
5.25--	0.010
5.50--	0.005

Gráf. B-1.17

GRÁFICO DA VELOCIDADE UNITÁRIA DE DIFUSÃO 30 MINUTOS

INST. ORDENADA

0.03-- 0.000

0.53-- 9.332

1.03-- 16.433

1.53-- 18.160

2.03-- 13.770

2.53-- 7.736

3.03-- 3.373

3.53-- 1.211

4.03-- 0.376

4.53-- 0.131

5.03-- 0.037

5.53-- 0.006

6.03-- 0.001

6.53-- 0.000

Gráf. B-1.18

146

HIDROGRAFIA UNITARIA  
RIO PIRACUAMA  
DATA = 28-29/3/71

MÉTODO DE INVERSAÇÃO DE MATRIZES  
PÓSTO = MAGALHÃES BASTOS  
ÁREA DE DRENAGEM = 13 KM<sup>2</sup>

## MATRIZ DE PRECIPITACIONES

## TRANSPOSADA DA MATRIZ DE PRECIPITAÇÕES

Tab. B-1.13

## HIDROGRAFA UNITARIA DE DURACION 30. MINUTOS

INST. (MIN.)	VOL. UNI. EF= T= V0 (MM)	ESCOAMENTO SUPERFICIAL (M3/S)	HIDROGRAFA UNITARIA
0.0	0.29	0.000	0.00000
1.0	0.29	0.000	0.13200
2.0	0.29	0.000	0.33600
3.0	0.29	0.000	0.53900
4.0	0.29	0.000	0.74200
5.0	0.29	0.000	0.94400
6.0	0.29	0.000	1.14600
7.0	0.29	0.000	1.34900
8.0	0.29	0.000	1.55200
9.0	0.29	0.000	1.75400
10.0	0.29	0.000	1.95600
11.0	0.29	0.000	2.15800
12.0	0.29	0.000	2.36000
13.0	0.29	0.000	2.56200
14.0	0.29	0.000	2.76400
15.0	0.29	0.000	2.96600
16.0	0.29	0.000	3.16800
17.0	0.29	0.000	3.37000
18.0	0.29	0.000	3.57200
19.0	0.29	0.000	3.77400
20.0	0.29	0.000	3.97600
21.0	0.29	0.000	4.17800
22.0	0.29	0.000	4.38000
23.0	0.29	0.000	4.58200
24.0	0.29	0.000	4.78400
25.0	0.29	0.000	4.98600
26.0	0.29	0.000	5.18800
27.0	0.29	0.000	5.39000
28.0	0.29	0.000	5.59200
29.0	0.29	0.000	5.79400
30.0	0.29	0.000	5.99600

MATRIZ Z = C10U8 X A

GRAFICO DA HIDROGRAFA UNITARIA DE DURACAO 30 MINUTOS

INST. ORDENADA

0.03-- 0.000

30.03-- 13.313

60.03-- 23.339

90.03-- 7.153

120.03-- 6.355

150.03-- 4.730

180.03-- 4.030

210.03-- 2.693

240.03-- 2.292

270.03-- 1.385

300.03-- 1.170

330.03-- 0.664

360.03-- 0.344

390.03-- 0.082

420.03-- 0.000

Gráf. B-1.20

151

APENDICE B

B.2 - Rio das Pedras

\* HIDROGRAFA UNITARIA  
 \* PTO. DAS PODOAS  
 \* DATA=4-5/10/72  
 \* METRICO DE SH. RMAS.  
 \* PINTO = 9A HIG. M  
 \* AREA DE DRENAGE = 24 K42

CALCULO DA HIDROGRAFA UNITARIA (T = 1.2H.)

UNIDADE = M3/S

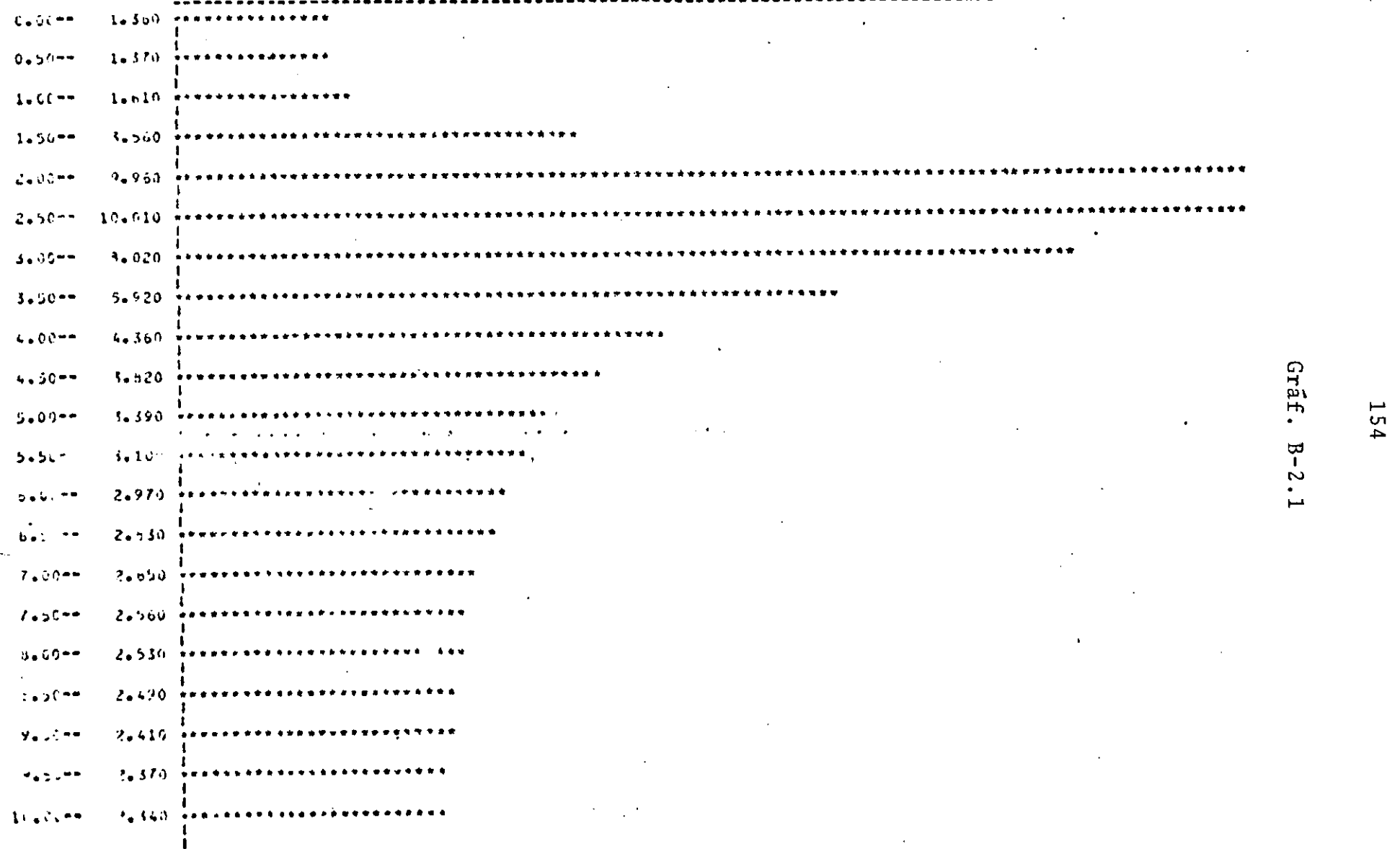
INST.	HIDROGRAFA DESEJADA	DESCARGAS DE BASE	ESCOAMENTO SUPERFICIAL	HIDROGRAFA UNITARIA
0.0	1.36	1.36	0.00	0.00
0.5	1.37	1.36	0.01	0.13
1.0	1.51	1.50	0.20	0.77
1.5	1.56	1.56	0.30	6.79
2.0	1.59	1.59	0.30	25.52
2.5	1.61	1.36	0.30	26.00
3.0	1.62	1.43	0.30	26.34
3.5	1.92	1.49	0.43	14.50
4.0	1.36	1.36	0.20	3.22
4.5	1.32	1.12	0.20	6.78
5.0	1.39	1.59	0.70	5.25
5.5	1.10	1.75	1.00	4.10
6.0	1.97	1.82	1.10	3.40
6.5	1.13	1.13	0.90	2.92
7.0	1.09	1.95	0.70	2.17
7.5	1.66	2.01	0.50	1.69
8.0	1.55	2.08	0.40	1.39
8.5	1.49	2.14	0.30	1.07
9.0	1.41	2.01	0.20	0.62
9.5	1.37	2.27	0.10	0.24
10.0	2.34	2.34	0.00	0.00
VOLUME(S 1.H=43/5)	79.63	36.40	43.23	133.33
ALTURAS ( CH. )	0.60	0.27	0.37	1.00

Tab. B-2.1

## ALTO-GARAYA

UNIDADE = M<sup>3</sup>/S

INST. CF32440A



Gráf. B-2.1

## HIDROGRAFA UNITARIA-(T= 1.H.)

UNIDADE = M3/S

EST. C. 25640A

0.00--	1.000
0.50--	3.031
1.00--	7.771
1.50--	14.785
2.00--	24.525
2.50--	26.672
3.00--	21.540
3.50--	13.161
4.00--	5.648
4.50--	5.761
5.00--	5.254
5.50--	4.153
6.00--	3.555
6.50--	2.922
7.00--	2.155
7.50--	1.686
8.00--	1.392
8.50--	1.067
9.00--	0.619
9.50--	0.294
10.00--	0.000

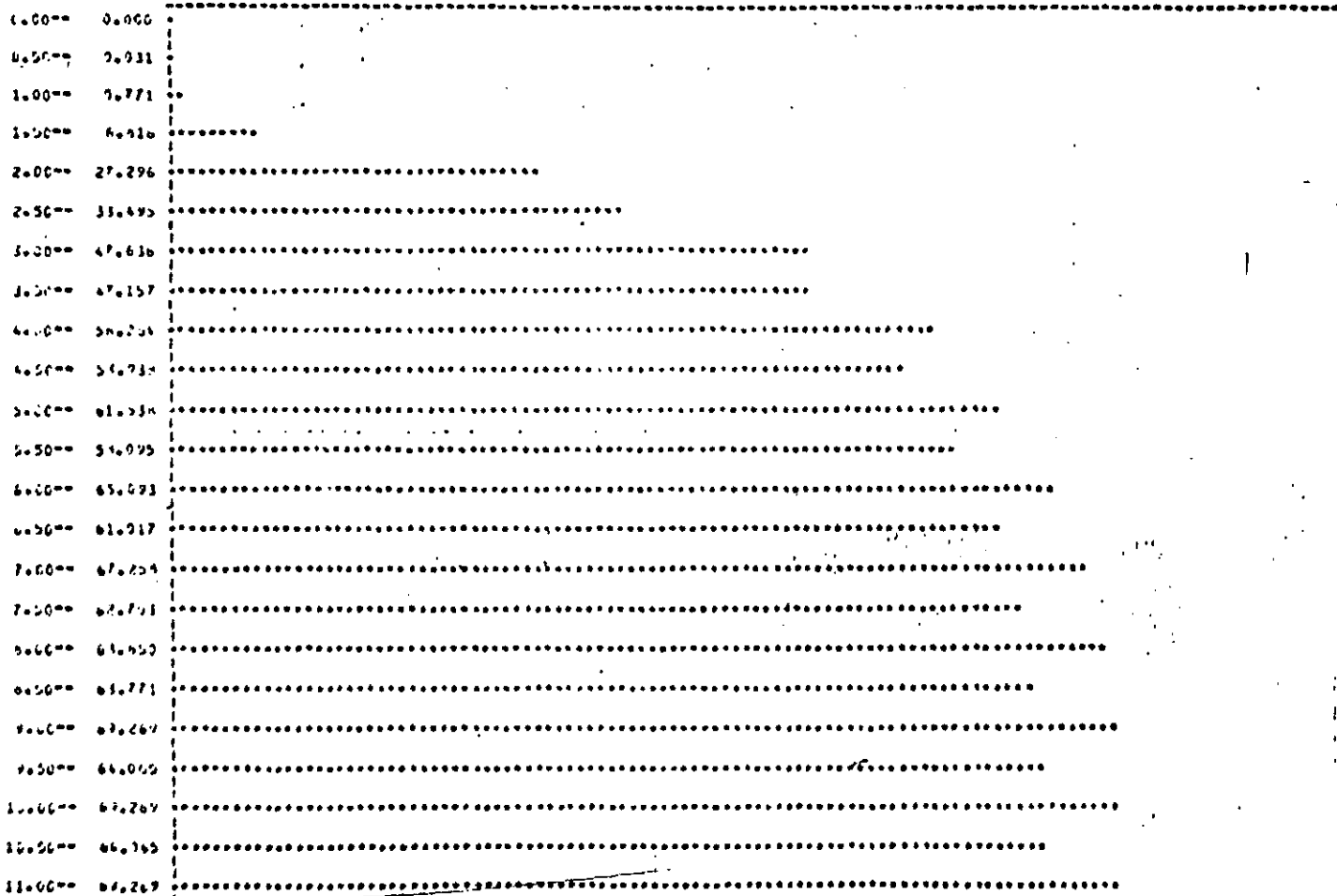
Graf. B-2.2

155.

Graf. B-2.3.

## GRAFICO DA CATEGORIA

INST. CATEGORIA



Tab. B-1.14

HIDROGRAFA UNITARIA  
 RIO PIRACUAMA  
 DATA 28-29/3/71

METRÔDIO DE DETERMINAÇÃO  
 POSTO X MATAPIRES BASTOS  
 ÁREA DE DRENAGEM 13 KM<sup>2</sup>

INST. (MIN.)	PRECIPITACAO EFETIVA (CM/H)	ESCOAMENTO SUPERFICIAL (CM <sup>3</sup> /S)
0	0.000	0.0000
30	0.550	0.0000
60	0.200	3.8000
90	0.000	7.8000
120	0.000	4.3000
150	0.000	2.6000
180	0.000	2.0000
210	0.300	1.6000
240	0.000	1.1500
270	0.000	0.9000
300	0.000	0.6100
330	0.000	0.4600
360	0.000	0.3000
390	0.000	0.1600
420	0.000	0.0800
450	0.000	0.0000

## CHUVA EFETIVA E ESCOAMENTO SUPERFICIAL REPRODUZIDOS

INST. (MIN.)	PRECIPITACAO (CM/H)	ESCOAMENTO (CM <sup>3</sup> /S)
0	0.000	0.000
30	0.550	0.000
60	0.200	3.800
90	0.000	7.800
120	0.000	4.300
150	0.000	2.600
180	0.000	2.000
210	0.300	1.600
240	0.000	1.150
270	0.000	0.900
300	0.000	0.610
330	0.000	0.460
360	0.000	0.300
390	0.000	0.150
420	0.000	0.080
450	0.000	0.000

## ORDENADAS DA HIDROGRAFA UNITARIA DE PERÍODO 30 MINUTOS

INST. (MIN.)	HIDROGRAFA UNITARIA (CM <sup>3</sup> /S)
30	0.0000
60	13.8131
90	23.3348
120	7.1655
150	5.3567
180	1.7821
210	1.0500
240	2.3233
270	2.2916
300	1.3349
330	1.1591
360	0.5557
390	0.3197
420	0.0946
450	-0.0344
480	0.0125

GRAFICO DA HIDROGRAFA UNITARIA DE DURACAO 30 MINUTOS

INST. URDENADA

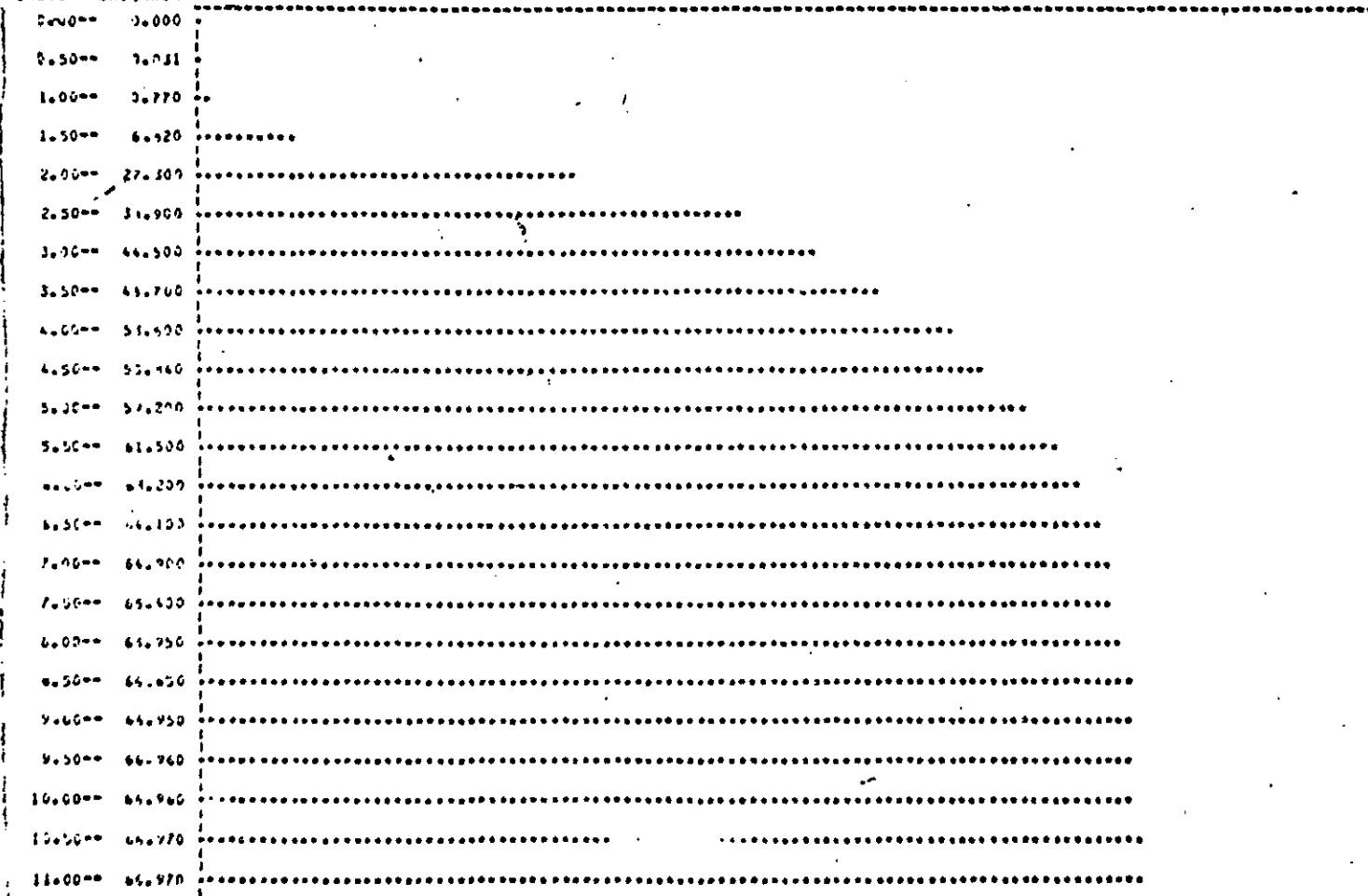
3.00--	0.000
30.00--	13.918
60.00--	23.339
90.00--	7.149
120.00--	6.855
150.00--	4.780
180.00--	4.080
210.00--	2.698
240.00--	"
240.00--	2.292
270.00--	1.385
300.00--	1.169
330.00--	0.666
360.00--	0.360
390.00--	0.075
420.00--	-0.034
450.00--	0.012

Graf. B-1.19

Gráf. B-2.4

## GRAFICO DA CURVA-S SUAVIZADA

INST. CRUZADA



## GRAFICO DA HIDROGRAFA UNITARIA DERIVADA (T= 0.5H.)

INST. CDOENAOA

0.00--	0.000
0.50--	0.062
1.00--	1.473
1.50--	12.100
2.00--	43.960
2.50--	23.200
3.00--	11.200
3.50--	3.400
4.00--	0.800
4.50--	0.480
5.00--	0.720
5.50--	0.620
6.00--	0.430
6.50--	0.800
7.00--	1.600
7.50--	1.000
8.00--	1.133
8.50--	1.400
9.00--	0.600
9.50--	0.420
10.00--	0.000
10.50--	0.020
11.00--	0.000

Gráf. B-2.5

## GRAFICO DA HIDROGRAFA UNITARIA DERIVADA

S JAVIZADA (T= 0.5H.)

INST.	ORDENADA
0.00--	0.000
0.50--	0.062
1.00--	1.478
1.50--	12.100
2.00--	41.960
2.50--	23.200
3.00--	12.600
3.50--	4.763
4.00--	7.930
4.50--	5.970
5.00--	5.270
5.50--	3.910
6.00--	3.000
6.50--	2.400
7.00--	1.720
7.50--	0.750
8.00--	0.550
8.50--	0.327
9.00--	0.103
9.50--	0.000
10.00--	0.000
10.50--	0.000
11.00--	0.000

HIDROGRAFIA UNITARIA  
RIO DAS PEDRAS  
DATA: 4-5/10/72

ESTADO DE SANTA CATERINA  
POSTO = BARREAGEM  
ÁREA = 24 KM<sup>2</sup>

A = 24.00 KM<sup>2</sup>      L = 4.20 KM.      LA = 2.40 KM.

TP = 1.70 HS.      TPR = 1.75 HS.      T = 3.22 DIAS

CPF = 1.71 HS/S/KM<sup>2</sup>      ACPR = 40.25 HS/S

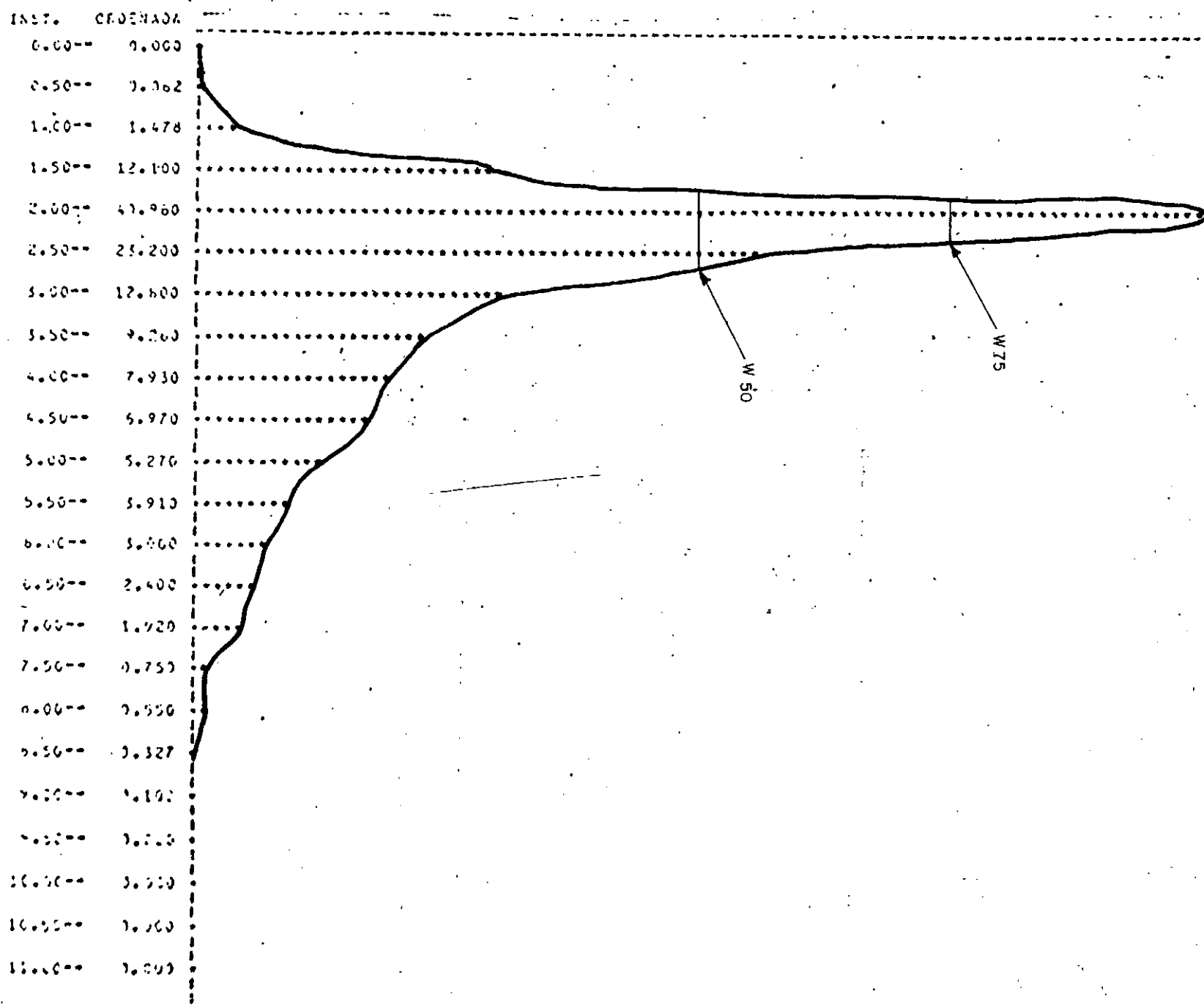
COEFICIENTES DE SNYDER

CT = 1.13

CP = 0.43

Tab. B-2.2

Gräf. B-2.7



HIDROGRAFIA UNITARIA - MÉTODO DO SISTE CONSERVATION SERVICE  
RIO DAS ESCOPAS - PONTO = HABPAG-1  
DATA = 12/12/72 - ÁREA = 25 KM<sup>2</sup>

TR = 0.50 ms

TP = 2.00H.

T = 9.53 H<sub>0</sub>

AL = 4.20 KF

$$M_{\star} = 2.85 M_{\odot}$$

TC# 2-05

## PARAMETROS DA HIDROGRAFA UNITARIA TRIANGULAR

**ALFA = 0.35**

3.22

SAUCHIE - 94 - BURSTONFIELD - 100% - C - 100% - 1

INST. HIGH JR. OF FA  
CONSERVADA DE BANCA

## INST. GRENADA

0.00--	3.000
0.50--	3.509
1.00--	7.018
1.50--	17.526
2.00--	14.035
2.50--	13.158
3.00--	12.281
3.50--	11.404
4.00--	12.526
4.50--	9.649
5.00--	4.772
5.50--	7.495
6.00--	7.016
6.50--	6.147
7.00--	5.263
7.50--	4.336
8.00--	3.569
8.50--	2.632
9.00--	1.754
9.50--	0.777
10.00--	1.000

Graf. B-2.8

Tab. B-2.4

METEOROLOGIA MARECIA  
DAS TROPAS  
DATA = 26-09-971  
METEOROLOGIA DE COMUNICACAO  
ESTRADA DA ALLEGRA  
AREA = 13 KM2

## ESQUEÇAS DA HIEROGRAFA BÁSICA ADIMENSIONAL DE COMMONS

TEMPRI	DESCARGA
5.	8.00
10.	14.00
15.	50.00
20.	60.00
25.	40.00
30.	20.00
35.	12.00
40.	6.00
45.	7.56
50.	6.92
55.	6.70
60.	5.67
65.	5.04
70.	4.41
75.	3.73
80.	3.15
85.	2.52
90.	1.89
95.	1.26
100.	1.00
105.	0.00

Tab. D-2.5

(RE)EVOCAS DA HIDROGRAFA UNITARIA - (T= 0.5 H.)

INFL. (H.)	HIDROGRAFA UNITARIA (M3/S)
0.00	0.00
0.71	0.46
1.43	1.00
2.14	2.40
2.86	3.60
3.57	4.80
4.29	6.00
5.00	7.11
5.71	8.16
6.43	9.00
7.14	9.66
7.86	10.21
8.57	10.67
9.29	11.07
10.00	11.47
10.71	11.83
11.43	12.18
12.14	12.44
12.86	12.69
13.57	12.95
14.29	0.00

APR= 2.00H.

TU= 0.14H.

B= 14.294

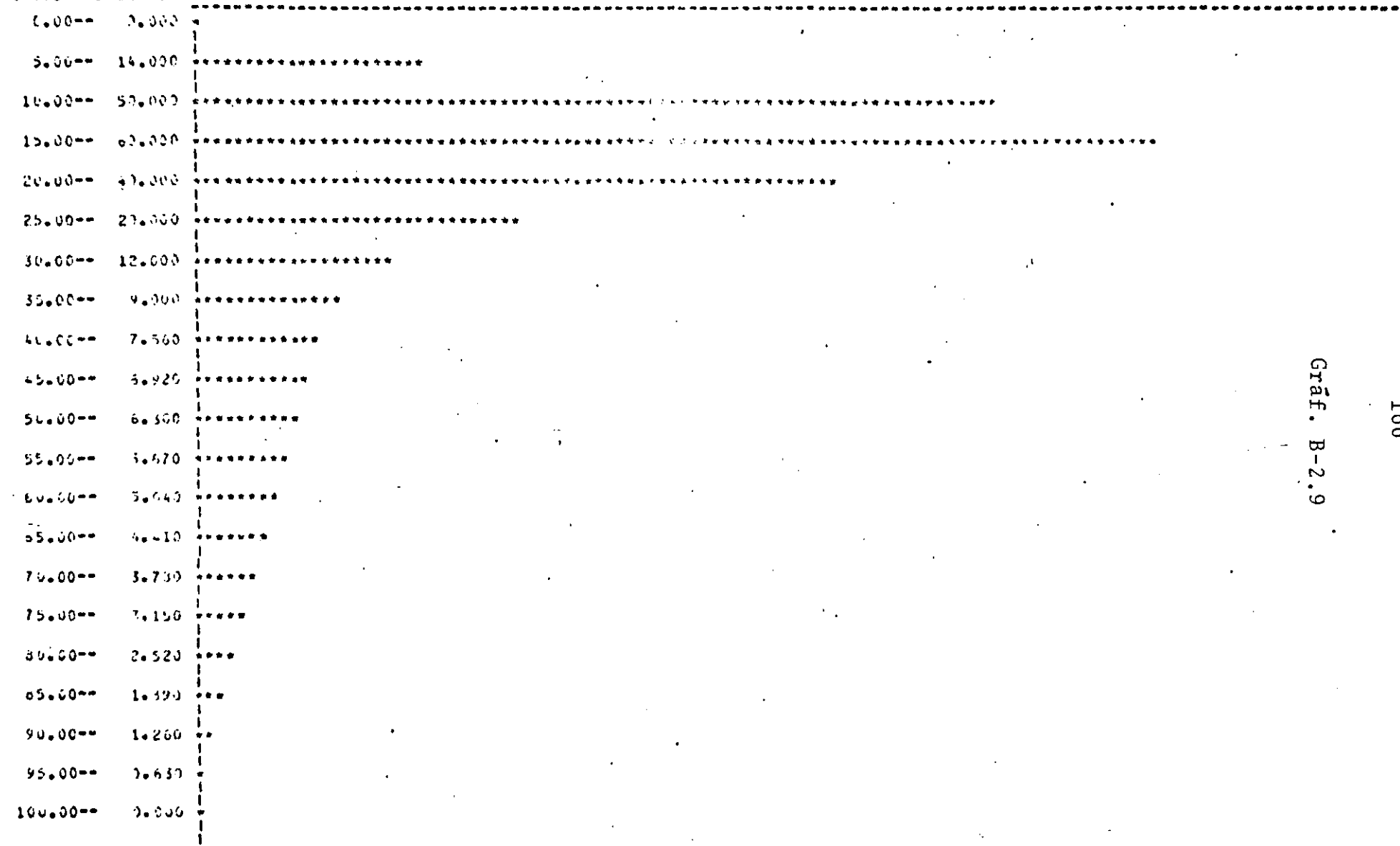
V= 240000.00M3

AQ= 0.39M3/S

SP= 23.40M3/S

HIDROGRAFIA TRIDIMENSIONAL DE COYONS.

EST. GUERRA 01

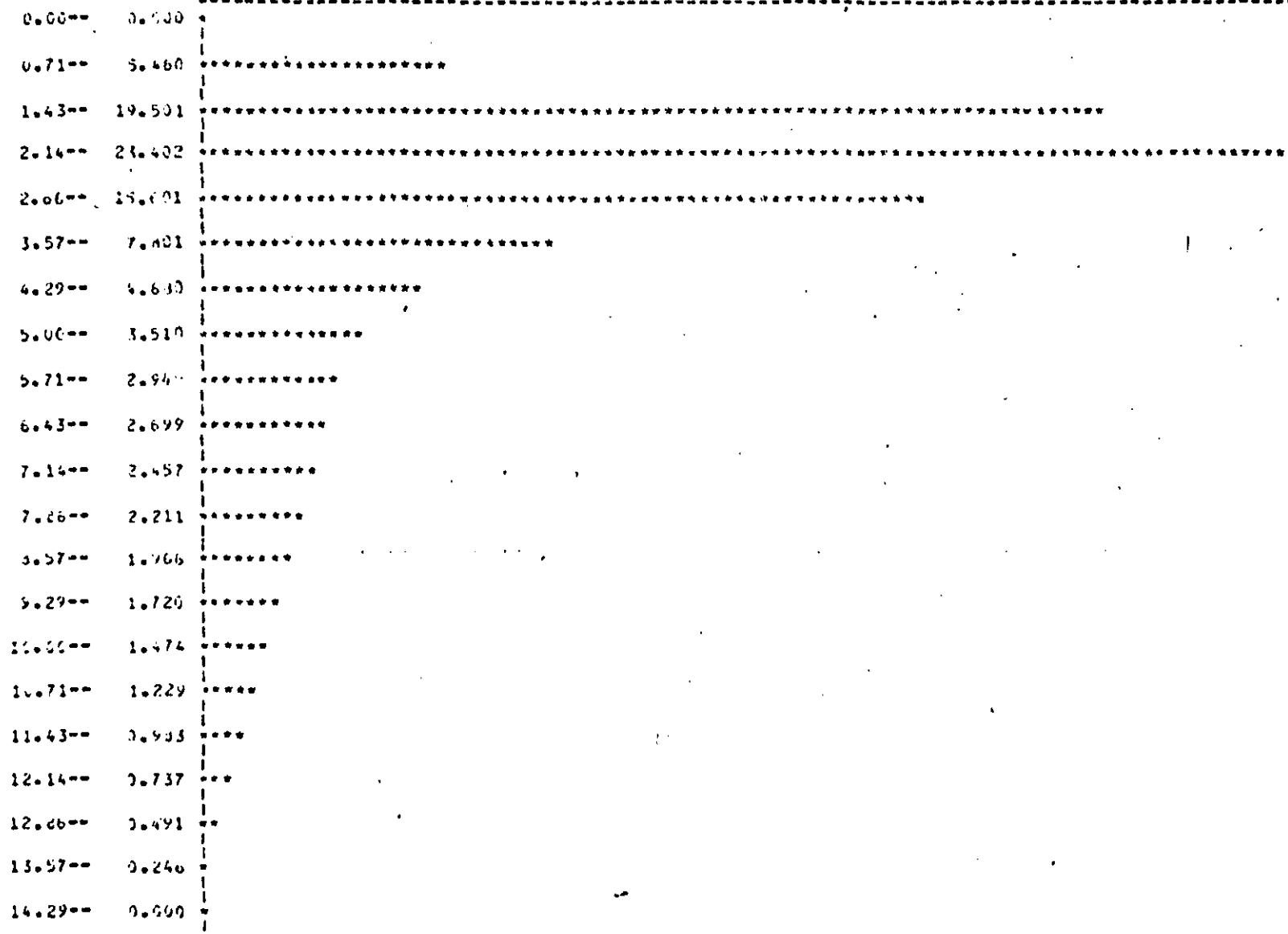


Graf. B-2.9

Gráf. B-2.10

HIDROGRAFA UNITARIA DE COMMONS- ( $T = 0.504.$ )

INST. OFICINA



HIDROGRAFIA UNITARIA  
 RIO DAS PEDRAS  
 DATA: 4-5/10/72

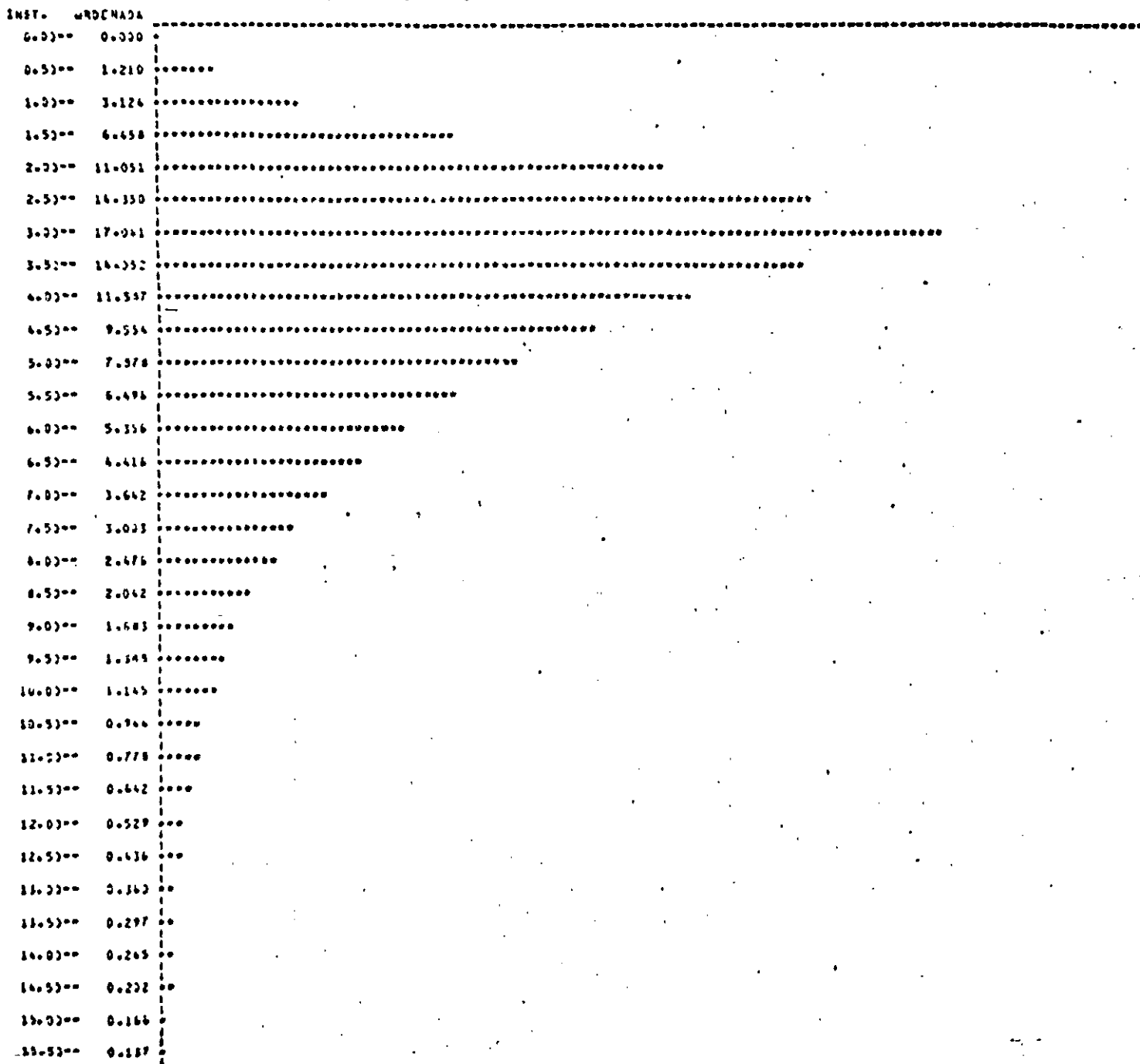
METODO DE CLARK  
 POSTO DE ABORDAGEM  
 AREA DE DRENAGEM: 24 K42

TEMPO (H.)	QIA PIMA TE420-AREA (K42)	M X I (M3/S)	M2 X Q1 (M3/S)	Q2-HUI (M3/S)	4.U. (T=0.54R+)
0.00	0.00	0.00	0.00	0.00	0.00
0.50	1.24	0.21	0.00033	0.212	0.54
1.00	1.18	0.13	0.00033	0.112	1.179
1.50	0.93	0.03	0.00033	0.065	0.75
2.00	0.87	0.03	0.00033	0.045	0.70
2.50	0.87	0.03	0.00033	0.035	0.55
3.00	0.84	0.03	0.00033	0.029	0.82
3.50	0.84	0.03	0.00033	0.024	0.29
4.00	0.80	0.00	0.00033	0.020	0.00
4.50	0.80	0.00	0.00033	0.017	0.00
5.00	0.80	0.00	0.00033	0.014	0.00
5.50	0.80	0.00	0.00033	0.012	0.00
6.00	0.80	0.00	0.00033	0.010	0.00
6.50	0.80	0.00	0.00033	0.008	0.00
7.00	0.80	0.00	0.00033	0.006	0.00
7.50	0.80	0.00	0.00033	0.004	0.00
8.00	0.80	0.00	0.00033	0.003	0.00
8.50	0.80	0.00	0.00033	0.002	0.00
9.00	0.80	0.00	0.00033	0.001	0.00
9.50	0.80	0.00	0.00033	0.000	0.00
10.00	0.80	0.00	0.00033	0.000	0.00
10.50	0.80	0.00	0.00033	0.000	0.00
11.00	0.80	0.00	0.00033	0.000	0.00
11.50	0.80	0.00	0.00033	0.000	0.00
12.00	0.80	0.00	0.00033	0.000	0.00
12.50	0.80	0.00	0.00033	0.000	0.00
13.00	0.80	0.00	0.00033	0.000	0.00
13.50	0.80	0.00	0.00033	0.000	0.00
14.00	0.80	0.00	0.00033	0.000	0.00
14.50	0.80	0.00	0.00033	0.000	0.00
15.00	0.80	0.00	0.00033	0.000	0.00
15.50	0.80	0.00	0.00033	0.000	0.00
16.00	0.80	0.00	0.00033	0.000	0.00
16.50	0.80	0.00	0.00033	0.000	0.00
17.00	0.80	0.00	0.00033	0.000	0.00

Tab. B-2.6

Gráf. B-2.11

## HIDROGRAFA UNITARIA INSTANTANEA



HIDROGRAFA UNITARIA  
RIO SSS PEDRAS  
DATA 4-5-5/6/72

METODO DE CLACA  
POSTO DE RACHAREH  
AREA DE ORGANGA 26. KHZ

HIDROGRAFA UNITARIA PT 0.5HZ

INST.	VALOR DA
0.03**	0.030
0.53**	0.635
1.03**	2.167
1.53**	4.791
2.03**	8.756
2.53**	12.721
3.03**	15.676
3.53**	15.547
4.03**	12.319
4.53**	10.570
5.03**	8.715
5.53**	7.137
6.03**	5.926
6.53**	4.336
7.03**	4.329
7.53**	3.322
8.03**	2.739
8.53**	2.259
9.03**	1.962
9.53**	1.535
10.03**	1.266
10.53**	1.026
11.03**	0.961
11.53**	0.713
12.03**	0.555
12.53**	0.433
13.03**	0.398
13.53**	0.326
14.03**	0.298

REGISTRA UNITARIA  
DAS PECAS  
DATA = 4-5/10/72

METHOD DE WASH  
DISTO = BARAGEM  
AREA DE DRENAGEM = 24 KM2

INST. (MIN.)	PRECIPITACAO EFETIVA (MM/H)	ESCOAMENTO SUPERFICIAL (MM/S)
0000	0.00	0.0000
004500	0.4500	0.0100
004200	0.4200	0.0200
004000	0.4000	0.0200
11000000	0.0000	0.0000
11100000	0.0000	0.0000
22100000	0.0000	0.0000
22200000	0.0000	0.0000
33300000	0.0000	0.0000
33500000	0.0000	0.0000
33900000	0.0000	0.0000
34200000	0.0000	0.0000
45200000	0.0000	0.0000
45300000	0.0000	0.0000
51000000	0.0000	0.0000
55400000	0.0000	0.0000
55600000	0.0000	0.0000
630	0.00	0.000

#### MOMENTOS DAS PRECIPITACOES EFETIVAS E ESCOAMENTOS SUPERFICIAIS

MOMENTO DE QDEH-1 DAS PRECIPITACOES EFETIVAS = 3.890

MOMENTO DE QDEH-2 DAS PRECIPITACOES EFETIVAS = 17.711

MOMENTO DE QDEH-1 DAS PRECIPITACOES EFETIVAS = 0.904

MOMENTO DE QDEH-2 DAS PRECIPITACOES EFETIVAS = 0.870

Tab. B-2.7

## PARAMETROS DA HIDROGRAFA UNITARIA INSTANTANEA DE NASH

Nº 3.876 HORAS

Nº 3.397

## ORDENADAS DA HIDROGRAFA UNITARIA INSTANTANEA

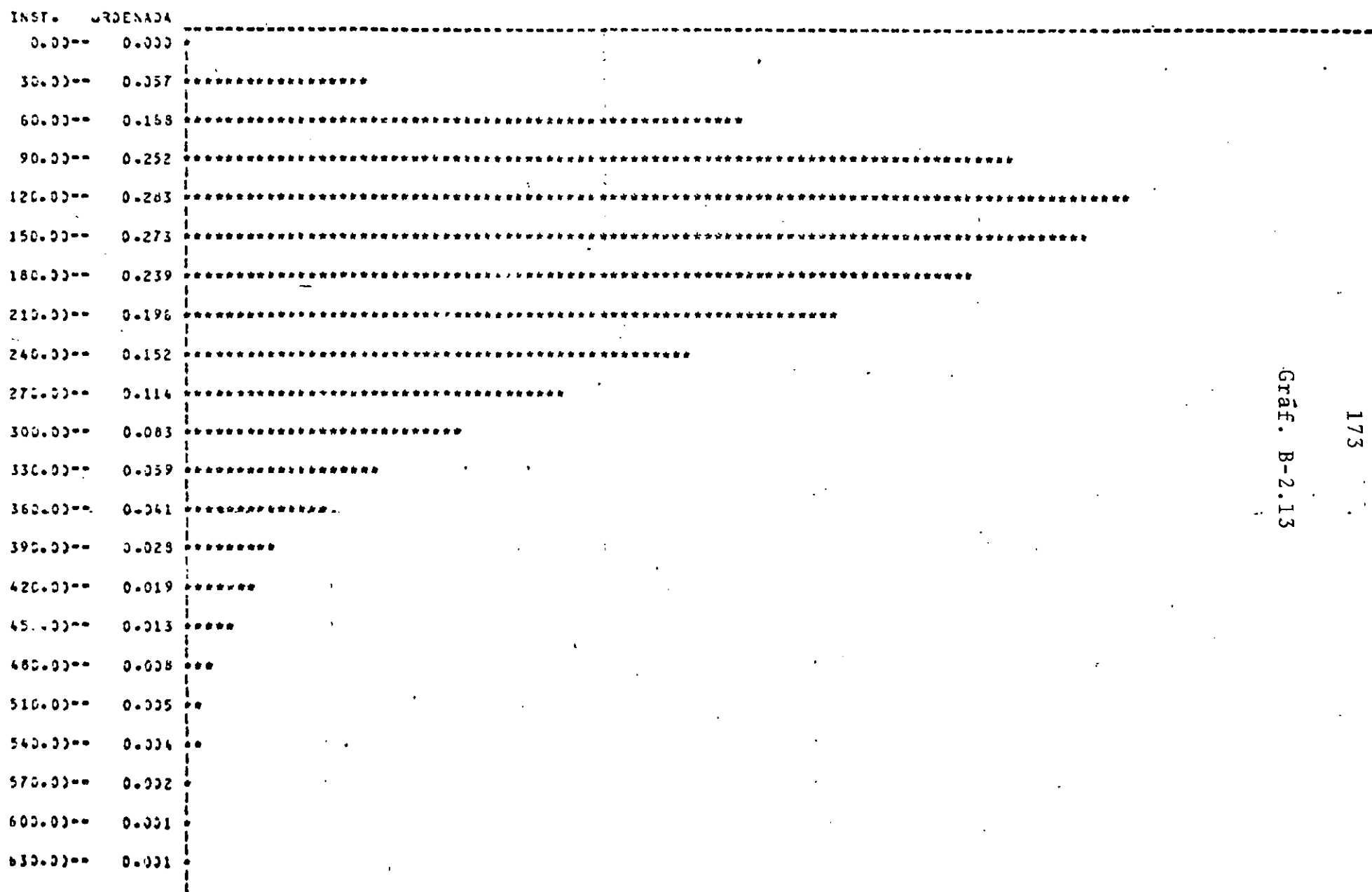
INST. (MIN.)	HIDROGRAFA UNITARIA INSTANTANEA
0	0.000
300	0.057
600	0.153
900	0.252
1200	0.333
1500	0.393
1800	0.439
2100	0.466
2400	0.482
2700	0.492
3000	0.499
3300	0.499
3600	0.499
3900	0.499
4200	0.499
4500	0.499
4800	0.499
5100	0.499
5400	0.499
5700	0.499
6000	0.499
6300	0.499

## ORDENADAS DA HIDROGRAFA UNITARIA DE DURACAO 30. MINUTOS

INST. (MIN.)	HIDROGRAFA UNITARIA (M3/S)
0	0.000
300	0.003
600	0.033
900	0.057
1200	0.097
1500	0.137
1800	0.177
2100	0.217
2400	0.257
2700	0.297
3000	0.337
3300	0.377
3600	0.417
3900	0.457
4200	0.497
4500	0.537
4800	0.577
5100	0.617
5400	0.657
5700	0.697
6000	0.737
6300	0.079

Tab. B-2.8

## GRAFICO DA HIDROGRAFA UNITARIA INSTANTANEA



Graf. B-2.13

## GRAFICO DA HIDROGRAFA UNITARIA DE DURACAO 30 MINUTOS

INST. ORDENADA

0.00--	0.000
30.00--	1.387
60.00--	7.503
90.00--	14.005
120.00--	17.857
150.00--	18.564
180.00--	17.090
210.00--	14.496
240.00--	11.596
270.00--	8.379
300.00--	6.571
330.00--	4.732
360.00--	3.333
390.00--	2.304
420.00--	1.569
450.00--	1.054
480.00--	0.699
510.00--	0.460
540.00--	0.299
570.00--	0.193
600.00--	0.124
630.00--	0.079

Graf. B-2.14

HIDROGRAFA UNITARIA  
RIO JAS PEORAS  
DATA: 4-5/10/72

METODO DE DODGE  
POSTO: BARRAGEM  
AREA DE DRENAGEM: 24.442

DIAGRAMA TEMP-AREA (KM2)	HIDROGRAFA UNITARIA INSTANTANEA (M3/S)	HIDROGRAFA UNITARIA (T=1.04) (M3/S)
3.42	0.00	0.00
9.95	12.26	6.13
10.71	16.47	14.37
	14.94	15.95
	10.33	12.57
	10.16	8.23
	3.76	4.76
	1.72	2.54
	0.84	1.29
	0.40	0.59
	0.18	0.29
	0.04	0.13
	0.04	0.06
	0.01	0.01

PARAMETROS UTILIZADOS

N = 3      K = 1.00 H.      T0 = 3.00

V0 = 240000.00 M3

Tab. B-2.9

GRAFICO DA HIDROGRAFA UNITARIA INSTANTANEA

INST. URDENADA

0.00-- 0.000

1.00-- 12.261

2.00-- 16.472

3.00-- 14.156

4.00-- 10.295

5.00-- 6.150

6.00-- 3.357

7.00-- 1.716

8.00-- 0.338

9.00-- 0.395

10.00-- 0.181

11.00-- 0.031

12.00-- 0.036

13.00-- 0.136

14.00-- 0.000

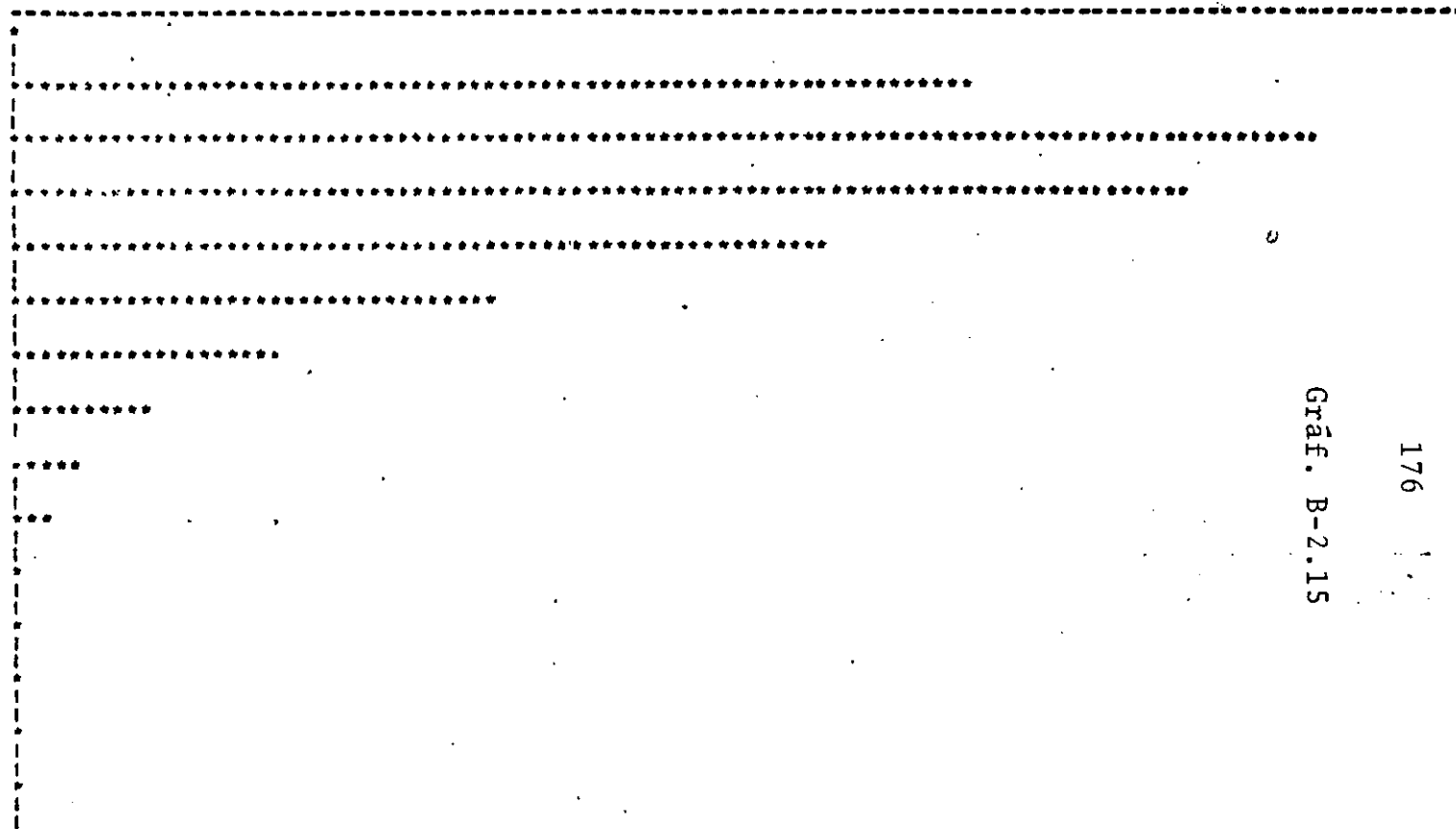


GRAFICO DA HIDROGRAFIA UNIDIMENSIONAL DE DURACAO 30 MINUTOS

INST. ORDENADA

0.00--	0.000
1.00--	6.131
2.00--	14.357
3.00--	15.634
4.00--	12.566
5.00--	8.223
6.00--	4.758
7.00--	2.536
8.00--	1.277
9.00--	0.615
10.00--	0.288
11.00--	0.131
12.00--	0.059
13.00--	0.035
14.00--	0.000

Graf. B-2.16

177

\* \* \* \* \*  
\* HIDROGRAFIA UNITARIA  
\* RIO DAIS PEDRAS  
\* DATA: 4-5/10/72

METODO DE DODGE  
POSTOS DE BARRAGEM  
AREA DE DRENAGEM 24 KM<sup>2</sup>

## PARÁMETROS UTILIZADOS

N= 6       $\zeta = 0.50$  Hz.      FC= 3.03

YD= 240000.00 M3

Tab. B-2.10

1  
88

## HIDROGRAFA UNITARIA INSTANTANEA

INST. URUENADA

0.00--	0.000
0.50--	6.014
1.00--	7.195
1.50--	10.209
2.00--	13.182
2.50--	15.397
3.00--	16.531
3.50--	16.272
4.00--	14.531
4.50--	11.779
5.00--	9.753
5.50--	6.037
6.00--	3.910
6.50--	2.402
7.00--	1.411
7.50--	0.793
8.00--	0.437
8.50--	0.233
9.00--	0.121
9.50--	0.061
10.00--	0.031
10.50--	0.015

179

Graf. B-2.17

## HIDROGRAFA UNITARIA - T= 0.5HR.

INST. URDENADA

0.00--	0.000
0.50--	2.007
1.00--	5.605
1.50--	8.702
2.00--	11.695
2.50--	14.289
3.00--	15.964
3.50--	16.401
4.00--	15.401
4.50--	13.155
5.00--	10.266
5.50--	7.395
6.00--	4.974
6.50--	3.256
7.00--	1.907
7.50--	1.105
8.00--	0.618
8.50--	0.335
9.00--	0.177
9.50--	0.091
10.00--	0.046
10.50--	0.023
11.00--	0.011
11.50--	0.005
12.00--	0.001

Graf. B-2.18

Gráf. B-2.19

## GRAFICO DA HIDROGRAFA UVITARIA DE DURACAO 30.00 MINUTOS

INST. URDENADA

0.00\*\* 0.000

30.00\*\* 0.064

60.00\*\* 1.091

90.00\*\* 9.293

120.00\*\* 34.092

150.00\*\* 23.292

180.00\*\* 13.337

210.00\*\* 11.273

240.00\*\* 7.434

270.00\*\* 6.474

300.00\*\* 4.673

330.00\*\* 3.921

360.00\*\* 3.359

390.00\*\* 2.725

420.00\*\* 1.900

450.00\*\* 1.600

480.00\*\* 1.289

510.00\*\* 0.983

540.00\*\* 0.652

570.00\*\* 0.243

600.00\*\* -0.103

630.00\*\* 0.048

## Nab. B-2.12

MATRIZ DE PRECIPITACIONES

TRANSPUESTA DE LA MATRIZ DE PRECIPITACIONES.

MATRIZ DE PRECIPITACIONES

FECHAS: 3/23/72  
DATOS: 4-5/13/72  
TIPOLOGIA: DIAETRA

Tab. B-2.13

## HIDROGRAFIA UNITARIA DE DURACIONES ESTADÍSTICAS

INST. (MIN.)	VOLUME EFETIVO (MM)	ESCAPEMENTO SUPERA (L/S)	MICROGRAFIA UNITARIA
3	0.23	0.000	0.00000
33	0.10	0.010	0.04444
63		0.200	0.09231
93		0.200	0.26217
123		0.600	0.09211
153		0.600	0.22957
183		0.900	0.22957
213		0.450	0.22957
243		0.500	0.47346
273		0.200	0.47346
303		1.700	0.37811
333		1.350	0.32206
363		1.150	0.36887
393		0.950	0.26577
423		0.750	0.76591
453		0.550	1.05551
483		0.450	1.297355
513		0.350	0.297355
543		0.250	0.473354
573		0.150	0.00000
603		0.000	0.00000

GRAFICO DA HIDROGRAFA UNITARIA DE DURACAO. MINUTOS

INST. URDENADA

0.00--	0.000
30.00--	0.044 *
60.00--	1.091 ***
90.00--	9.293 *****
120.00--	34.092 *****
150.00--	23.292 *****
180.00--	18.937 *****
210.00--	11.273 *****
240.00--	7.434 *****
270.00--	6.474 *****
300.00--	4.678 *****
330.00--	3.921 *****
360.00--	3.369 *****
390.00--	2.725 *****
420.00--	1.901 *****
450.00--	1.598 ****
480.00--	1.293 ***
510.00--	0.973 **
540.00--	0.674 *
570.00--	0.195 *
600.00--	0.000 *

Tab. B-2.11

HIDROGRAFIA UNITARIA  
PEDRAS  
DATA: 4-5/10/72

METODO DE JORDANELL (H.U.T.)  
POSTO: BARBAGEM  
AREA DE DRENAGEM = 24 KM<sup>2</sup>

INST. (MIN.)	PRECIPITACAO EFETIVA (CM/H)	ESCOAMENTO SUPERFICIAL (CM/S)
0	0.000	0.0000
30	0.450	0.0000
60	0.200	0.0100
90	0.000	0.0000
120	0.000	2.0000
150	0.000	8.6000
180	0.000	3.6500
210	0.000	6.5900
240	0.000	4.4300
270	0.000	2.3010
300	0.000	2.2000
330	0.000	1.7000
360	0.000	1.3500
390	0.000	1.1200
420	0.000	0.9500
450	0.000	0.7000
480	0.000	0.5500
510	0.000	0.4500
540	0.000	0.3500
570	0.000	0.2600
600	0.000	0.1200
630	0.000	0.0000

## CHUVA EFETIVA E ESCOAMENTO SUPERFICIAL REPRODUZIDOS

INST. (MIN.)	PRECIPITACAO (CM/H)	ESCOAMENTO (CM/S)
0	-0.000	-0.003
30	0.450	0.500
60	0.200	0.310
90	0.000	0.250
120	-0.000	2.200
150	-0.000	3.600
180	-0.000	3.650
210	-0.000	6.500
240	-0.000	4.450
270	-0.000	2.300
300	-0.000	2.200
330	-0.000	1.700
360	-0.000	1.350
390	-0.000	1.120
420	-0.000	0.950
450	-0.000	0.700
480	-0.000	0.550
510	-0.000	0.450
540	-0.000	0.350
570	-0.000	0.260
600	-0.000	0.100
630	0.000	0.000

## ORDENADAS DA HIDROGRAFA UNITARIA DE PERÍODO 30-MINUTOS

INST. (MIN.)	HIDROGRAFA UNITARIA (CM/S)
30	0.0000
60	0.0443
90	1.0915
120	9.2926
150	34.0931
180	23.2923
210	13.2367
240	11.2725
270	7.4364
300	5.4735
330	4.5734
360	3.9207
390	3.3536
420	2.7250
450	1.9900
480	1.5000
510	1.2339
540	0.9327
570	0.6522
600	0.2434
630	-0.1082
660	0.0450